

A detailed historical map of the Warmia and Mazuria region, showing various towns, rivers, and geographical features. The map is rendered in a sepia tone with white text overlaid. The title 'Katalog grodzisk Warmii i Mazur' is prominently displayed at the top, with the editor's name 'pod redakcją Rafała Soleckiego' below it. The map includes numerous place names such as 'HUNTAW', 'N A', 'Lichtenhagn', 'Fuchspe', 'Vderwangen', 'Feslaw', 'Frischung Au.', 'Almen', 'Trifal. tigg', 'Mulha usn', 'Kruckn', 'Lampas. ken', 'Pilsen A', 'Dossen', 'P. Eylaw', 'Rode', 'Arnstein', 'Wildenhof', 'Beisleiten', 'Galeien', 'Stegen', 'Eichholtz', 'Buchholtz', 'Lanzberg', 'Eichorn', 'Leyste', 'Plautten', 'Hanschagn', 'Schwolmen', 'Melsack R', 'Lichtenaw', 'g. Glanden', 'Romerswolt', 'Heynerkaw', 'Frawend.', 'Runaw', 'Kackenhaus', 'Mingene', 'Peterwalt M', 'Heilsberg', 'Open', 'Schmaleien', 'Plancken', 'Arnsdorf', and 'Schulden'.

Katalog grodzisk Warmii i Mazur

pod redakcją
Rafała Soleckiego

Tom 3

Katalog grodzisk Warmii i Mazur

Tom 3

Instytut Archeologii
Uniwersytetu Kardynała Stefana Wyszyńskiego w Warszawie

Katalog grodzisk Warmii i Mazur

pod redakcją Rafała Soleckiego

Tom 3

Autorzy
Anna Lejzerowicz, Bartosz Nowacki, Kamil Rabięga,
Daniel Skoczylas, Rafał Solecki, Dariusz Wach,
Fabian Welc, Katarzyna Zdeb, Magdalena Żurek

Warszawa 2022

Katalog grodzisk Warmii i Mazur. Część 2. Warmia Wschodnia i Natangia Tom 3

Publikacja recenzowana do druku przez
dr. Arkadiusza Koperkiewicza
i dr. Marka Jagodzińskiego

Redakcja: Rafał Solecki
Projekt książki: Bartłomiej Gruszka
Skład: Rafał Solecki
Korekty: Bartosz Nowacki
Projekt okładki: Rafał Solecki

© Copyright by Wydawnictwo Uniwersytetu Kardynała Stefana Wyszyńskiego,
Warszawa 2022

ISBN 978-83-8281-287-9 (wersja drukowana)
ISBN 978-83-8281-199-5 (wersja elektroniczna)

Publikacja naukowa finansowana w ramach programu
Ministra Nauki i Szkolnictwa Wyższego pod nazwą
„Narodowy Program Rozwoju Humanistyki” w latach 2018–2023,
nr projektu 11H 18 0117 86, kwota finansowania 1 346 853 zł



**NARODOWY PROGRAM
ROZWOJU HUMANISTYKI**

Wydawnictwo:
Wydawnictwo Naukowe
Uniwersytetu Kardynała Stefana Wyszyńskiego w Warszawie
ul. Dewajtis 5, domek nr 2
01-815 Warszawa
+48 22 561 89 23 (wew. 323)
wydawnictwo@uksw.edu.pl

SPIS TREŚCI

Wprowadzenie.....	7
GMINA OSTRÓDA	
Ornowo, st. 3.....	9
Wysoka Wieś, st. 7.....	47
Wysoka Wieś, st. 8.....	55
Wysoka Wieś, st. 9.....	65
GMINA MIŁOMŁYN	
Winiec, st. 2.....	99
GMINA MORĄG	
Słonecznik, st. 1.....	133
Wenecja, st. 2.....	145
GMINA ZALEWO	
Boreczno, st. 4.....	185
Boreczno, st. 8.....	191
GMINA WILCZĘTA	
Gładysze, st. 1.....	215
Gładysze, st. 3.....	245
GMINA GÓROWO ŁAWECKIE	
Piasty Wielkie, st. 3.....	259
Wiewiórki, st. 1.....	273
Augamy, st. 1.....	291
Wokiele, st. 1.....	339
Woryny, st. 1.....	363
WERYFIKACJE NEGATYWNE	
Nowa Wieś Ławecka, st. 1, gm. Górowo Ławeckie.....	389
Zielenica, st. 15, gm. Górowo Ławeckie.....	397
Piaseczno, st. 1, gm. Górowo Ławeckie.....	407
Zamkowa Góra w Leśnictwie Orsy, gm. Górowo Ławeckie.....	415
Wykaz cytowanej literatury.....	426

Augamy, st. 1

Gmina Górowo Iławeckie

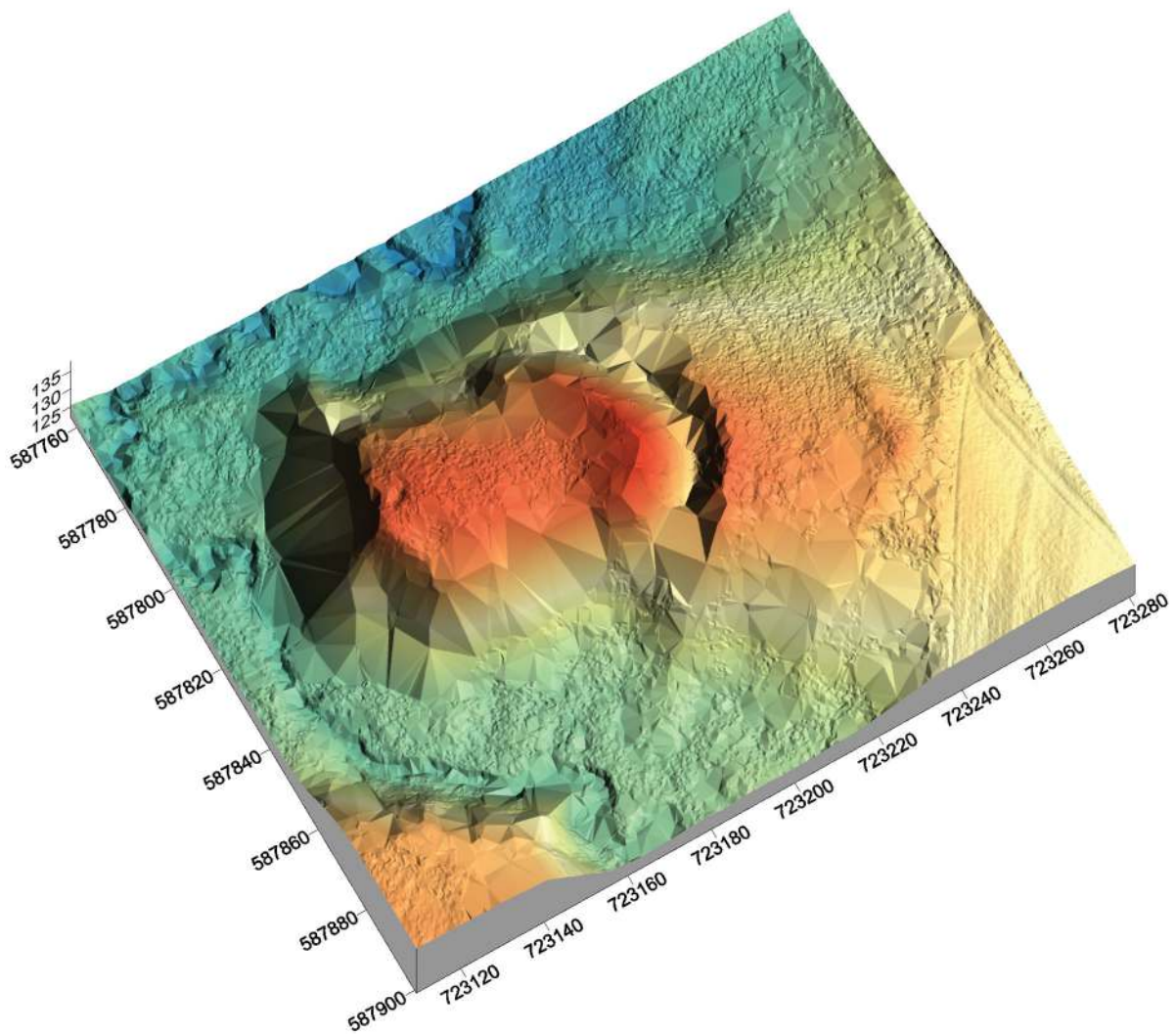
Powiat bartoszycki

AZP 11-60/1

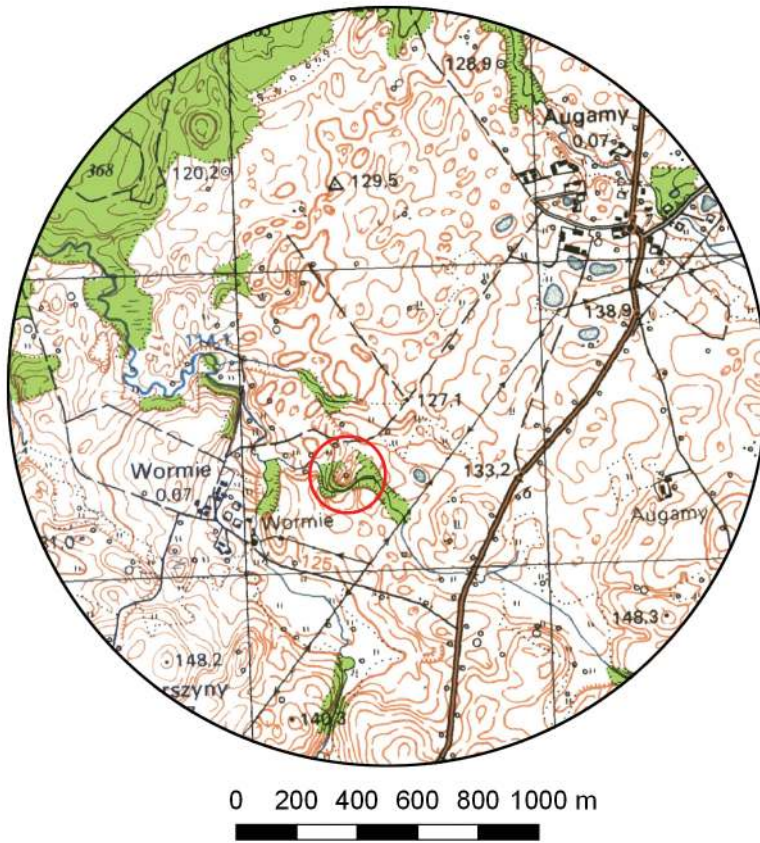
Współrzędne geograficzne:

N 54° 21' 54''

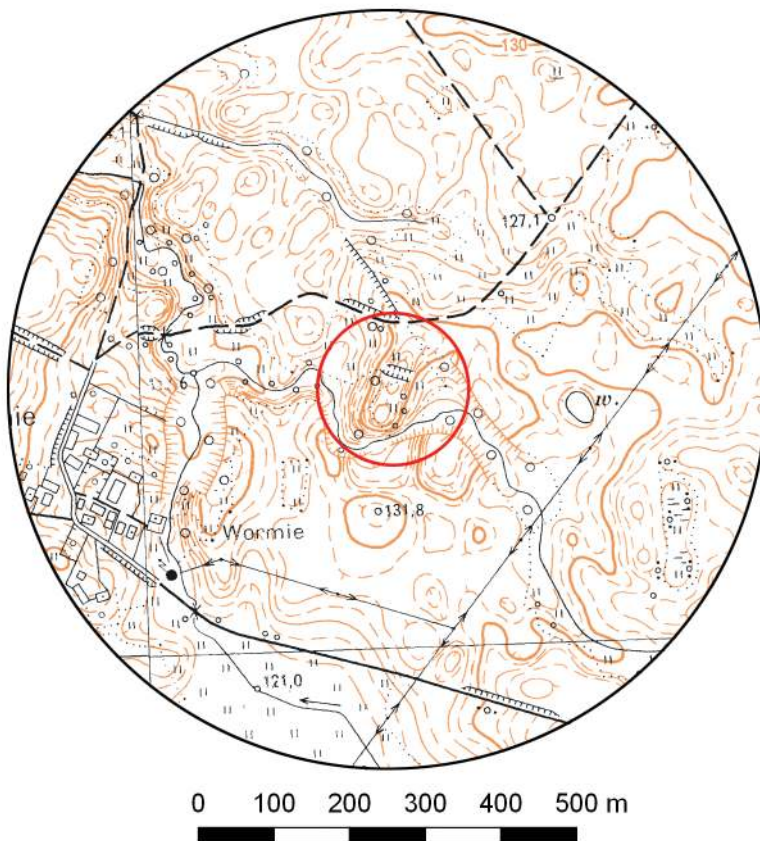
E 20° 21' 07''



Ryc. 1. Grodzisko w Augamach, st. 1
na mapie w skali 1:25 000
(na podstawie materiałów GUGiK,
oprac. R. Solecki)



Ryc. 2. Grodzisko w Augamach, st. 1
na mapie w skali 1:10 000
(na podstawie materiałów GUGiK,
oprac. R. Solecki)



POŁOŻENIE GRODZISKA

I JEGO FORMA

DANIEL SKOCZYLAS

Grodzisko w Augamach, st. 1 (niem. *Augam*) jest zewidencjonowane w ramach Archeologicznego Zdjęcia Polski. Aktualną Kartę Ewidencji Stanowiska Archeologicznego sporządził w 1969 roku Bogdan Walkiewicz, a wcześniej, w 1969 roku inwentaryzował je Dariusz Członkowski¹.

Samo stanowisko było znane już wcześniej. Jeszcze na początku XIX wieku opisał je Johann Michael Guise, nazywając *Schweden-schanzen*². W 1896 roku wspomina o grodzisku, nazywając je *Schlossberg*, Johannes Heydeck, który to wizytując je, rozpoznał na obszarze majdanu kamienną cysternę na wodę. Przy tej okazji opisał także położony w nieda-

lekiej odległości kurhan z epoki brązu³. Stanowisko opisują także mianem grodziska Emil Hollack w 1908 roku (*Kleiner Schloßberg*)⁴ oraz Hans Crome w 1937 roku (*Schloßberg*). Ten drugi podaje także chronologię stanowiska, określając je jako staropruskie⁵.

W tym miejscu należy zaznaczyć, że badacze niemieccy przypisywali grodzisko do położonej najbliższej wsi Wormie (niem. *Wormen*), która znajduje się w odległości 400 m na południowy zachód. Augamy oddalone są o 1,2 km na północny wschód (ryc. 1–2). Obie wsie mają średniowieczną metrykę. Augamy po raz pierwsze wspomniane są w spisie strat wojennych z początku XV wieku, gdzie występują pod wywodzącą się z języka prusów nazwą *Ongaw / Ougam / Owgam*⁶. Po zakończeniu wojny trzynastoletniej wieś wyludniła się

³ Heydeck 1896: 72–74.

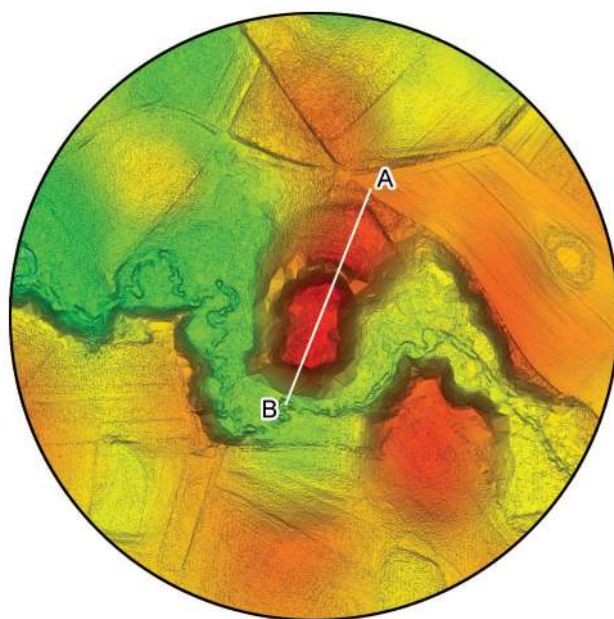
⁴ Hollack 1908: 188.

⁵ Crome 1937: 110.

⁶ Thielen 1958: 41–42 (dokument 149, 150 i 152).

¹ Informacja z KESA stanowiska.

² Łapo 2009: 255.

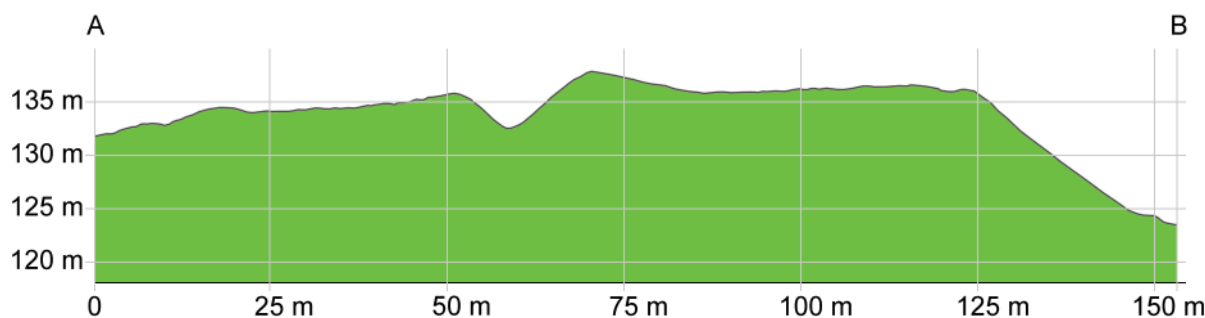


(po lewej)

Ryc. 3. Grodzisko w Augamach, st. 1 na zobrazowaniu ALS (na podstawie materiałów GUGiK, oprac. R. Solecki)

(u dołu)

Ryc. 4. Przekrój grodziska w Augamach, st. 1 uzyskany z danych ALS (na podstawie materiałów GUGiK, oprac. R. Solecki)





Ryc. 5. Augamy, st. 1. Widok na fosę w kierunku północno-zachodnim (fot. A. Lejzerowicz)



Ryc. 6. Augamy, st. 1. Widok na Majdan Górny (fot. D. Skoczylas)

i została ponownie zasiedlona dopiero w XVI wieku⁷. Miejscowość Wormie także jest wymieniona w źródle opisującym straty wojenne z początku XV wieku, gdzie występuje pod nazwą *Wormen*⁸.

Pomimo że grodzisko było znane od dawna, do 2020 roku nie przeprowadzono tam żadnych badań archeologicznych. Przypisana do grodziska chronologia wczesnośredniowieczna opiera się na sugestiach badaczy nie-

mieckich, które z kolei nie są w żaden sposób poparte źródłami⁹.

Stanowisko położone jest na kulminacji wyeksponowanego, silnie porośniętego roślinnością cypla (ryc. 3–6), który od strony północnej wchodzi w dolinę bezimiennego strumienia, który jest dopływem rzeki Stradyk. Grodzisko posiada dwa wały, które odcinają dostęp od strony wysoczyzny. Wał Zewnętrzny ma długość około 50 m, a w jego połowie czytelne jest regularne załamanie jego

⁷ Petraszko i Wakar 1987: 272–273.

⁸ Thielen 1957: 44 (dokument 157).

⁹ Informacja z KESA stanowiska; Crome 1937: 110.

osi. Wał jest dość silnie zerodowany, a jego zachowana wysokość dochodzi do 0,4 m. Po jego zewnętrznej stronie nie ma śladów po fosie. Wyraźna jest natomiast różnica pomiędzy poziomem gruntu po stronie zewnętrznej i wewnętrznej, która dochodzi do 0,8 m. To sugeruje, że wał został usypany z urobku pozyskanego z podcięcia naturalnego, łagodnego w tym miejscu, stoku. Różnica wysokości pomiędzy szczytem Wału Zewnętrznego, a powierzchnią na zewnątrz dochodzi do 1,4 m. Najwyższy punkt tego wału osiąga poziom około 134,7 m n.p.m. Drugi, półkolisty w rzucie poziomym, wał widoczny jest w północnej części Majdanu Górnego, a towarzyszy mu położona po jego północnej stronie fosa. Wał Majdanu ma długość około 30 m i szerokość u podstawy dochodzącą do 18 m. Jego wysokość liczona względem powierzchni Majdanu Górnego dochodzi do 2 m, a liczona względem dna fosy aż do 5,2 m. Najwyższy punkt tego wału osiąga poziom około 137,9 m n.p.m. Szerokość fosy waha się w przedziale 12–15 m, a jej dno opada w kierunku zachodnim z około 132,7 m na 130,4 m n.p.m. Majdan Górny zajmuje szczyt cypla. Ma nieregularnie prostokątny kształt, wydłużony po osi zbliżonej do północ-południe, o wymiarach 25×55 m. Jego powierzchnia wynosi 16,2 a. W części południowej tego majdanu widoczne jest zakłócenie terenu w obrębie którego widoczne są kamienie i drobiny cegieł - być może relikty opisanej przez J. Heydecka cysterny? Pomiędzy fosą a Wałem Zewnętrznym znajduje się Majdan Dolny o powierzchni 21,4 a. Cała powierzchnia stanowiska mierzona po linii Wału Zewnętrznego i po podstawie cypla wynosi około 76,6 ara.

Na stoku, w części południowo-zachodniej, widoczny jest wyraźny garb, który został niezależnie zewidencjonowany w ramach AZP jako kurhan¹⁰.

ŚRODOWISKO FIZYCZNOGEOGRAFICZNE ANNA LEJZEROWICZ

Według podziału fizycznogeograficznego Polski Jerzego Kondrackiego, grodzisko w Augamach, st. 1, znajduje się w makroregionie Nizina Staropruska, mezoregionie Wzniesienia Górowskie¹¹.

¹⁰ Informacja z KESA stanowiska.

¹¹ Kondracki 2002: 100–102.

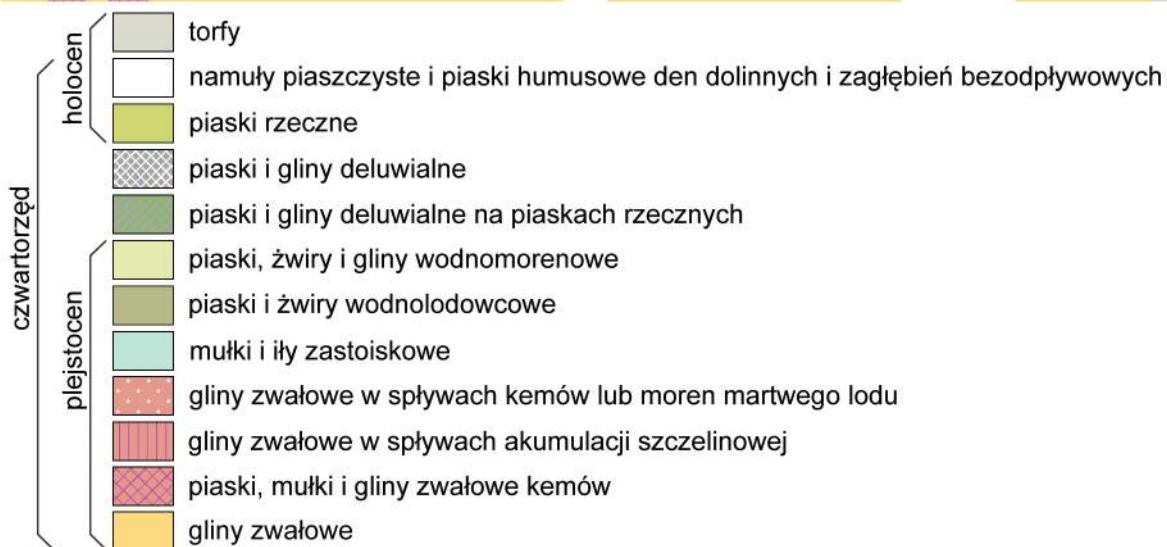
Pod względem geologii jest położone w syneklizie perybałtyckiej platformy wschodnioeuropejskiej. Podłoże osadów czwartorzędowych stanowią tu osady morskie z paleocenu, eocenu i oligocenu. Osady czwartorzędowe na tym terenie zaliczono do dwóch stadiów – środkowego i górnego – zlodowacenia Wisły, które wykształciły się w postaci glin zwałowych rozdzielonych osadami wodnolodowcowymi i zastoiskowymi oraz utworami akumulacji szczelinowej, budującymi czytelne formy rzeźby terenowej. Osady te osiągnęły miąższość ponad 200 m. Podczas deglacjacji powstawały formy szczelinowe i kemy. W holocenie ostatnie bryły martwego lodu zaczęły intensywnie topnieć i w obrębie równin sandrowych oraz wysoczyzny morenowej powstały zagłębienia, w których osadzały się namuły piaszczyste i piaski humusowe. Według *Szczegółowej Mapy Geologicznej Polski* w skali 1:50 000 (arkusz Głębock)¹², na grodzisku w Augamach występują gliny zwałowe (ryc. 7), według *Mapy Litogenetycznej Polski* w skali 1:50 000 stanowisko znajduje się na obszarze występowania glin zwałowych pochodzenia lodowcowego, a według *Mapy Geologicznej Polski* w skali 1:500 000 stanowisko znajduje się na obszarze występowania glin zwałowych, ich zwietrzelin oraz piasków i żwirów lodowcowych.

Morfologicznie grodzisko zajmuje część wysoczyzny morenowej falistej, której powierzchnia jest urozmaicona licznymi zagłębieniami bezodpływowymi. Na zachód od stanowiska rozciąga się równina zastoiskowa.

Stanowisko w Augamach stanowi wyraźne dwudzielne wyniesienie w terenie, które od północy jest odcięte fosą, natomiast od wschodu, południa i zachodu otoczone jest stromymi skarpami schodzącymi w dolinę rzeczną. Część północna stanowiska położona jest niżej niż część południowa. Stanowisko tworzy swoisty cypel i opływane jest przez niewielką rzekę, tworzącą tutaj wyraźną dolinę. Szczyt wzniesienia jest stosunkowo płaski z liniowym wyniesieniem w części północnej. Ukształtowanie stanowiska nosi wiele cech przekształcenia go w przeszłości przez człowieka. Dokładną morfologię obszaru można zaobserwować na obrazowaniu danych ALS i przekroju morfologicznym (ryc. 3–4).

Budowa geologiczna grodziska w Augamach została rozpoznana poprzez wykonanie siedmiu wierceń sondą ręczną do głębokości

¹² Honczaruk i Kacprzak 2014: 24–28.

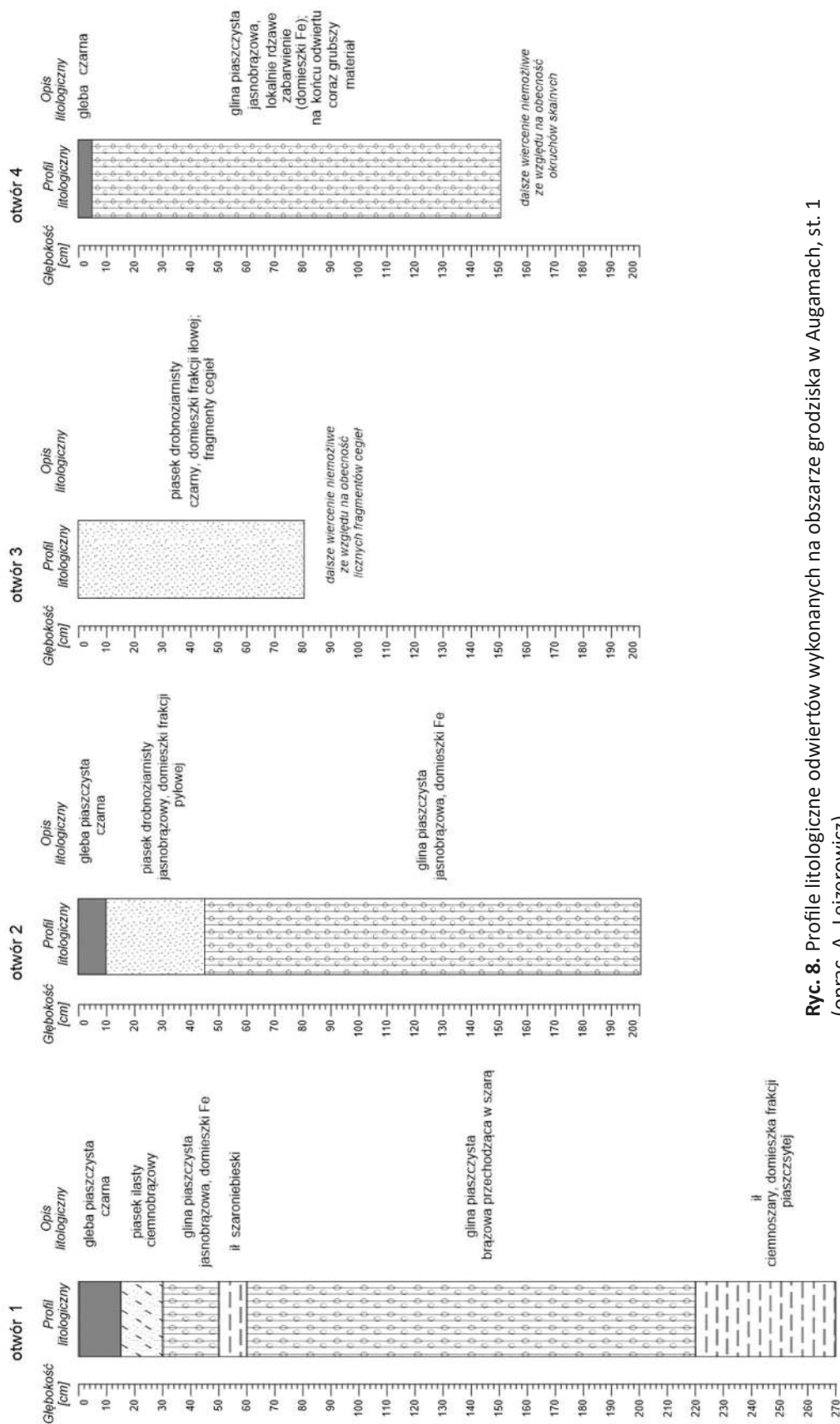


Ryc. 7. Wycinek arkusza *Szczegółowej Mapy Geologicznej Polski* z zaznaczonym grodziskiem w Augamach, st. 1 (źródło: www.cbdtmapa.pgi.gov.pl/arcgis/services/kartografia/smgp50k/MapServer/WMS/Server, oprac. A. Lejzerowicz)

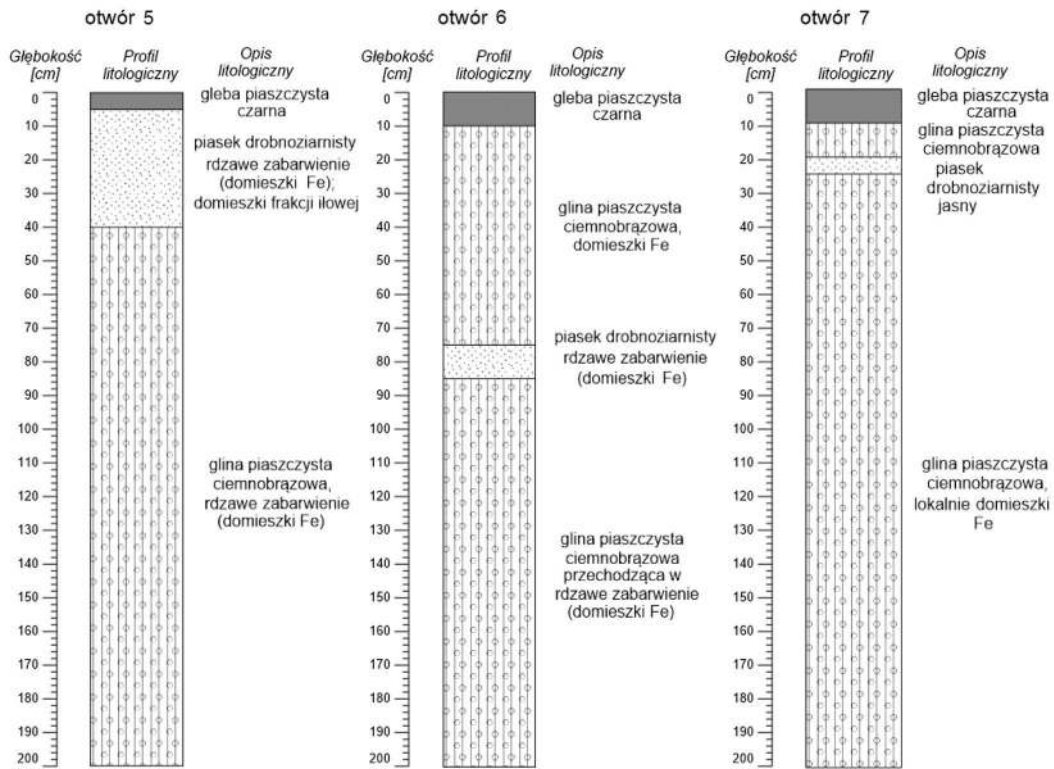
2 m. W wierceniach zaobserwowano występowanie osadów piaszczystych (piaski drobnoziarniste i piaski pylaste) oraz glin piaszczystych, jak również nawiercono ciemne ły w obrębie fosy – ich występowanie związane jest najprawdopodobniej ze spływaniem materiału z obszarów wyżej położonych. Szczegółowa litologia jest widoczna oraz została opisana na poszczególnych profilach wierceń na ryc. 8. Stworzony został również schematyczny przekrój geologiczny przez stanowisko (ryc. 9).

Wykonane wiercenia potwierdzają obecność glin zwałowych pochodzenia lodowco-

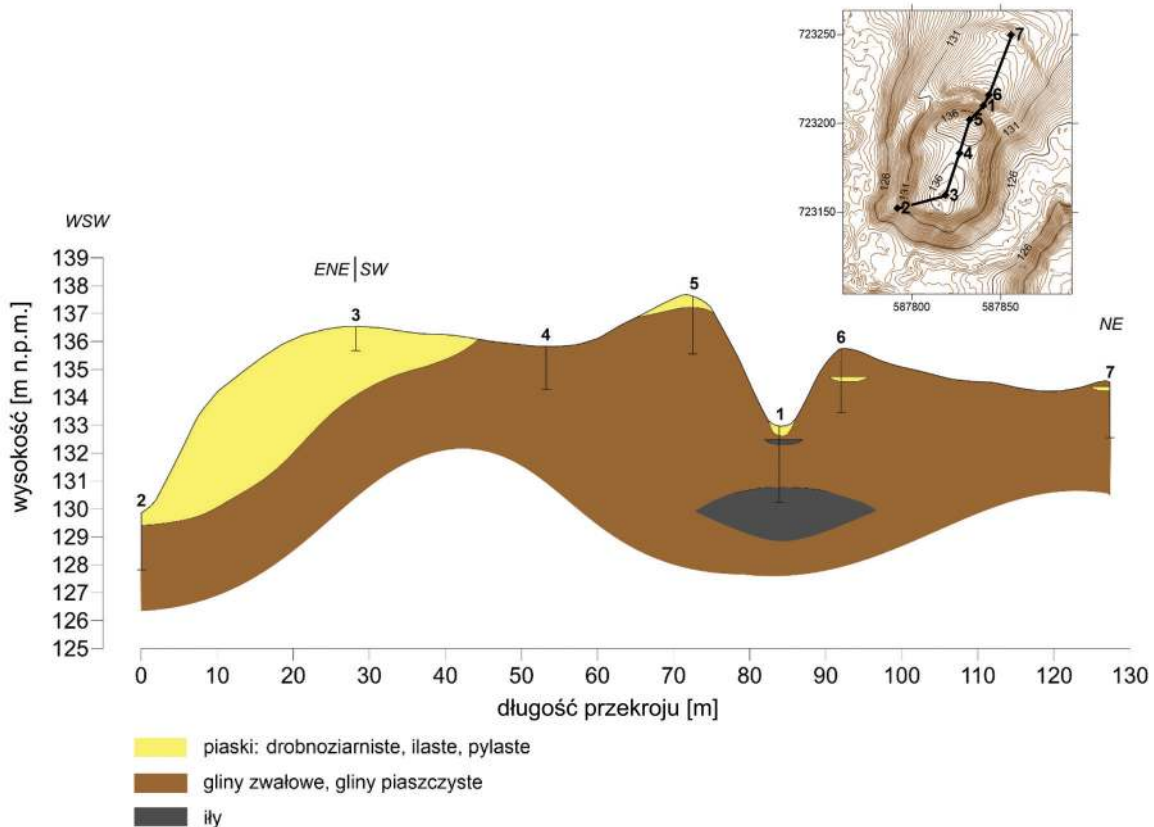
wego na badanym stanowisku. Lokalnie osady te zawierają związki żelaza, co nadaje im rdzawe zabarwienie. W niektórych warstwach zaobserwować można pojedyncze okruchy skalne. W obniżeniu terenu nawiercono osady ilaste o ciemnym zabarwieniu (domieszka substancji organicznej), natomiast na szczycie wzniesienia, w wierceniach nr 3, zaobserwowano obecność fragmentów cegieł, które mogą potwierdzać, że obszar ten był wykorzystywany w przeszłości przez człowieka.



Ryc. 8. Profile litologiczne odwiertów wykonanych na obszarze grodziska w Augamach, st. 1 (oprac. A. Lejzerowicz)



Ryc. 8. Ciąg dalszy



Ryc. 9. Schematyczny przekrój geologiczny przez grodzisko w Augamach, st. 1 (oprac. A. Lejzerowicz)

BADANIA ARCHEOLOGICZNE

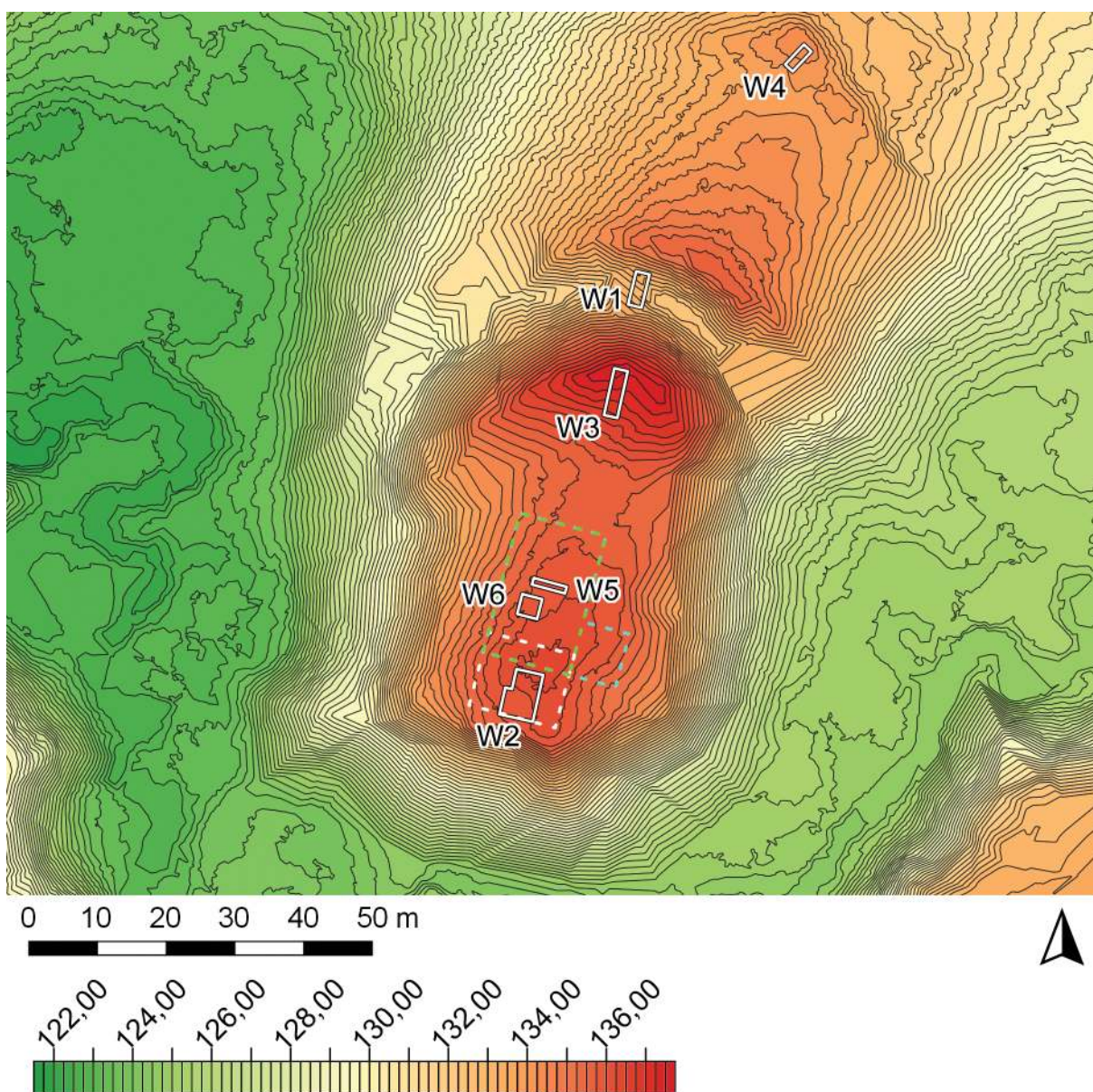
DANIEL SKOCZYLAS I FABIAN WELC

Przebieg badań terenowych

Stanowisko jest porośnięte lasem liściastym. Jego gęstość na obszarze Majdanu Górnego była na tyle nieduża, że możliwe było wytyczenie poligonów do geofizycznych badań nieinwazyjnych (ryc. 10). Badania geofizyczne prowadzono trzema metodami: z wykorzystaniem georadaru Mała model Ground Explorer z anteną 450 MHz o zasięgu głębokościowym sięgającym około 3 m, kappametru firmy Bartington model MS3 z sondą MS2D pracującą z częstotliwością 950 ± 60 Hz i przeznaczoną do płytkiego pomiaru podatności magnetycznej gruntu i magnetometru transduktoro-

wego firmy Bartington model Grad 602, który pozwala na rejestrację anomalii magnetycznych wywoływanych przez obiekty zalegające na głębokości do około 1 m.

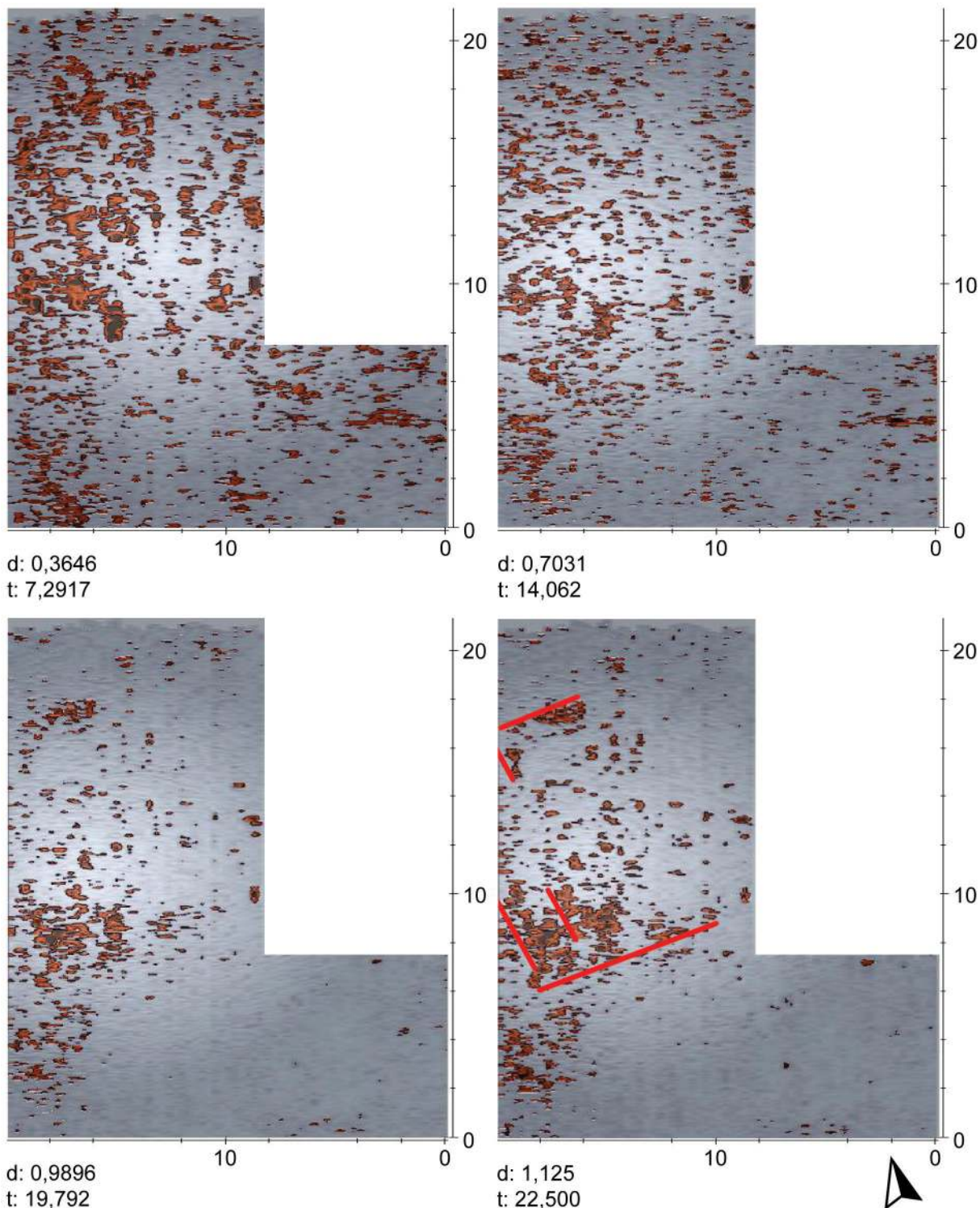
Poligon badań nieinwazyjnych z wykorzystaniem georadaru miał powierzchnię 20×21 m i obejmował centralną część majdanu. W jego obrębie wykonano pomiary jedynie na powierzchni 329 m², gdyż pozostała część okazała się być zbyt silnie zarośnięta roślinnością. Pomiary zbierano wzdłuż 51 równoległych profilowań oddalonych od siebie o stały interwał wynoszący $0,5$ m. Uśredniona prędkość propagacji fali w lokalnym ośrodku geologicznym wynosiła $0,06$ m/ns, co odpowiada prędkości fali przechodzącej przez piaski zailone (piaski gliniaste przechodzące w gliny).



Ryc. 10. Augamy, st. 1. Plan grodziska z naniesionymi wykopami archeologicznymi (kolor biały) i poligonami badań nieinwazyjnych: kappametr (biały przerywany), magnetometr (zielony przerywany), GPR (niebieski przerywany) (oprac. R. Solecki)

Począwszy od powierzchni ziemi do głębokości około 1 m, otrzymane w toku processingu plany GPR ujawniły chaotycznie rozkładające się strefy tłumienia (jasne) i wzmocnienia sygnału (ciemnoczerwone) (ryc. 11). Strefy wzmocnień sygnału są efektem akumulacji materiału gruboziarnistego przemieszanego być może z drobnym gruzem kamiennym, bądź ceglanym. Już na tym poziomie daje się

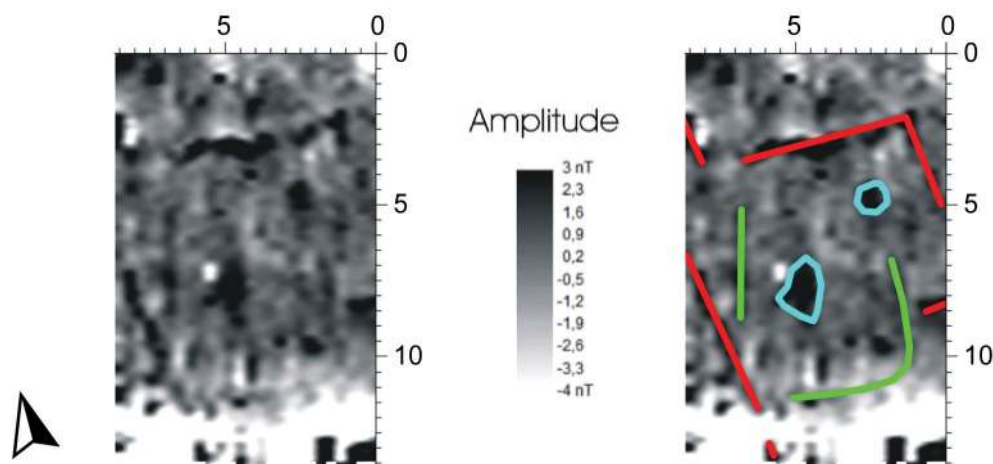
zauważyć, że anomalie punktowe koncentrują się w środkowej części poligonu. Można przyjąć, że strefy wzmocnienia sygnału na analizowanych planach radarowych w istocie odpowiadają fizycznym pozostałościom po strukturze niemal całkowicie zniszczonego i rozebranego budynku (ryc. 11 – czerwone linie). Opisane zespoły anomalii kontynuują się do głębokości około 1,3 m.



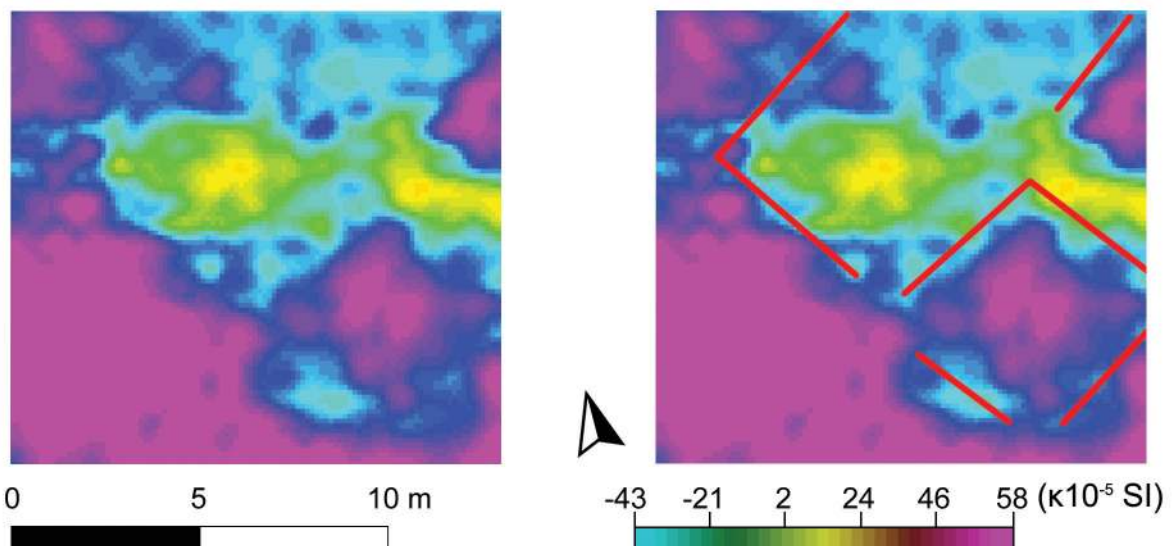
Ryc. 11. Augamy, st. 1. Plany GPR w obrębie poligonu dla przedziału głębokości od 0,36 do 1,12 m (oprac. F. Welc)

Poligon badań nieinwazyjnych z wykorzystaniem magnetometru zawierał się w poligonie badań georadarowych i obejmował strefę występowania największych zakłóceń widocznych na planie GPR. Otrzymana pozytywna mapa rozkładu anomalii magnetycznych wykazała istnienie szeregu miejsc o wysokiej (obszary ciemniejsze) i niskiej amplitudzie (obszary jaśniejsze) (ryc. 12). Czytelne są długie, liniowe, równoległe i prostopadłe anomalie niedipolowe, które tworzą strukturę zbliżoną do kwadratu o boku około 8,5 m (ryc. 12 – kolor czerwony). Mniej czytelne są linie układające się w U-kształtny obiekt o szerokości około 5,3 m i długości co najmniej 7 m (ryc. 12 – kolor zielony). Linie te pokrywają się z liniowymi anomaliami z planu GPR, co może sugerować relatywnie dużą głębokość tej struktury (wkopu) i że jest ona wypełniona piaskiem z dużą domieszką materii organicznej i domieszką gruzu.

Poligon badań nieinwazyjnych z wykorzystaniem kappametru miał wymiary 12×13 m. i obejmował południową część Majdanu Górnego. Wartość odczytów mieści się w zakresie od -43,71 do 58,12 $\kappa 10^{-5}$ SI. Średnia wartość odczytów wynosi -17,07 a odchylenie standardowe 16,46 ($\kappa 10^{-5}$ SI). Badania wykazały obecność co najmniej dwóch regularnych, zbliżonych do kwadratu w planie, struktur o boku około 5 m, które stykały się ze sobą jednym z boków (ryc. 13). Być może są to manifestacje wkopów fundamentowych. W granicach czworoboku położonego bardziej na południowy wschód odczyty miały takie wartości, jak odczyty lokalnych warstw naturalnych. W granicach czworoboku położonego bardziej na północny zachód odczyty były zdecydowanie inne, sugerujące istnienie jakiejś konstrukcji. W tym miejscu na powierzchni widoczne jest nieduże zagłębienie z pojedynczymi kamieniami.



Ryc. 12. Augamy, st. 1. Plan z pozytywowym rozkładem anomalii magnetycznych (oprac. F. Welc)



Ryc. 13. Augamy, st. 1. Plan z wizualizacją wyników badań z wykorzystaniem kappametru (oprac. D. Skoczylas)

Bazując na oglądzie powierzchni stanowiska oraz wynikach badań nieinwazyjnych wytyczono 6 wykopów badawczych (W1–6) (ryc. 10):

- W1, o wymiarach 2×5 m, wytyczono w poprzek fosy,
- nieregularnie prostokątny W2, o wymiarach 5×7 m i powierzchni 32 m², w południowej części Majdanu Górnego, gdzie na obrazowaniu danych z kappametru czytelny był obiekt z kamiennym wypełniskiem,
- W3, o wymiarach 2×7 m, przecinał pod kątem prostym wał Majdanu Górnego,
- W4, o wymiarach 1,5×4 m, przecinał pod kątem prostym wał Majdanu Dolnego,
- W5, o wymiarach 1×5 m i W6, o wymiarach 3×3 m, wytyczono na powierzchni Majdanu Górnego, w celu rozpoznania domniemanego domostwa widocznego na wynikach badań georadarowych i magnetycznych.

Stratygrafia stanowiska

W trakcie omawianych badań archeologicznych wydzielono łącznie 119 jednostek stratygraficznych (tabela 1). Możliwe było ich rozdzielanie pomiędzy warstwy naturalne i pięć fazy użytkowych. Diagram Harrisa dla wydzielonych jednostek stratygraficznych przedstawia ryc. 14 a zadokumentowane powierzchnie ryc. 15–24.

Warstwy naturalne

W trakcie badań jako jednostki naturalne zidentyfikowano: w W1 twardą, zbitą glinę 12 z dużą ilością ilastych wtrętów i soczewek, w W2 twardą glinę 33, w W3 zwarty piasek z żelazistymi wytrąceniami 117, w W4 ił z żelazistymi wytrąceniami 111, w W5 plastyczny, lekko piaszczysty ił 64, a w W6 sypki piasek 16 z soczewkami zwartego, twardego iłu.

Faza I (A–B)

Najstarszą fazę użytkowania stanowiska podzielono na dwie podfazy: A i B. Fazę IA należy łączyć z budową, a fazę IB z użytkowaniem i opuszczeniem grodu. Chronologia powstania umocnień w formie dwóch wałów ziemnych jest trudna do jednoznacznego określenia. Przeprowadzone badania radiowęglowe prób węgla pozyskanego z nasypu wału w W3 i związanej z nim warstwy użytkowej wskazują po kalibracji na przedział od poł. IV do poł. VI wieku n.e., czyli na ostatnie fazy Okre-

su Wędrówek Ludów i sam początek tworzenia się organizacji plemiennej Prusów¹³.

Budowa grodu była najpewniej poprzedzona wypaleniem powierzchni cypla, na którym miał się on znaleźć. Poniżej nasypów uchwytne są warstwy humusu pierwotnego z wyraźną domieszką węgla drzewnych – w W3 jest to drobnoziarnisty piach 70 z widocznymi wtrętami węgla drzewnego, a w W4 ił 110 z drobinami węgla drzewnych.

Z budową najstarszych umocnień należy wiązać warstwy tworzące nasypy ziemne:

- Wał Majdanu Dolnego (W4) tworzą zbita glina 109 z widocznymi łupkami skalnymi średniej wielkości oraz zbita glina 108,
- Wał Majdanu Górnego (W3) tworzą plastyczny ił 68, plastyczna glina 69 z domieszką drobnoziarnistego piasku, plastyczny ił 77 z domieszką materii organicznej, twardy, kruszący się ił 67, plastyczny ił 65 oraz pylasty ił 116.

Wał Majdanu Górnego był w tej fazie prawdopodobnie zaopatrzony także w konstrukcję drewnianą typu płot lub palisada, za czym przemawiają ślady po zdegradowanym drewnie – wąski pas iłu 79 z domieszką materii organicznej oraz smuga sypkiego iłu 115 z domieszką spalenizny – które zadokumentowano przy szczycie wału.

Przy Wale Majdanu Górnego, od strony majdanu, znajdowało się zagłębienie przywałowe 89, szerokości do 330 cm i głębokość do 60 cm, które wyprofilowano w nasypie, który tworzyły ił 88 z pojedynczymi, małymi kamyczkami, plastyczny ił 114 oraz ił 87 z domieszką drobnoziarnistego piasku.

Z użytkowaniem grodu w tej fazie należy łączyć zespół nawarstwień, które odłożyły się w obrębie zagłębienia przywałowego, między innymi w wyniku erozji wału: piaszczysty ił 93 z pojedynczymi, małymi kamieniami, piaszczysty ił 113 z drobinami spalenizny oraz popiołu, sypki, piaszczysty ił 112 z drobinami węgla drzewnych, zbity, plastyczny ił 98, zbity, plastyczny ił 96 z domieszką drobnoziarnistego piasku, zbity, plastyczny ił 95, piach 91 z domieszką materii organicznej i węgla drzewnych oraz plastyczny ił 90. Ponad stropem wypełniska zagłębienia przywałowego widoczny jest zespół warstw, które można wiązać ze zniszczeniem umocnień grodu tej fazy: soczewki plastycznego iłu 66, piaszczystego iłu 92, plastycznego iłu 75 oraz gruba na około 5 cm warstwa spalen-

¹³ J. Okulicz 1973: 421, 491–495.

zny 82. Próbę węgla z warstwy 82 przekazano do analizy radiowęglowej. Wynik tej analizy dał po kalibracji przedział lat 367–541 n.e. z prawdopodobieństwem 95,4%¹⁴.

Na zewnętrznym stoku Wału Majdanu Górnego zadokumentowano drobnoziarnisty piasek 63 z licznymi drobinami węgla drzewnych. Próbę węgla z warstwy 63 przekazano do analizy radiowęglowej. Wynik tej analizy dał po kalibracji przedział lat 363–539 n.e. z prawdopodobieństwem 95,4%¹⁵.

Z fazą tą należy także wiązać warstwy, które wytworzyły się ponad nasypem Wału Majdanu Dolnego: plastyczny, lekko piaszczysty ił 102 i ił 101 z domieszką materii organicznej.

Po opuszczeniu grodu tej fazy nastąpiła najpewniej przerwa osadnicza.

Faza II (A–B)

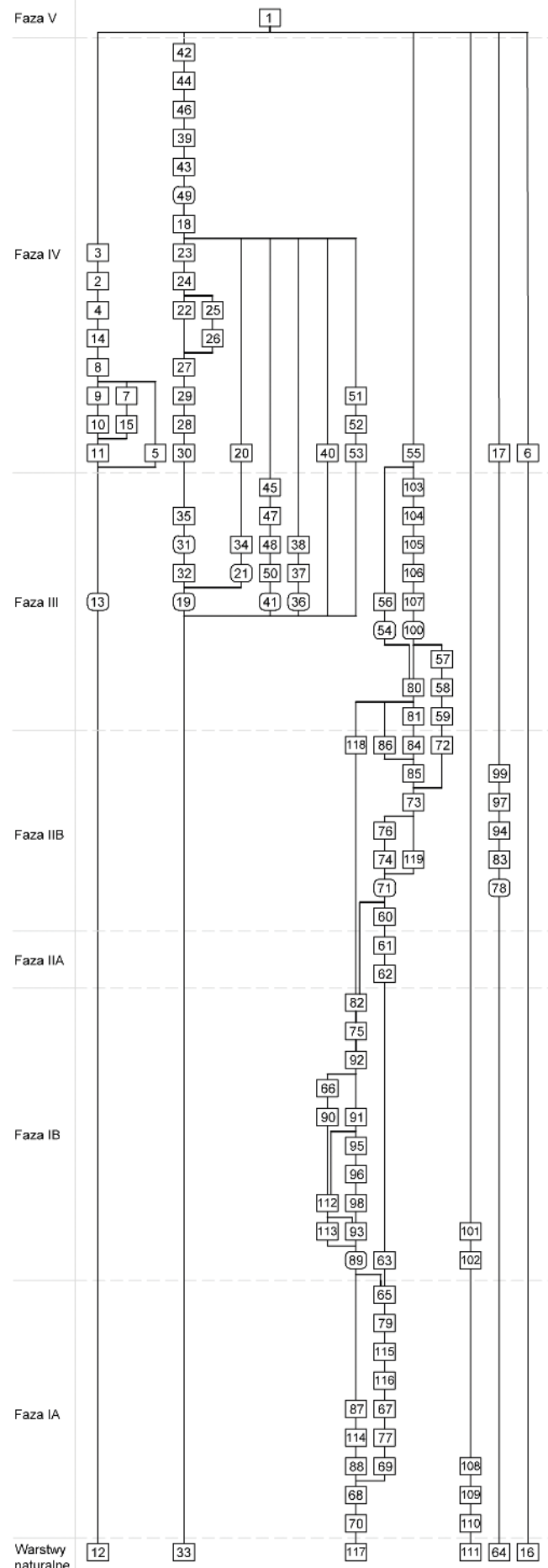
Fazę tę podzielono na dwie podfazy: A i B. Fazę IIA należy wiązać z odbudową umocnień grodu, a fazę IIB z ponownym jego zasiedleniem w okresie wczesnego średniowiecza.

Ślady odbudowy potwierdzono tylko w obrębie W3, gdzie zadokumentowano warstwy nasypowe Wału Majdanu Górnego: ił 62 oraz ił 63, zawierający drobinny węgla drzewnego. Na powierzchni zewnętrznego stoku tego wału zanotowano drobnoziarnisty piasek 60, zawierającego drobinny węgla drzewnego.

Część Wału Majdanu Górnego od strony majdanu została naruszona przez wkop 71, tworzący regularną półkę, która była najpewniej elementem systemu obronnego. W obrębie obiektu 71 zarejestrowano skupisko kamieni 76 o średnicy do 25 cm, tworzących pas równoległy do osi wału oraz lokalnie występujące warstwy lekko piaszczystej gliny 74, średnio- i drobnoziarnistego, ilastego piasku 119 z widocznymi drobinami węgla drzewnych, lekko piaszczystego iłu 73, twardego iłu 85, iłu przemieszanego ze spalenizną 84 oraz gliny 72 z domieszką materii organicznej. W obrębie obiektu 71 mogła znajdować się konstrukcja drewniana, dodatkowo umacniająca wał, po której pozostałością są ślady spalonego i zdegradowanego drewna: wąski pas gliny przemieszanej ze spalenizną 86 i wąski pas sypkiego piasku przemieszanego z popiołem 118.

¹⁴ Analiza przeprowadzona w Poznańskim Laboratorium Radiowęglowym, próba nr Poz-130375.

¹⁵ Analiza przeprowadzona w Poznańskim Laboratorium Radiowęglowym, próba nr Poz-130525.



Ryc. 14. Augamy, st. 1. Diagram relacji stratygraficznych (oprac. D. Skoczyłas)

Tabela 1. Augamy, st. 1. Katalog warstw i obiektów oraz ich zależności stratygraficznych (oprac. D. Skoczylas)

Numer jednostki	Numer obiektu	Numer wykopu	Polożenie w obrębie stanowiska	Współrzędne geodezyjne (PUWG 1992)	Opis jednostki stratygraficznej (rodzaj sedimentu, miąższość, zawartość zabytkowa, przypuszczalna funkcja/proces formowania)	Barwa (Munsell)	Pozycja stratygraficzna	
							Znajduje się pod	Znajduje się nad
1	-	1, 2, 3, 4, 5, 6	Całe stanowisko	X=723151,3-723250,4; Y=587812,0-587857,7	Piaszczysty humus leśny; miąższość do 45 cm; współczesny poziom użytkowy w obrębie stanowiska	2.5Y 3/1	-	2, 3, 18, 55
2	-	1	Fosa	X=723211,8-723217,2; Y=587830,8-587834,1	Piaszczysta glina; miąższość do 50 cm; warstwa spływów z wyżej położonych stoków i wałów	10YR 4/4	1, 3	4, 5
3	-	1	Fosa	X=723211,8-723217,2; Y=587830,8-587834,1	Piasek z dużą domieszką materii organicznej; miąższość do 35 cm; warstwa spływów z wyżej położonych stoków i wałów	10YR 3/4	1	2, 4, 14
4	-	1	Fosa	X=723211,8-723217,2; Y=587830,8-587834,1	Glina z ilastymi i piaszczystymi wtrąceniami; miąższość do 55 cm; warstwa spływów z wyżej położonych stoków i wałów	10Y 5/3	2, 3	5, 7, 8, 9, 12, 13
5	-	1	Fosa	X=723211,8-723217,2; Y=587830,8-587834,1	Glina z dużą ilością wytrąceń ilastych; miąższość do 30 cm; warstwa spływów ze stoku i wału Majdanu Górnego	10YR 4/4	2, 4	12, 13
6	-	6	Majdan Górny	X=723166,3-723170,1; Y=587814,6-587818,4	Przemieszany, plastyczny il; miąższość do 30 cm; warstwa erozyjna na obszarze Majdanu Górnego	10YR 5/3	1	16
7	-	1	Fosa	X=723211,8-723217,2; Y=587830,8-587834,1	Soczewka piasku i ilu; miąższość do 10 cm; lokalny spływ	10YR 6/6	4, 8	12, 13, 15
8	-	1	Fosa	X=723211,8-723217,2; Y=587830,8-587834,1	Ilasta glina; miąższość do 35 cm; warstwa spływowa na dnie fosy	10YR 5/3	4	7, 9, 15
9	-	1	Fosa	X=723211,8-723217,2; Y=587830,8-587834,1	Ilasta glina z domieszką materii organicznej; miąższość do 20 cm; warstwa spływowa na dnie fosy	10YR 4/2	4, 8	10
10	-	1	Fosa	X=723211,8-723217,2; Y=587830,8-587834,1	Piasek; miąższość do 10 cm; warstwa spływowa na dnie fosy	10YR 5/4	9	11
11	-	1	Fosa	X=723211,8-723217,2; Y=587830,8-587834,1	Przemieszana glina i piasek; miąższość do 25 cm; warstwa spływowa na dnie fosy	10YR 4/2	8, 10, 15	12, 13
12	-	1	Fosa	X=723211,8-723217,2; Y=587830,8-587834,1	Twarda zbita glina z dużą ilością ilastych wtrętoń i soczewek; podłoże naturalne	10YR 6/3	4, 5, 11, 13, 15	-
13	13	1	Fosa	X=723211,8-723217,2; Y=587830,8-587834,1	Dużych rozmiarów wkop profilujący fosę	-	4, 5, 11, 15	12
14	-	1	Fosa	X=723211,8-723217,2; Y=587830,8-587834,1	Ilasta glina; miąższość do 30 cm; warstwa spływów z wyżej położonych stoków i wałów	10YR 5/4	3, 4	8, 12
15	-	1	Fosa	X=723211,8-723217,2; Y=587830,8-587834,1	Fragment spalonej belki - elementu konstrukcyjnego - która spłynęła wraz z warstwami erozyjnymi na dno fosy	10YR 2/1	7, 8	11, 12, 13
16	-	6	Majdan Górny	X=723166,3-723170,1; Y=587814,6-587818,4	Sypki piasek z soczewkami zwałowego, twardego ilu; podłoże naturalne	2.5Y 6/4	6	-
17	-	5	Majdan Górny	X=723170,1-723172,4; Y=587816,8-587822,0	Piasek z domieszką materii organicznej; miąższość do 20 cm; warstwa erozyjna na obszarze Majdanu Górnego	10YR 4/3	1	64, 94, 97, 99
18	-	2	Majdan Górny	X=723151,3-723159,1; Y=587812,0-587818,5	Sypki piasek z domieszką materii organicznej i z drobinami gruzu ceglanoego; miąższość do 40 cm; rumosz rozbiórkowy	10YR 5/3	1	23, 33
19	19	2	Majdan Górny	X=723151,3-723159,1; Y=587812,0-587818,5	Wkop budowlany pod kamienną platformę 21; zadokumentowane rozmiary to długość 500 cm, szerokość 350 cm i głębokość do 115 cm	-	21	33
20	-	2	Majdan Górny	X=723151,3-723159,1; Y=587812,0-587818,5	Rumosz kamienny; destrukcja platformy 21	-	18	34
21	19	2	Majdan Górny	X=723151,3-723159,1; Y=587812,0-587818,5	Platforma zbudowana z kamieni średnicy do 55 cm, z dodatkiem pojedynczych kawałków cegieł; platforma w rzucie zbliżona do kwadratu o boku 280 cm, wysokość do 80 cm; w centralnej części widoczne kolisty zagłębienie średnicy 150 cm i głębokości do 60 cm	-	34	19, 33

Tabela 1. Ciąg dalszy

Numer jednostki	Numer obiektu	Numer wykopu	Położenie w obrębie stanowiska	Współrzędne geodezyjne (PUWG 1992)	Opis jednostki stratygraficznej (rodzaj sedimentu, miąższość, zawartość zabytkowa, przypuszczalna funkcja/proces formowania)	Barwa (Munsell)	Pozycja stratygraficzna	
							Znajduje się pod	Znajduje się nad
22	-	2	Majdan Górny	X=723151,3-723159,1; Y=587812,0-587818,5	Spalona deska drewniana; rumosz rozbiórkowy	10YR 2/1	24	27
23	-	2	Majdan Górny	X=723151,3-723159,1; Y=587812,0-587818,5	Sypki piasek z drobinami węgla drzewnego; miąższość do 20 cm; rumosz rozbiórkowy	10YR 6/1	18	24
24	-	2	Majdan Górny	X=723151,3-723159,1; Y=587812,0-587818,5	Lekko plastyczny il przemieszany z fragmentami cegieł, polepy i węgla drzewnego; miąższość do 45 cm; rumosz rozbiórkowy	10YR 5/4	18, 23	22, 25, 26, 27
25	-	2	Majdan Górny	X=723151,3-723159,1; Y=587812,0-587818,5	Lekko plastyczny il z pojedynczymi drobinami gruzu ceglano; miąższość do 50 cm; rumosz rozbiórkowy	10YR 4/3	24	26
26	-	2	Majdan Górny	X=723151,3-723159,1; Y=587812,0-587818,5	Gliniasty il; miąższość do 10 cm; przekładka w obrębie rumoszu rozbiórkowego	10YR 4/6	25	27
27	-	2	Majdan Górny	X=723151,3-723159,1; Y=587812,0-587818,5	Gliniasty il przemieszany z fragmentami cegieł, węglami drzewnymi i polepą; miąższość do 20 cm; rumosz rozbiórkowy	10YR 4/3	22, 24, 26	28, 29
28	-	2	Majdan Górny	X=723151,3-723159,1; Y=587812,0-587818,5	Przemieszany, plastyczny il z drobinami węgla drzewnych i gruzu ceglano; miąższość do 25 cm; rumosz rozbiórkowy	10YR 5/3	27, 29	30
29	-	2	Majdan Górny	X=723151,3-723159,1; Y=587812,0-587818,5	Plastyczny il z drobinami węgla drzewnych i gruzu ceglano; miąższość do 5 cm; rumosz rozbiórkowy	10YR 4/6	27	28, 30
30	-	2	Majdan Górny	X=723151,3-723159,1; Y=587812,0-587818,5	Gлина przemieszana ze spalenizną i rumoszem ceglano; miąższość do 25 cm; rumosz rozbiórkowy	7.5YR 4/8	28, 29	31, 32
31	19	2	Majdan Górny	X=723151,3-723159,1; Y=587812,0-587818,5	Posadzka ułożona z cegieł	-	30	32
32	19	2	Majdan Górny	X=723151,3-723159,1; Y=587812,0-587818,5	Plastyczna glina; miąższość do 20 cm; wyłożenie pod ceglana posadzkę 31	5Y 5/3	30, 31	19, 33
33	-	2	Majdan Górny	X=723151,3-723159,1; Y=587812,0-587818,5	Twarda glina; podłoże naturalne	7.5YR 7/4	19	-
34	19	2	Majdan Górny	X=723151,3-723159,1; Y=587812,0-587818,5	Zaprawa gliniana z fragmentami cegieł spajająca kamienie platformy 21	7.5YR 4/2	20	21
35	19	2	Majdan Górny	X=723151,3-723159,1; Y=587812,0-587818,5	Fragmenty spalonych belek na poziomie ceglanoj posadzki 31, przy platformie 21	10YR 2/1	30	21, 31
36	36	2	Majdan Górny	X=723151,3-723159,1; Y=587812,0-587818,5	Wkop, kolisty w planie, U-kształtny w profilu; średnica 75 cm, głębokość do 60 cm; dół postłupowy	-	37, 38	33
37	36	2	Majdan Górny	X=723151,3-723159,1; Y=587812,0-587818,5	Gлина przemieszana z gruzem ceglano; wypełnisko dołu postłupowego 36	7.5YR 5/6	38	36
38	36	2	Majdan Górny	X=723151,3-723159,1; Y=587812,0-587818,5	Ilasta glina przemieszana z drobinami węgla drzewnych; wypełnisko dołu postłupowego 36	10YR 6/2	18	37
39	49	2	Majdan Górny	X=723151,3-723159,1; Y=587812,0-587818,5	Sypki, pylasty piasek; wypełnisko wkopu 49	10YR 7/2	42, 46	43, 49
40	-	2	Majdan Górny	X=723151,3-723159,1; Y=587812,0-587818,5	Nieregularnie owalna soczewka gliny wymieszanej z polepą, drobinami cegieł i fragmentami węgla drzewnych; średnica do 60 cm, miąższość do 5 cm; rumosz rozbiórkowy	7.5YR 4/6	18	33
41	41	2	Majdan Górny	X=723151,3-723159,1; Y=587812,0-587818,5	Wkop, owalny w planie, U-kształtny w profilu; średnica 75-125 cm, głębokość do 100 cm; dół postłupowy	-	50	33
42	49	2	Majdan Górny	X=723151,3-723159,1; Y=587812,0-587818,5	Zbita, krucha glina przemieszana z polepą oraz fragmentami cegieł; wypełnisko wkopu 49	7.5YR 6/3	1	39, 43, 44, 46
43	49	2	Majdan Górny	X=723151,3-723159,1; Y=587812,0-587818,5	Przemieszana polepa, węgle drzewne i fragmenty cegieł; wypełnisko wkopu 49	10YR 4/3	39, 42, 44, 46	49

Tabela 1. Ciąg dalszy

Numer jednostki	Numer obiektu	Numer wykopu	Położenie w obrębie stanowiska	Współrzędne geodezyjne (PUWG 1992)	Opis jednostki stratygraficznej (rodzaj sedimentu, miąższość, zawartość zabytkowa, przypuszczalna funkcja/proces formowania)	Barwa (Munsell)	Pozycja stratygraficzna	
							Znajduje się pod	Znajduje się nad
44	49	2	Majdan Górny	X=723151,3-723159,1; Y=587812,0-587818,5	Pojedyncze kamienie średnicy do 30 cm, leżące bezładnie w obrębie wkopu 49	-	42	39, 43, 46
45	41	2	Majdan Górny	X=723151,3-723159,1; Y=587812,0-587818,5	Plastyczny ił z fragmentami cegieł i węgla drzewnego; wypełnisko dołu postłupowego 41	10YR 5/3	18, 49	47
46	49	2	Majdan Górny	X=723151,3-723159,1; Y=587812,0-587818,5	Plastyczny ił z domieszką węgla drzewnych; wypełnisko wkopu 49	5YR 4/6	42, 44	39, 43, 49
47	41	2	Majdan Górny	X=723151,3-723159,1; Y=587812,0-587818,5	Lekko piaszczysta glina; wypełnisko dołu postłupowego 41	10YR 5/4	45	48
48	41	2	Majdan Górny	X=723151,3-723159,1; Y=587812,0-587818,5	Lekko piaszczysta glina; wypełnisko dołu postłupowego 41	10YR 5/2	47	50
49	49	2	Majdan Górny	X=723151,3-723159,1; Y=587812,0-587818,5	Wkop, nieregularnie owalny w planie, V-kształtny w profilu; średnica 140 cm, głębokość do 90 cm; wkop rozbiórkowy	-	39, 43, 46	18
50	41	2	Majdan Górny	X=723151,3-723159,1; Y=587812,0-587818,5	Lekko piaszczysta glina; wypełnisko dołu postłupowego 41	10YR 5/4	48	33, 41
51	-	2	Majdan Górny	X=723151,3-723159,1; Y=587812,0-587818,5	Rumosz ceglany; pozostałość rozbiórki	-	18	52
52	-	2	Majdan Górny	X=723151,3-723159,1; Y=587812,0-587818,5	Soczewka drobnoziarnistego piasku	10YR 8/1	51	53
53	-	2	Majdan Górny	X=723151,3-723159,1; Y=587812,0-587818,5	Soczewka plastycznego iłu z drobinami cegieł i węgla drzewnych	10YR 4/4	52	33
54	54	3	Wał Majdanu Górnego	X=723195,7-723203,1; Y=587827,3-587830,9	Wkop, nieregularnie owalny w planie, U-kształtny w profilu; średnica 30-50 cm, głębokość do 105 cm; dół postłupowy	-	56	58, 80
55	-	3	Wał Majdanu Górnego	X=723195,7-723203,1; Y=587827,3-587830,9	Zbity, ilasty piasek; miąższość do 50 cm; warstwa erozyjna na Wale Majdanu Górnego	10YR 5/3	1	56, 57, 80, 103, 104
56	54	3	Wał Majdanu Górnego	X=723195,7-723203,1; Y=587827,3-587830,9	Ilasty piasek z domieszką materii organicznej; wypełnisko obiektu 54	10YR 4/3	55	54
57	-	3	Wał Majdanu Górnego	X=723195,7-723203,1; Y=587827,3-587830,9	Twarda, zbita glina z soczewkami sypkiego piasku; miąższość do 95 cm; jeden z nasypów Wału Majdanu Górnego	7.5YR 7/3	55, 100, 103	58
58	-	3	Wał Majdanu Górnego	X=723195,7-723203,1; Y=587827,3-587830,9	Plastyczny ił; miąższość do 45 cm; jeden z nasypów Wału Majdanu Górnego	5YR 4/4	57	59, 72
59	-	3	Wał Majdanu Górnego	X=723195,7-723203,1; Y=587827,3-587830,9	Drobnoziarnisty, ilasty piasek z domieszką materii organicznej; miąższość do 50 cm; jeden z nasypów Wału Majdanu Górnego	7.5YR 3/4	58	60, 61
60	-	3	Wał Majdanu Górnego	X=723195,7-723203,1; Y=587827,3-587830,9	Drobnoziarnisty piach zawierającego drobiny węgla drzewnego; miąższość do 5 cm; jeden z poziomów użytkowych na Wale Majdanu Górnego	10YR 4/2	58, 59, 71	61
61	-	3	Wał Majdanu Górnego	X=723195,7-723203,1; Y=587827,3-587830,9	Ił zawierający drobiny węgla drzewnego; miąższość do 30 cm; jeden z nasypów Wału Majdanu Górnego	7.5YR 5/4	59, 61, 80	62
62	-	3	Wał Majdanu Górnego	X=723195,7-723203,1; Y=587827,3-587830,9	Ił; miąższość do 40 cm; jeden z nasypów Wału Majdanu Górnego	7.5YR 6/4	61	63
63	-	3	Wał Majdanu Górnego	X=723195,7-723203,1; Y=587827,3-587830,9	Drobnoziarnisty piasek z drobinami węgla drzewnych; miąższość do 10 cm; jeden z poziomów użytkowych na Wale Majdanu Górnego	10YR 5/2	62	65, 67
64	-	5	Majdan Górny	X=723170,1-723172,4; Y=587816,8-587822,0	Plastyczny, lekko piaszczysty ił; podłoże naturalne	2.5Y 6/4	17, 78	-
65	-	3	Wał Majdanu Górnego	X=723195,7-723203,1; Y=587827,3-587830,9	Plastyczny ił; miąższość do 50 cm; jeden z nasypów Wału Majdanu Górnego	10YR 6/6	63, 74, 75, 93	67, 79, 115, 116

Tabela 1. Ciąg dalszy

Numer jednostki	Numer obiektu	Numer wykopu	Położenie w obrębie stanowiska	Współrzędne geodezyjne (PUWG 1992)	Opis jednostki stratygraficznej (rodzaj sedimentu, miąższość, zawartość zabytkowa, przypuszczalna funkcja/proces formowania)	Barwa (Munsell)	Pozycja stratygraficzna	
							Znajduje się pod	Znajduje się nad
66	-	3	Wał Majdanu Górnego	X=723195,7-723203,1; Y=587827,3-587830,9	Piaszczysty ił; miąższość do 5 cm; warstwa związana z obiektem 89	10YR 6/6	92	87, 90
67	-	3	Wał Majdanu Górnego	X=723195,7-723203,1; Y=587827,3-587830,9	Twardy, kruszący się ił; miąższość do 30 cm; jeden z nasypów Wału Majdanu Górnego	10YR 6/3	63, 65, 115, 116	69, 77
68	-	3	Wał Majdanu Górnego	X=723195,7-723203,1; Y=587827,3-587830,9	Plastyczny ił; miąższość do 25 cm; jeden z nasypów Wału Majdanu Górnego	7.5YR 5/3	69,88	70
69	-	3	Wał Majdanu Górnego	X=723195,7-723203,1; Y=587827,3-587830,9	Plastyczna glina z domieszką drobnopiękistego piasku; miąższość do 15 cm; jeden z nasypów Wału Majdanu Górnego	7.5YR 5/4	67, 77, 116	68, 70
70	-	3	Wał Majdanu Górnego	X=723195,7-723203,1; Y=587827,3-587830,9	Drobnopiękisty piach z widocznymi wtrętami węgla drzewnego; miąższość do 15 cm; poziom użytkowy bezpośrednio poprzedzający budowę Wału Majdanu Górnego	10YR 7/1	68, 69, 73	117
71	71	3	Wał Majdanu Górnego	X=723195,7-723203,1; Y=587827,3-587830,9	Wcięcie w Wał Majdanu Górnego od strony majdanu; zapewne element systemu obronnego	-	74	60, 75
72	71	3	Wał Majdanu Górnego	X=723195,7-723203,1; Y=587827,3-587830,9	Glina z domieszką materii organicznej; miąższość do 25 cm; warstwa w obrębie obiektu 71	10YR 4/3	58	73
73	71	3	Wał Majdanu Górnego	X=723195,7-723203,1; Y=587827,3-587830,9	Lekko piaszczysty ił; miąższość do 45 cm; warstwa w obrębie obiektu 71	7.5YR 5/4	72, 81	74, 75, 76, 82, 119
74	71	3	Wał Majdanu Górnego	X=723195,7-723203,1; Y=587827,3-587830,9	Lekko piaszczysta glina; miąższość do 25 cm; warstwa w obrębie obiektu 71	10YR 5/4	73, 76	71, 75
75	-	3	Wał Majdanu Górnego	X=723195,7-723203,1; Y=587827,3-587830,9	Plastyczny ił; miąższość do 15 cm; warstwa związana z użytkowaniem Wału Majdanu Górnego	10YR 8/4	71, 73, 74, 76, 82, 84	65, 96
76	71	3	Wał Majdanu Górnego	X=723195,7-723203,1; Y=587827,3-587830,9	Skupisko kamieni o średnicy do 25 cm, tworzących pas równoległy do osi Wału Majdanu Górnego w obrębie obiektu 71	-	73	74, 75
77	-	3	Wał Majdanu Górnego	X=723195,7-723203,1; Y=587827,3-587830,9	Plastyczny ił z domieszką materii organicznej; miąższość do 15 cm; jeden z nasypów Wału Majdanu Górnego	10YR 5/2	67	68, 69
78	78	5	Majdan Górny	X=723170,1-723172,4; Y=587816,8-587822,0	Wkop, owalny w planie, nieckowaty w profilu; średnica do 170-190 cm, głębokość do 50 cm; funkcja nieokreślona	-	83, 97	64
79	-	3	Wał Majdanu Górnego	X=723195,7-723203,1; Y=587827,3-587830,9	Wąski pas iłu z domieszką materii organicznej; miąższość do 10 cm; relikty umocnienia Wału Majdanu Górnego	10YR 4/6	65	67
80	-	3	Wał Majdanu Górnego	X=723195,7-723203,1; Y=587827,3-587830,9	Zbity, plastyczny ił; miąższość do 95 cm; jeden z nasypów Wału Majdanu Górnego	7.5YR 5/4	54, 55, 100	73, 81, 85, 86, 118
81	-	3	Wał Majdanu Górnego	X=723195,7-723203,1; Y=587827,3-587830,9	Glina z domieszką drobnopiękistego piasku; miąższość do 45 cm; jeden z nasypów Wału Majdanu Górnego	10YR 6/4	80	73, 84, 85
82	-	3	Wał Majdanu Górnego	X=723195,7-723203,1; Y=587827,3-587830,9	Spalenizna; miąższość do 5 cm; warstwa związana z użytkowaniem Wału Majdanu Górnego	10YR 2/1	73, 84, 85	75, 92
83	78	5	Majdan Górny	X=723170,1-723172,4; Y=587816,8-587822,0	Piaszczysty ił z widocznymi wtrętami spalenizny; miąższość do 10 cm; wypelnisko obiektu 78	10YR 4/2	94, 97	64, 78
84	71	3	Wał Majdanu Górnego	X=723195,7-723203,1; Y=587827,3-587830,9	Ił przemieszany ze spalenizną; miąższość do 5 cm; warstwa w obrębie obiektu 71	2.5Y 4/1	80, 81	73, 75, 82, 85, 92
85	71	3	Wał Majdanu Górnego	X=723195,7-723203,1; Y=587827,3-587830,9	Twardy ił; miąższość do 15 cm; warstwa w obrębie obiektu 71	7.5YR 4/6	80, 84, 86	73, 92
86	-	3	Wał Majdanu Górnego	X=723195,7-723203,1; Y=587827,3-587830,9	Wąski pas gliny przemieszanej ze spalenizną; miąższość do 10 cm; relikty spalonej belki związanej z obiektem 71	10YR 4/1	80	85
87	-	3	Wał Majdanu Górnego	X=723195,7-723203,1; Y=587827,3-587830,9	Ił z domieszką drobnopiękistego piasku; miąższość do 45 cm; warstwa związana z formowaniem zagłębienia przywałowego Wału Majdanu Górnego	10YR 5/3	89, 92, 96, 113, 133	88, 114

Tabela 1. Ciąg dalszy

Numer jednostki	Numer obiektu	Numer wykopu	Położenie w obrębie stanowiska	Współrzędne geodezyjne (PUWG 1992)	Opis jednostki stratygraficznej (rodzaj sedimentu, miąższość, zawartość zabytkowa, przypuszczalna funkcja/proces formowania)	Barwa (Munsell)	Pozycja stratygraficzna	
							Znajduje się pod	Znajduje się nad
88	-	3	Wał Majdanu Górnego	X=723195,7-723203,1; Y=587827,3-587830,9	Il z pojedynczymi, małymi kamykami; miąższość do 15 cm; warstwa związana z formowaniem zagłębienia przywałowego Wału Majdanu Górnego	7.5YR 4/6	87, 93, 114	68, 70, 116
89	89	3	Wał Majdanu Górnego	X=723195,7-723203,1; Y=587827,3-587830,9	Rynnowaty wkop; szerokość do 330 cm, głębokość do 60 cm; wkop formujący zagłębienie przywałowe przy Wale Majdanu Górnego	-	93, 113	65, 87
90	89	3	Wał Majdanu Górnego	X=723195,7-723203,1; Y=587827,3-587830,9	Plastyczny il; miąższość do 25 cm; wypełnisko obiektu 89	7.5YR 5/4	75, 82, 133	87, 91, 112
91	89	3	Wał Majdanu Górnego	X=723195,7-723203,1; Y=587827,3-587830,9	Piach z domieszką materii organicznej i węgla drzewnych; miąższość do 25 cm; wypełnisko obiektu 89	10YR 6/2	90, 92	95, 112, 113
92	-	3	Wał Majdanu Górnego	X=723195,7-723203,1; Y=587827,3-587830,9	Piaszczysty il; miąższość do 30 cm; warstwa związana z użytkowaniem Wału Majdanu Górnego	7.5YR 5/3	82, 85, 118	87, 91, 133
93	89	3	Wał Majdanu Górnego	X=723195,7-723203,1; Y=587827,3-587830,9	Piaszczysty il z pojedynczymi, małymi kamieniami; miąższość do 40 cm; wypełnisko obiektu 89	7.5YR 4/6	75, 96, 98, 112	65, 88, 89, 116
94	78	5	Majdan Górny	X=723170,1-723172,4; Y=587816,8-587822,0	Przemieszane grudy gliny i piasku; miąższość do 25 cm; wypełnisko obiektu 78	10YR 6/4	97, 99	78, 83
95	89	3	Wał Majdanu Górnego	X=723195,7-723203,1; Y=587827,3-587830,9	Zbity, plastyczny il; miąższość do 15 cm; wypełnisko obiektu 89	10YR 5/4	91	96
96	89	3	Wał Majdanu Górnego	X=723195,7-723203,1; Y=587827,3-587830,9	Zbity, plastyczny il z domieszką drobnoziarnistego piasku; miąższość do 30 cm; wypełnisko obiektu 89	10YR 4/4	95	87, 88, 93, 98
97	78	5	Majdan Górny	X=723170,1-723172,4; Y=587816,8-587822,0	Ilasty piasek z domieszką materii organicznej; miąższość do 35 cm; wypełnisko obiektu 78	10YR 6/2	99	83, 94
98	89	3	Wał Majdanu Górnego	X=723195,7-723203,1; Y=587827,3-587830,9	Zbity, plastyczny il; miąższość do 10 cm; wypełnisko obiektu 89	10YR 4/3	96	93
99	78	5	Majdan Górny	X=723170,1-723172,4; Y=587816,8-587822,0	Gliniasty piasek z domieszką materii organicznej; miąższość do 25 cm; wypełnisko obiektu 78	7.5YR 5/4	17	94, 97
100	100	3	Wał Majdanu Górnego	X=723195,7-723203,1; Y=587827,3-587830,9	Wkop, owalny w planie, nieregularnie U-kształtny w profilu; średnica 80-105 cm, głębokość do 165 cm; dół postępujący	-	103, 107	57, 80
101	-	4	Wał Majdanu Dolnego	X=723211,8-723217,3; Y=587830,8-587834,1	Il z domieszką materii organicznej; miąższość do 50 cm; warstwa erozyjna na Wale Majdanu Dolnego	10YR 4/4	1	102
102	-	4	Wał Majdanu Dolnego	X=723211,8-723217,3; Y=587830,8-587834,1	Plastyczny, lekko piaszczysty il; miąższość do 25 cm; warstwa erozyjna na Wale Majdanu Dolnego	10YR 5/4	101	108
103	100	3	Wał Majdanu Górnego	X=723195,7-723203,1; Y=587827,3-587830,9	Przemieszany, plastyczny il i drobnoziarnisty piasek; wypełnisko obiektu 100	7.5YR 5/3	55	104
104	100	3	Wał Majdanu Górnego	X=723195,7-723203,1; Y=587827,3-587830,9	Kruchy, piaszczysty il z domieszką materii organicznej; wypełnisko obiektu 100	7.5YR 4/4	103	105
105	100	3	Wał Majdanu Górnego	X=723195,7-723203,1; Y=587827,3-587830,9	Plastyczna glina z domieszką materii organicznej; wypełnisko obiektu 100	10YR 3/2	104	106
106	100	3	Wał Majdanu Górnego	X=723195,7-723203,1; Y=587827,3-587830,9	Kruchy il; wypełnisko obiektu 100	10YR 6/1	103, 105	107
107	100	3	Wał Majdanu Górnego	X=723195,7-723203,1; Y=587827,3-587830,9	Naprzemieszanegle warstwy piasku i gliny; wypełnisko obiektu 100	10YR 4/6	106	100
108	-	4	Wał Majdanu Dolnego	X=723211,8-723217,3; Y=587830,8-587834,1	Zbita glina; miąższość do 40 cm; jeden z nasypów Wału Majdanu Dolnego	7.5YR 6/4	102	109
109	-	4	Wał Majdanu Dolnego	X=723211,8-723217,3; Y=587830,8-587834,1	Zbita glina z widocznymi łupkami skalnymi średniej wielkości; miąższość do 75 cm; jeden z nasypów Wału Majdanu Dolnego	7.5YR 4/4	108	110

Tabela 1. Ciąg dalszy

Numer jednostki	Numer obiektu	Numer wykopu	Położenie w obrębie stanowiska	Współrzędne geodezyjne (PUWG 1992)	Opis jednostki stratygraficznej (rodzaj sedymentu, miąższość, zawartość zabytkowa, przypuszczalna funkcja/proces formowania)	Barwa (Munsell)	Pozycja stratygraficzna	
							Znajduje się pod	Znajduje się nad
110	-	4	Wał Majdanu Dolnego	X=723211,8-723217,3; Y=587830,8-587834,1	Ił z drobinami węgla drzewnych; miąższość do 15 cm; poziomy użytkowy bezpośrednio poprzedzający budowę Wału Majdanu Dolnego	10YR 5/2	109	111
111	-	4	Wał Majdanu Dolnego	X=723211,8-723217,3; Y=587830,8-587834,1	Ił z żelazistymi wytrąceniami; podłoże naturalne	10YR 6/6	110	-
112	89	3	Wał Majdanu Górnego	X=723195,7-723203,1; Y=587827,3-587830,9	Sypki, piaszczysty ił z drobinami węgla drzewnych; miąższość do 40 cm; wypełnisko obiektu 89	7.5YR 5/4	75, 90, 91	93, 113
113	89	3	Wał Majdanu Górnego	X=723195,7-723203,1; Y=587827,3-587830,9	Piaszczysty ił z drobinami spalenizny oraz popiołu; miąższość do 20 cm; wypełnisko obiektu 89	10YR 6/4	91, 112	88, 89
114	-	3	Wał Majdanu Górnego	X=723195,7-723203,1; Y=587827,3-587830,9	Plastyczny ił; miąższość do 10 cm; warstwa związana z formowaniem zagłębienia przywałowego Wału Majdanu Górnego	7.5YR 4/8	87	88
115	-	3	Wał Majdanu Górnego	X=723195,7-723203,1; Y=587827,3-587830,9	Smuga sypkiego iłu z domieszką spalenizny i popiołu; miąższość do 10 cm; relikty umocnienia Wału Majdanu Górnego	10YR 5/2	65	67, 116
116	-	3	Wał Majdanu Górnego	X=723195,7-723203,1; Y=587827,3-587830,9	Pylasty ił; miąższość do 35 cm; jeden z nasypów Wału Majdanu Górnego	10YR 8/3	88, 93, 115	67, 69, 70
117	-	3	Wał Majdanu Górnego	X=723195,7-723203,1; Y=587827,3-587830,9	Zwarty piasek z żelazistymi wytrąceniami; podłoże naturalne	2.5YR 8/4	70, 73	-
118	-	3	Wał Majdanu Górnego	X=723195,7-723203,1; Y=587827,3-587830,9	Wąski pas sypkiego piasku przemieszanego z popiołem; miąższość do 50 cm; relikty spalonej belki związanej z obiektem 71	10YR 5/1	80	92
119	71	3	Wał Majdanu Górnego	X=723195,7-723203,1; Y=587827,3-587830,9	Średnio- i drobnoziarnisty, ilasty piasek z widocznymi drobinami węgla drzewnych; miąższość do 40 cm; wypełnisko obiektu 71	10YR 5/4	73	71, 75

Na obszarze Majdanu Górnego, w miejscu gdzie podczas badań nieinwazyjnych z wykorzystaniem georadaru i magnetometru natrafiono na anomalie sugerujące istnienie reliktyw zniszczonego budynku, otworzono W5 i W6. W W5 natrafiono na wkop 78 – owalny w planie, nieckowaty w profilu, o średnicy w przedziale 170–190 cm i głębokości do 50 cm. Jego wypełniskiem był piaszczysty ił 83 z widocznymi wtrętami spalenizny, przemieszane grudy gliny i piasku 94, ilasty piasek 97 z domieszką materii organicznej oraz gliniasty piasek 99 z domieszką materii organicznej. Z warstwy 83 pobrano próbę węgla do analizy radiowęglowej. Wynik tej analizy dał po kalibracji przedział lat 1054–1267 n.e. z prawdopodobieństwem 95,4%. Przy prawdopodobieństwie 94,6% przedział zawęża się do lat 1157–1267¹⁶.

Faza III

Faza ta związana jest z użytkowaniem grodu w okresie późnego średniowiecza.

W fazie tej zdecydowanie podwyższono Wał Majdanu Górnego, formując przy tej okazji także fosę 13 oddzielającą Majdan Górny od Dolnego. Warstwami nasypowymi formującymi wał są glina z domieszką drobnoziarnistego piasku 81, zbity, plastyczny ił 80, drobnoziarnisty, ilasty piasek z domieszką materii organicznej 59, plastyczny ił 58 i twarda, zbita glina 57 z soczewkami sypkiego piasku. Przy szczytowej części wału, na linii równoległej do jego osi, zadokumentowano dwa doły postępujące:

- wkop 54, nieregularnie owalny w planie, nieregularnie U-kształtny w profilu, o średnicy 30–50 cm i głębokość do 105 m. W jego wnętrzu znajdowała się pozostałość po zdegradowanym palu: ilasty piasek 56 z domieszką materii organicznej,
- wkop 100, owalny w planie, nieregularnie U-kształtny w profilu, o średnicy 80–105 cm i głębokości do 165 cm. W jego wnętrzu znajdowały się warstwy wypełniskowe: naprzemianległe warstwy piasku i gliny 107, kruchy ił 106, plastyczna glina 105 z domieszką materii organicznej i przemieszany, plastyczny ił i drobnoziar-

¹⁶ Analiza przeprowadzona w Poznańskim Laboratorium Radiowęglowym, próba nr Poz-134146.

nisty piasek 103 oraz pozostałość po zdegradowanym palu – kruchy, piaszczysty ił 104 z domieszką materii organicznej.

W południowej części Majdanu Górnego, w miejscu gdzie w trakcie badań nieinwazyjnych z wykorzystaniem kappometru natrafiono na silną anomalię, wytyczono W2. W trakcie jego eksploracji odsłonięto dużych rozmiarów wkop 19, o wymiarach co najmniej 350×500 cm i głębokości do 115 cm. W jego centralnej części znajdowała się platforma 21 zbudowana z kamieni średnicy do 55 cm, z dodatkiem pojedynczych kawałków cegieł spojonych za pomocą zaprawy glinianej 34 z fragmentami cegieł. Platforma miała w rzucie kształt zbliżony do kwadratu o boku 280 cm i wysokość do 80 cm. W jej środku widoczne było koliste zagłębienie średnicy 150 cm i głębokości do 60 cm. To najpewniej ten obiekt w swej pracy opisał Johannes Heydeck, interpretując ją, jako kamienną cysterne na wodę¹⁷. Od strony zachodniej dochodziła do tej platformy posadzka 31 wykonana z ułożonych na płasko cegieł (ryc. 15) ułożonych na podłożu z plastycznej gliny 32. Ponad posadzką widoczne są wyraźne, układa-

jące się liniowo smugi spalenizny 35, będące zapewne pozostałością po spalonym i zawalonym szalowaniu ścian wkopu 19 w bezpośredniej bliskości ceglanej posadzki. Z warstwy 35 pobrano próbę węgla do analizy radiowęglowej. Wynik tej analizy dał po kalibracji przedział lat 1262–1387 n.e. z prawdopodobieństwem 95,4%¹⁸.

Przy południowej krawędzi wkopu 19 zarejestrowano dwa doły posłupowe:

- wkop 36, kolisty w planie, U-kształtny w profilu, o średnicy 75 cm i głębokości do 60 cm. Wypełniskiem były glina 37 przemieszana z gruzem ceglany i ilasta glina 38 przemieszana z drobinami węgla drzewnych.
- wkop 41, owalny w planie, U-kształtny w profilu, o średnicy 75–125 cm i głębokości do 100 cm. Wypełniskiem były lekko piaszczysta glina 47, 48 i 50 oraz plastyczny ił 45 z fragmentami cegieł i węgla drzewnego.

Wkop 19, wraz ze znajdującą się w jego obrębie kamienną platformą 21 i dochodzącą do niej ceglana posadzką 31, oraz położone przy wkopie 19 doły posłupowe 36 i 41, należy interpretować jako relikty domostwa, które funkcjonowało na obszarze Majdanu Górnego w XIII–XIV wieku.

¹⁷ Heydeck 1896: 72–74.



P3 - lata 1262-1387 n.e.
(prawdopodobieństwo 95,4%)

Ryc. 15. Augamy, st. 1. Ceglana posadzka 31 i pozostałości spalonych desek 35 przy platformie 21 (fot. D. Skoczylas)

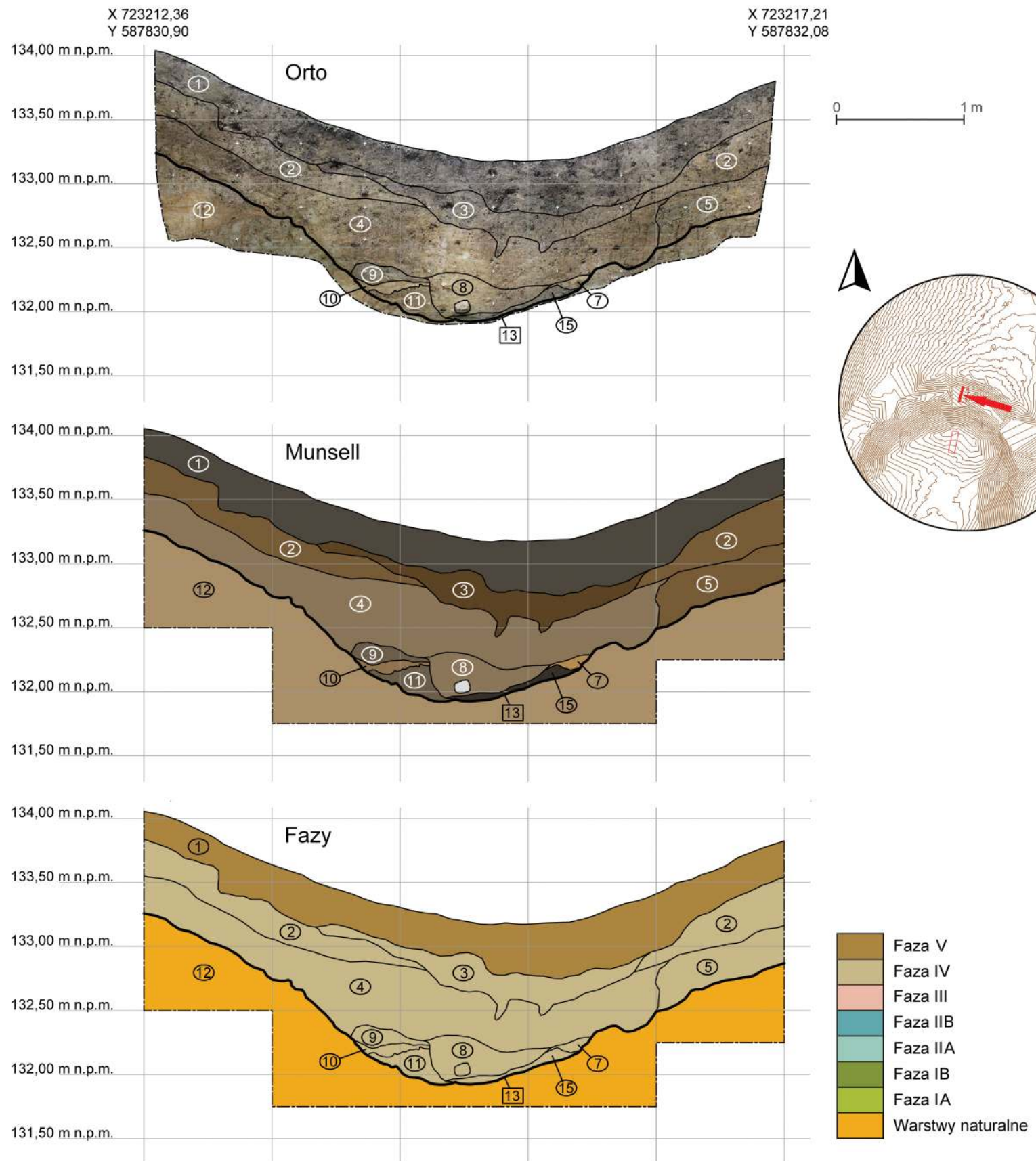
Faza IV

Kolejna faza obejmuje okres od zakończenia fazy użytkowania grodu po przełom XIX i XX wieku. W tym czasie zostają rozebrane i wyrabowane elementy konstrukcyjne związane z zabudowaniami na obszarze Majdanu Górnego, następuje erozja nasypu Wału Majdanu i sedymentacja warstw spływowych w obrębie fosy.

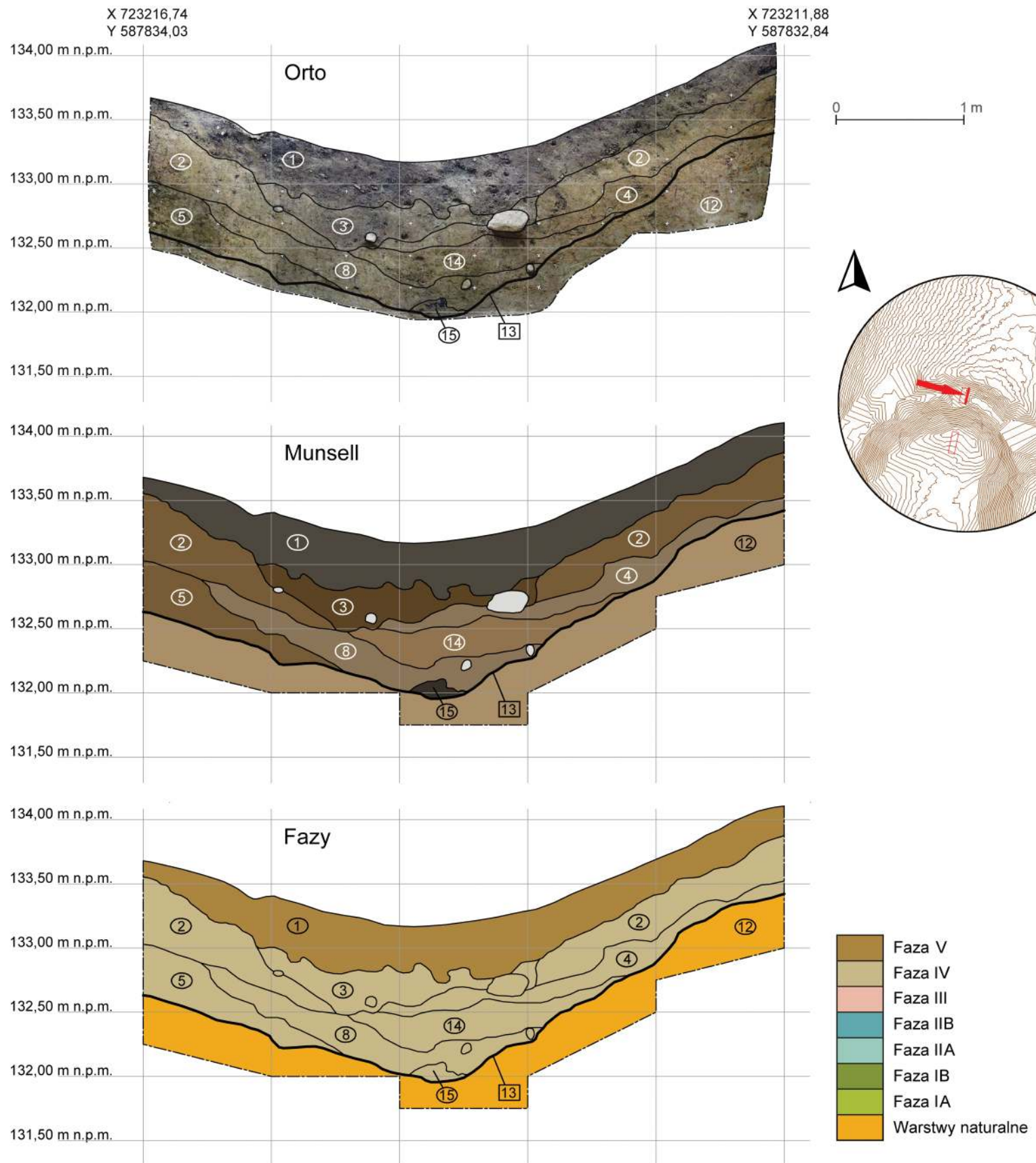
Poziom związany z pracami rozbiórkowymi i procesami erozyjnymi na obszarze Majdanu Górnego i wydzielającego go wału wyznaczają: w W2 sypki piasek 18 z domieszką materii organicznej i z drobinami gruzu ceglano, w W3 zbity, ilasty piasek 55, w W5 piasek 17 z domieszką materii organicznej, a w W6 przemieszany, plastyczny ił 6.

Najczytelniejsze nawarstwienia związane z tą fazą zadokumentowano w W2, w obrębie reliktyw platformy 21 i wokół niej. Sama platforma była pierwotnie zapewne nieco wyższa. Ponad nią widoczna jest warstwa rumoszu kamiennego 20, który powstał

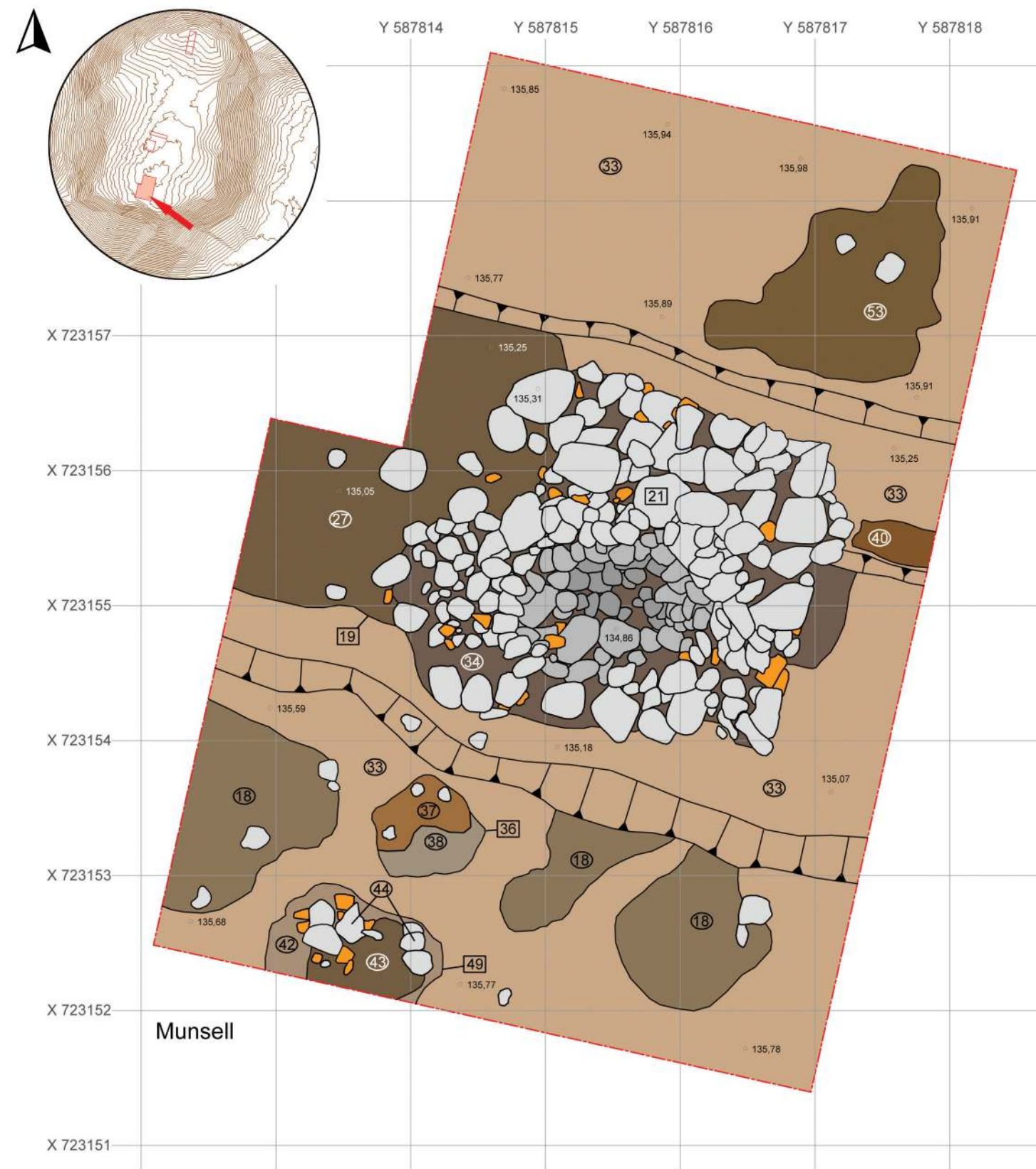
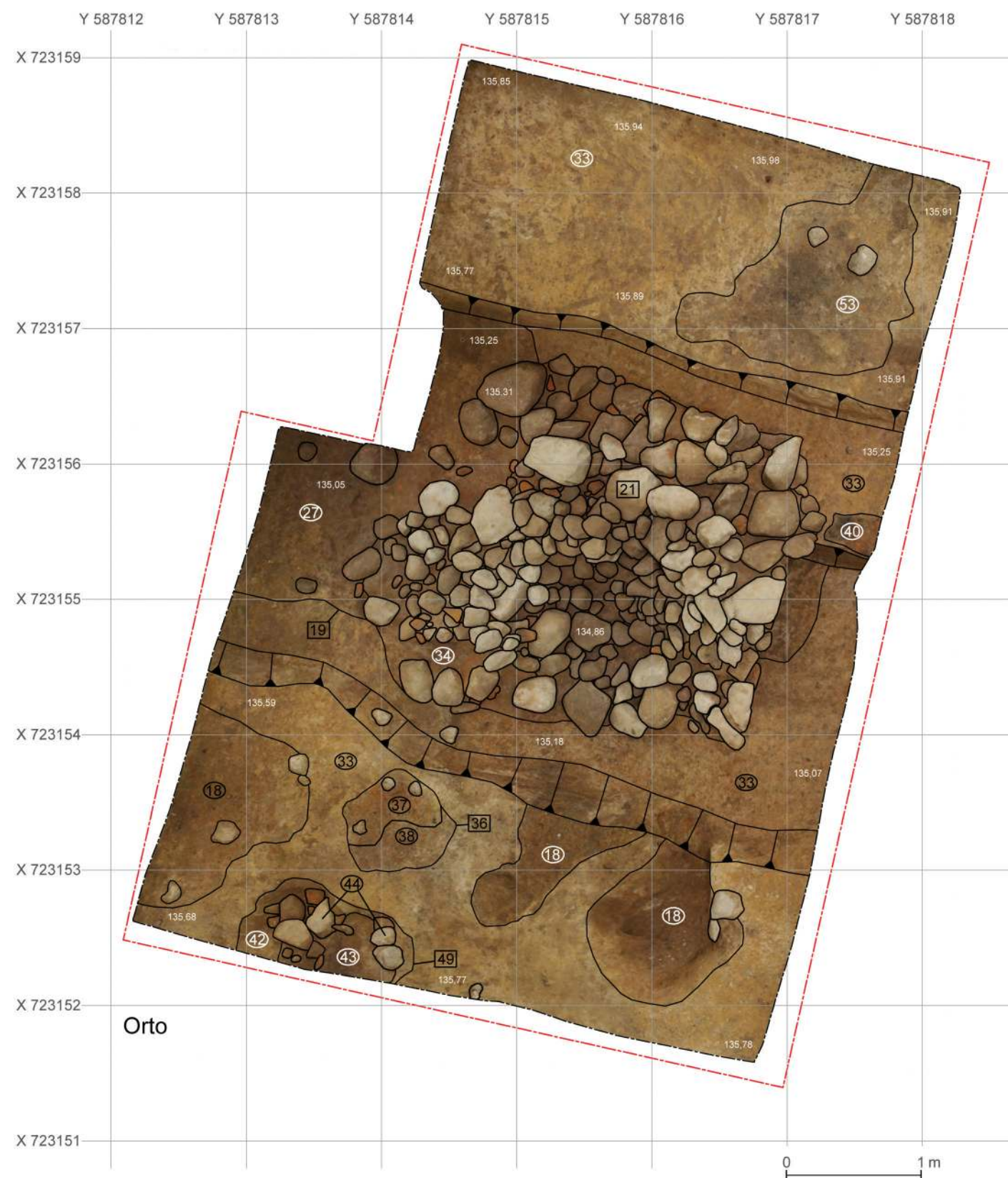
¹⁸ Analiza przeprowadzona w Poznańskim Laboratorium Radiowęglowym, próba nr Poz-134145.



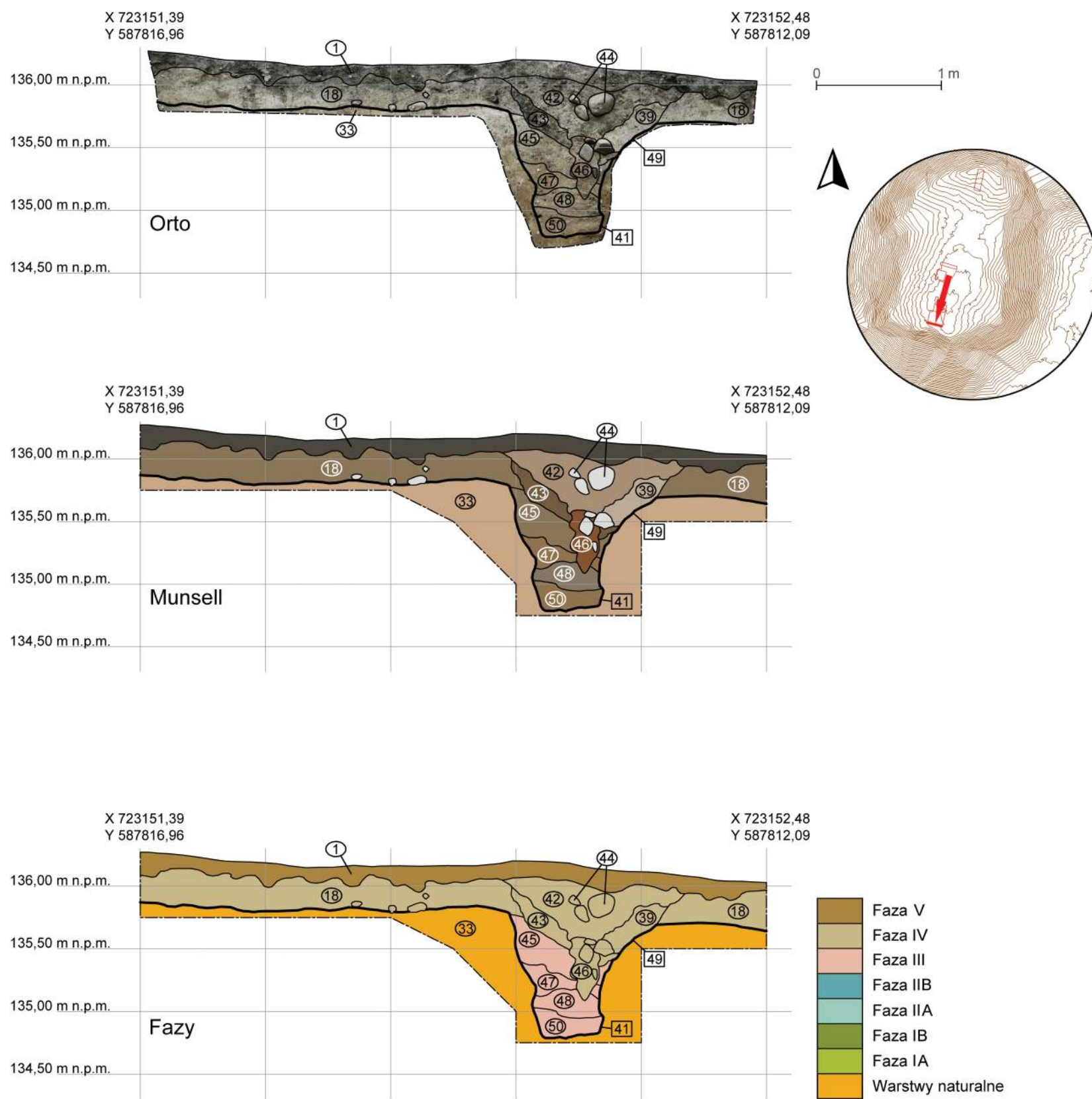
Ryc. 16. Augamy, st. 1. Stratygrafia nawarstwień w obrębie fosy – wykop 1 (oprac. D. Skoczylas i R. Solecki)



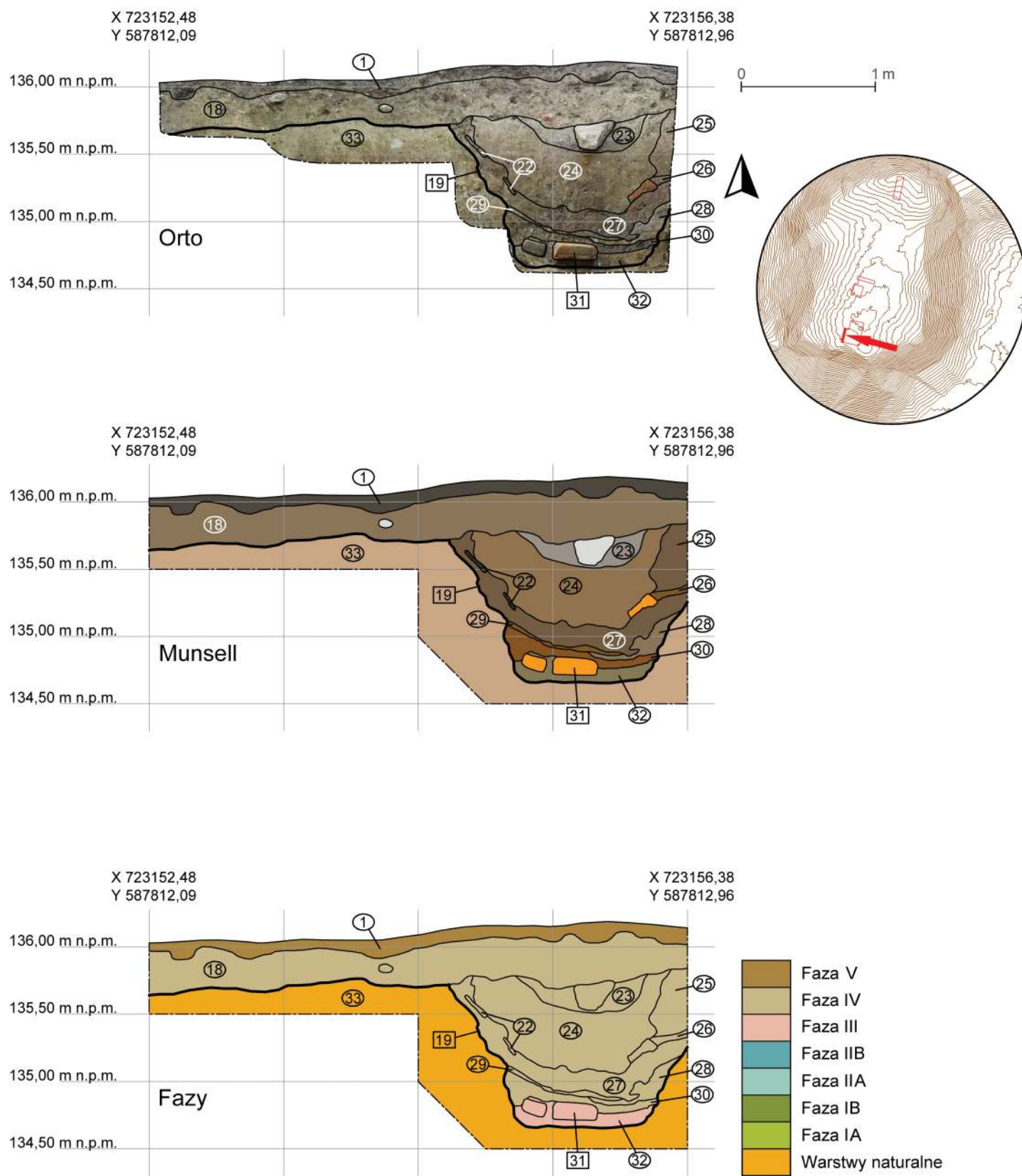
Ryc. 17. Augamy, st. 1. Stratygrafia nawarstwień w obrębie fosy – wykop 1 (oprac. D. Skoczylas i R. Solecki)



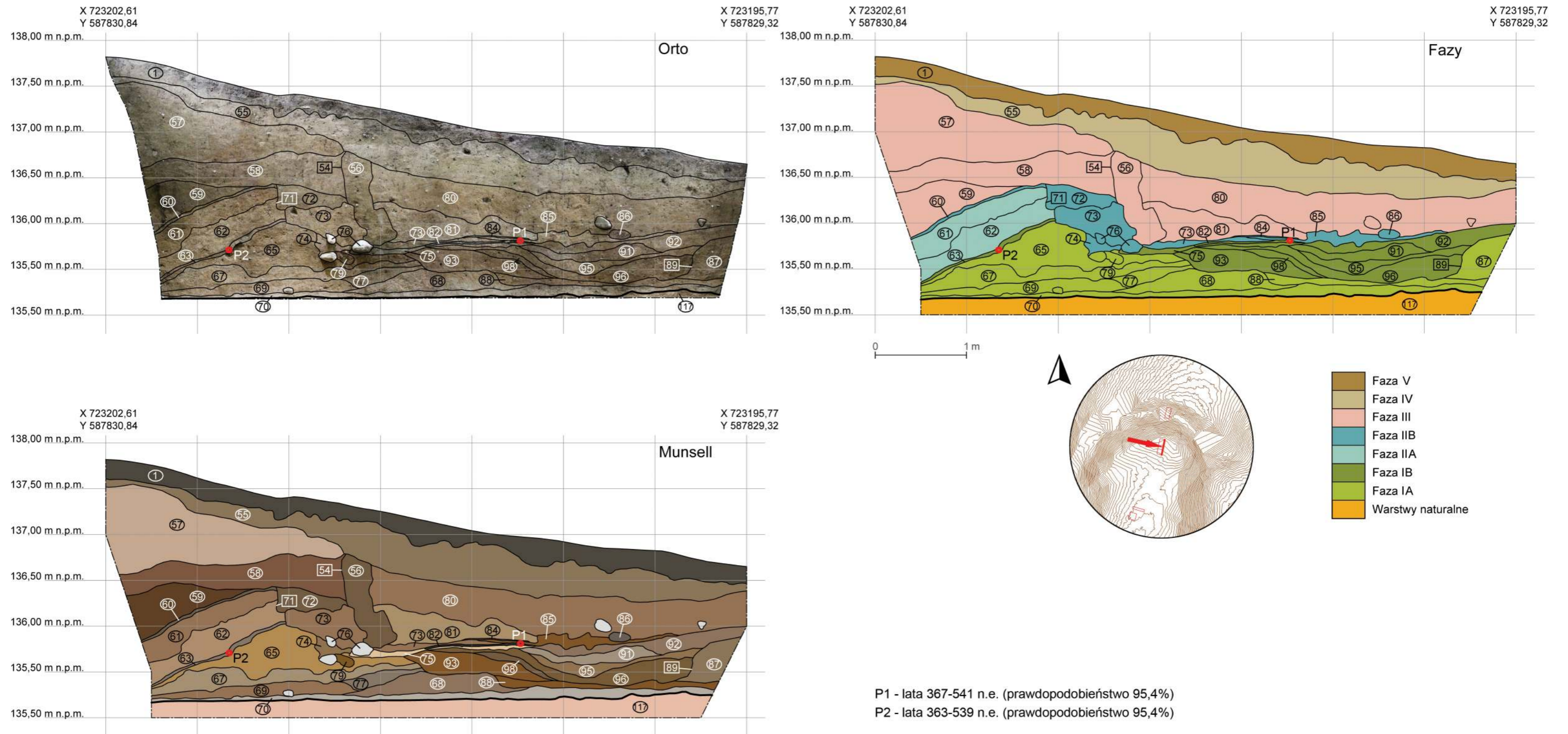
Ryc. 18. Augamy, st. 1. Stratygrafia nawarstwień w obrębie południowej części Majdanu Górnego – wykop 2 (oprac. D. Skoczylas i R. Solecki)



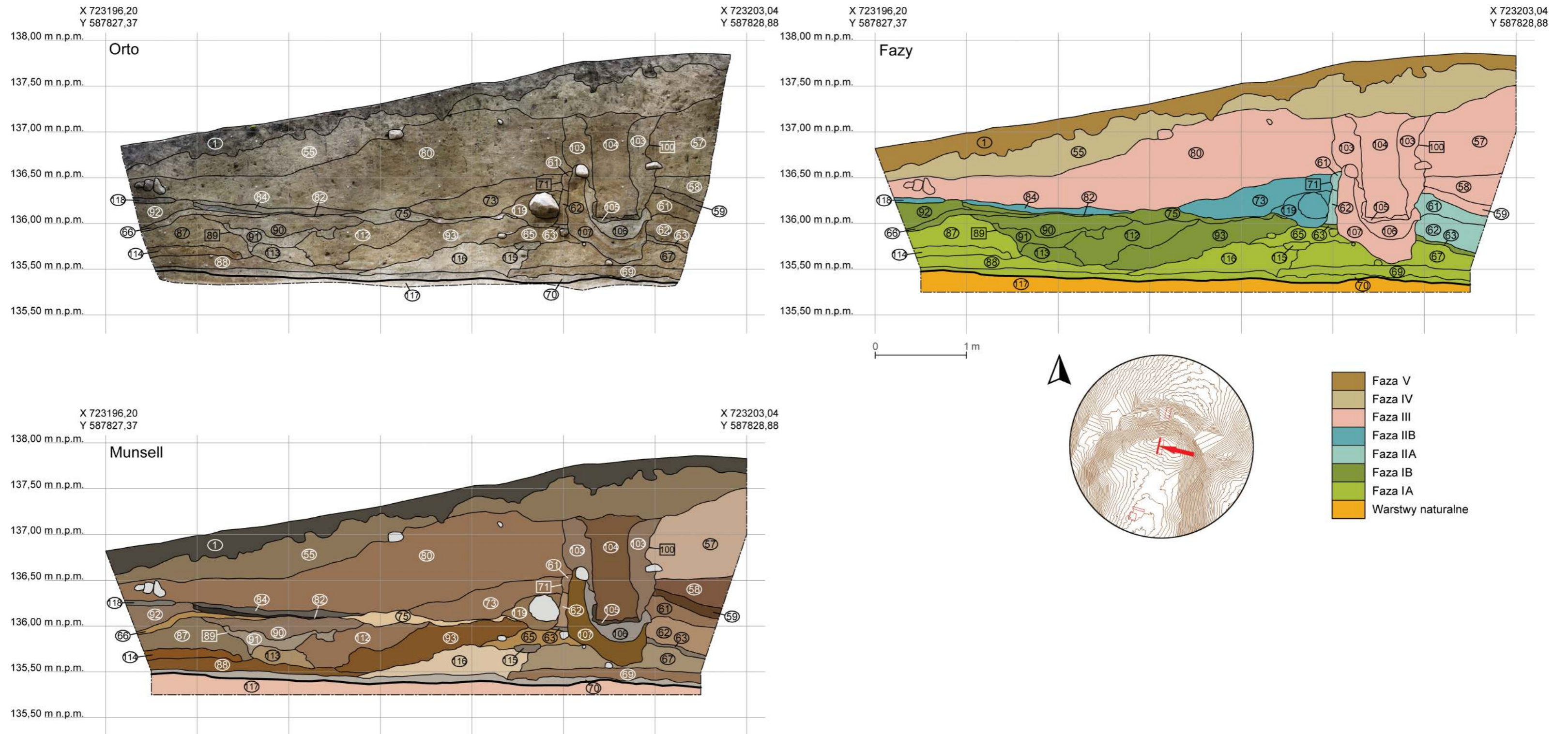
Ryc. 19. Augamy, st. 1. Stratygrafia nawarstwień w obrębie południowej części Majdanu Górnego – wykop 2 (oprac. D. Skoczylas i R. Solecki)



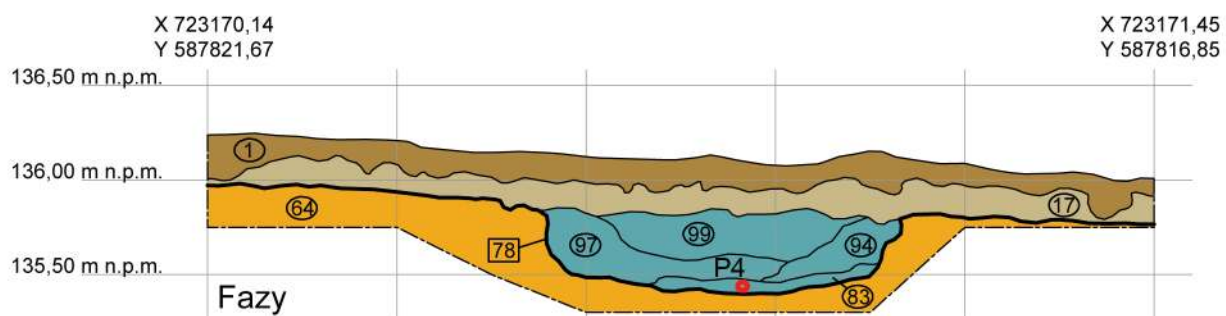
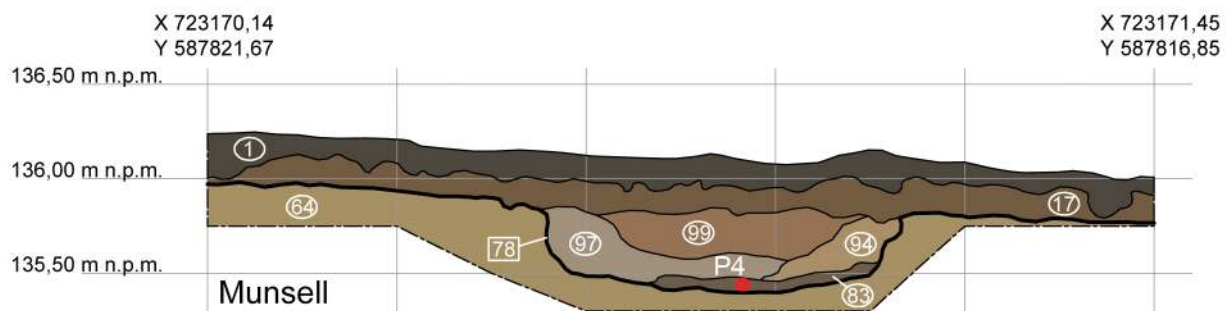
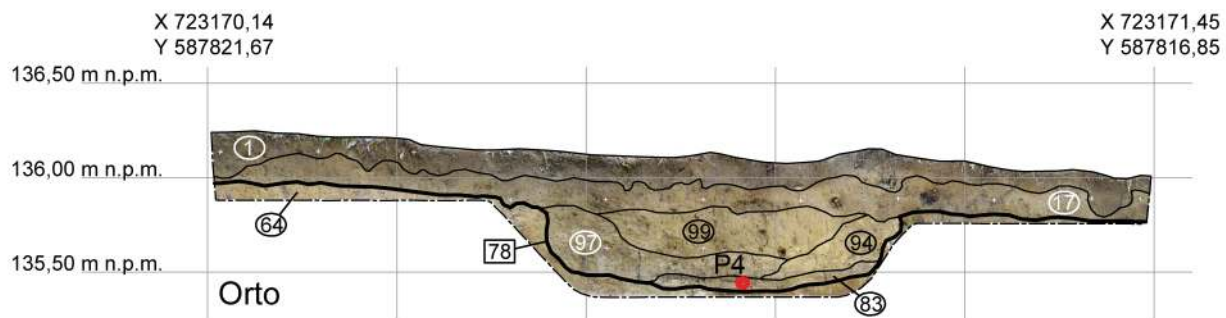
Ryc. 20. Augamy, st. 1. Stratygrafia nawarstwień w obrębie południowej części Majdanu Górnego – wykop 2 (oprac. D. Skoczylas i R. Solecki)



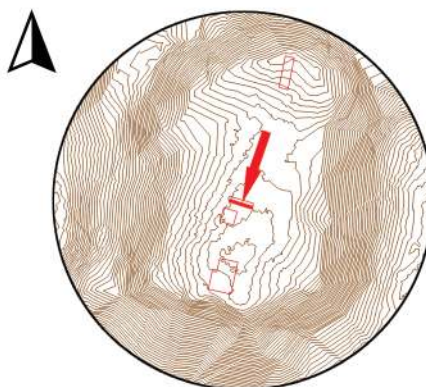
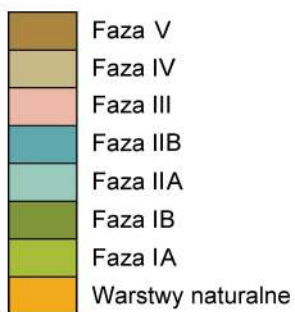
Ryc. 21. Augamy, st. 1. Stratygrafia nawarstwień w obrębie Wału Majdanu Górnego – wykop 3 (oprac. D. Skoczylas i R. Solecki)



Ryc. 22. Augamy, st. 1. Stratygrafia nawarstwień w obrębie Wału Majdanu Górnego – wykop 3 (oprac. D. Skoczylas i R. Solecki)

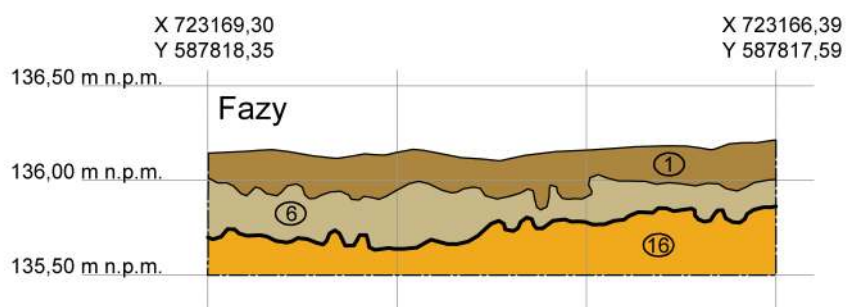
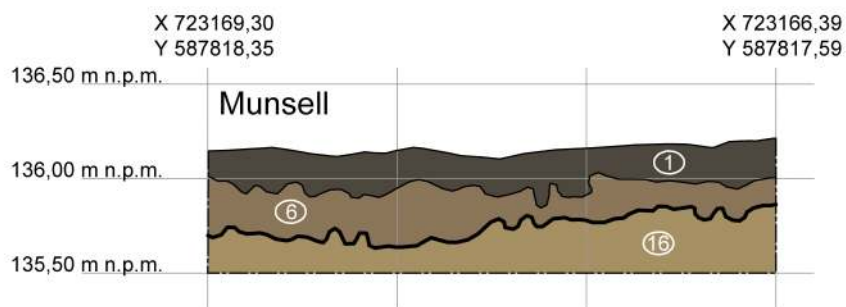
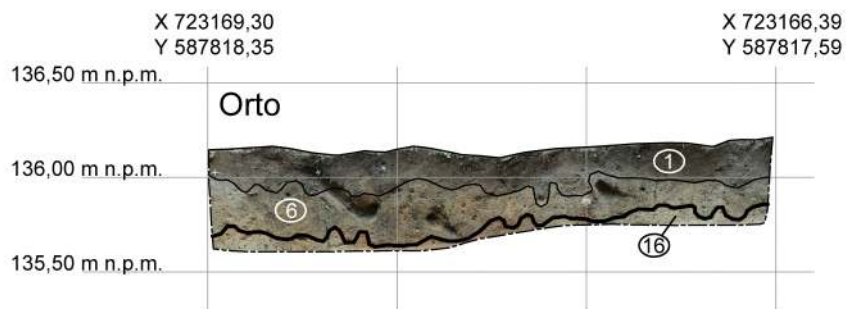


0 1 m

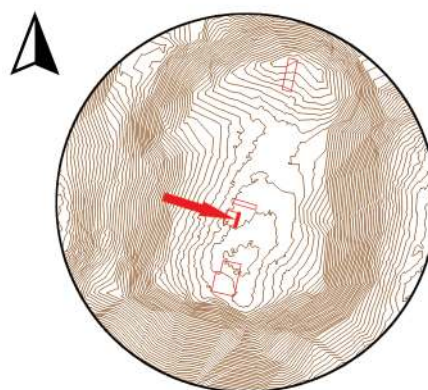
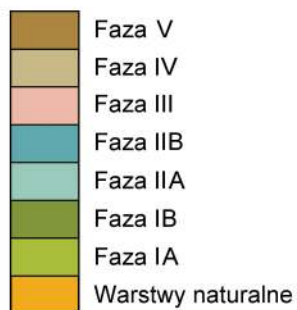


P4 - lata 1054-1267 n.e. (prawdopodobieństwo 95,4%)

Ryc. 24. Augamy, st. 1. Stratygrafia nawarstwień w obrębie Majdanu Górnego – wykop 5 (oprac. D. Skoczylas i R. Solecki)



0 1 m



Ryc. 25. Augamy, st. 1. Stratygrafia nawarstwień w obrębie Majdanu Górnego – wykop 6 (oprac. D. Skoczylas i R. Solecki)

w wyniku intencjonalnego odspajania kamieni z platformy. We wkopie 19 wydzielono warstwę związaną z rozbiórką: glina 30 przemieszana ze spalenizną i rumoszem ceglanym, przemieszany, plastyczny ił 28 z drobinami węgla drzewnych i gruzu ceglanego, plastyczny ił 29 z drobinami węgla drzewnych i gruzu ceglanego, gliniasty ił 27 przemieszany z fragmentami cegieł, węglami drzewnymi i polepą, spalona deska drewniana 22, gliniasty ił 26, lekko plastyczny ił 25 z pojedynczymi drobinami gruzu ceglanego, lekko plastyczny ił 24 przemieszany z fragmentami cegieł, polepy i węgla drzewnego oraz syпки piasek 23 z drobinami węgla drzewnego. Wokół wkopu 19 zanotowano lokalne warstwy rozbiórkowe w postaci gliny 40 wymieszanej z polepą, drobinami cegieł i fragmentami węgla drzewnych, plastycznego iłu 53 z drobinami cegieł i węgla drzewnych, drobnoziarnistego piasku 52 i rumoszu ceglanego 51.

Śladem po usuwaniu drewnianych elementów konstrukcyjnych jest wkop 49, znajdujący się ponad dołem posłupowym 41. W jego wypełnisku wydzielono przemieszana polepę, węgle drzewne i fragmenty cegieł 43, syпки, pylasty piasek 39, plastyczny ił 46 z domieszką węgla drzewnych, pojedyncze kamienie 44 średnicy do 30 cm oraz zbita, krucha glina 42 przemieszana z polepą oraz fragmentami cegieł.

W obrębie fosy 13 wydzielono szereg warstw spływowch: glinę 5 z dużą ilością wytrąceń ilastych, przemieszana glinę i piasek 11, piasek 10, ilastą glinę 9 z domieszką materii organicznej, piasek i ił 7, ilastą glinę 8 i 14, glinę 4 z ilastymi i piaszczystymi wtrąceniami, piaszczystą glinę 2 i piasek 3 z dużą domieszką materii organicznej. Stratygraficznie pomiędzy warstwami 11 i 7 natrafiono na fragment spalonej belki 15, a na samym dnie fosy znaleziono także pojedyncze drobiny gruzu ceglanego.

Faza V

Faza ta wyznacza współczesny poziom użytkowy stanowiska. Warstwą przypisaną do tej fazy jest piaszczysty humus leśny 1.

ZNALEZISKA

DANIEL SKOCZYŁAS I RAFAŁ SOLECKI

Na materiał zabytkowy pozyskany w trakcie badań archeologicznych grodziska w Au-

gamach, st. 1, w 2020 roku składają się: 123 fragmenty ceramiki naczyniowej, 2 fragmenty szkła naczyniowego oraz 28 zabytków wydzielonych.

Ceramika

Pozyskano łącznie 123 fragmenty ceramiki. W wyniku analizy określono, że 120 fragmentów (97,5% całego zbioru) można przypisać do okresu późnego średniowiecza, a 3 fragmenty (2,5% całego zbioru) to ceramika Okresu Wędrówek Ludów, lub wczesnego średniowiecza. Ocena form naczyń była utrudniona, gdyż 91 fragmentów (74% całego zbioru) miało rozmiar 4 cm, lub mniejszy. Fragmenty ceramiki pozyskano z jednostek stratygraficznych przypisanych do trzech faz funkcjonowania stanowiska, z czego dwie to fazy zinterpretowane, jako powstałe w momencie, gdy gród już wyszedł z użytkowania (warstwy rozbiórkowe, erozyjne i współczesny humus leśny). Z warstw tych pozyskano aż 114 fragmentów (92,7% całego zbioru). Na podstawie analizy technologii produkcji wydzielono 2 grupy technologiczno-surowcowe. Częścią analizy materiału ceramicznego było także przeprowadzenie zestawienia ilościowego (tabela 2) oraz określenie jego fragmentacji i erozji (tabela 3).

Ceramika Okresu Wędrówek Ludów lub wczesnego średniowiecza

Do grupy tej zaliczono trzy fragmenty: dwa brzuśce i jeden fragment wylewu z widocznym zdobieniem w formie zaszczypywania krawędzi (tabl. 1:1). Naczynia, z których pochodzą fragmenty, zostały wykonane z masy ceramicznej zawierającej drobnoziarnistą domieszkę tłuczni kamiennego oraz szamotu. Wypalono je w atmosferze utleniającej. Powierzchnia zewnętrzna naczyń była chropowata, natomiast na wewnętrznej stronie zaobserwowano ślady wygładzania. Naczynia o takiej charakterystyce są powszechne we wczesnej epoce żelaza, gdzie związane są z kulturą kurhanów zachodniobałtyjskich¹⁹. Zdobienie naczyń za pomocą zaszczypywania jest jednak popularne w kręgu bałtyjskim, także w młodszych okresach, do wczesnego średniowiecza włącznie²⁰. Motyw ten występuje także na naczyniach z przełomu okresu wędrówek ludów i wczesnego średniowiecza.

¹⁹ J. Okulicz 1973: 271–279.

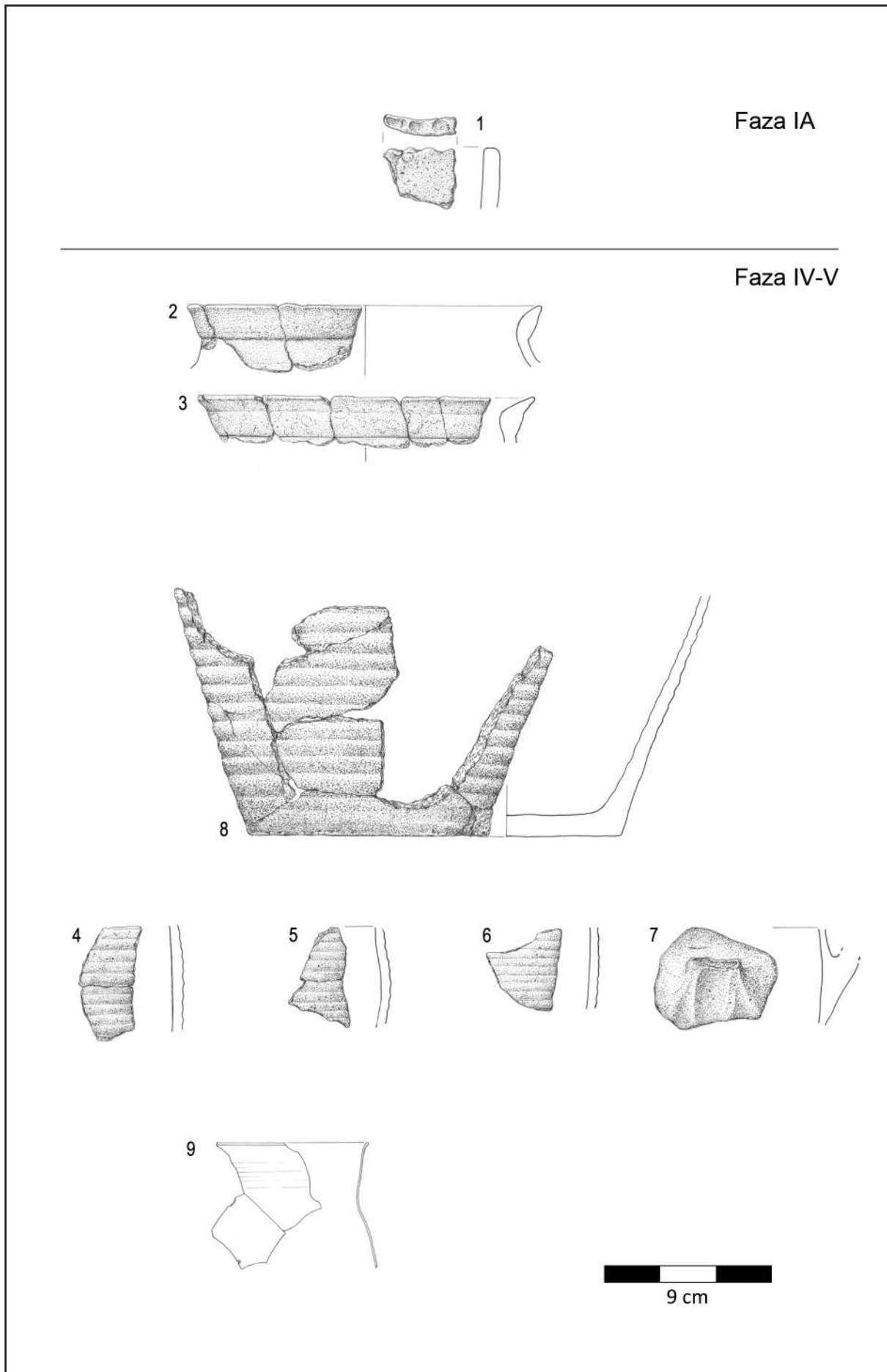
²⁰ Karczewski 2000: 96.

Tabela 2. Zestawienie ilościowe fragmentów ceramiki z grodziska w Augamach, st. 1 (oprac. D. Skoczyłlas)

Faza	Jednostka stratygraficzna	Liczba fragmentów łącznie	Liczba różnych naczyń	Wylewy			Szyki	Brzośce					Ucha	Części przydenne	Liczba fragmentów	SEN (procent obwodu)	Dna			Fragmnty przepalone	Fragmnty o wypukanej powierzchni	Chronologia			
				Liczba fragmentów	SEN (procent obwodu)	Ornamentowane		Chropowate	Gładkie	Wyswieceane	Szorstkie	Nieokreślone					Ornamentowane	Wklęste	Lekko wklęste			Płaskie	Okres Wędrówek Ludów / Wczesne średniowiecze	Późne średniowiecze	
IA	70	3	3	1	1	3																3			
IV	3	42	2	4	27	37				42				1										42	
V	1	72	2	13	161	55				72			1		3	80								72	
V	halda	6	6	3	25	3				6														6	
Suma		123	13	21	213	97				120		1	1	1	3	80							3	3	120

Tabela 3. Fragmentacja i erozja fragmentów ceramiki z grodziska w Augamach, st. 1 (oprac. D. Skoczyłlas)

Faza	Jedn. strat.	Kategorie wielkościowe (cm)										Stopień erozji				Suma									
		1	2	3	4	5	6	7	8	9	10	I	II	III											
IA	70				3												2	1							3
IV	3		9	12	7	8	5	1									42								42
V	1		17	20	14	10	3	1		2							71			1					72
V	halda				4	1	1	1									6								6
Suma		5	26	32	28	19	8	3		2						121	1	1						123	



Tablica 1. Augamy, st. 1. Ceramika z Okresu Wędrówek Ludów/wczesnego średniowiecza, późnego średniowiecza i wyrób szklany (rys. B. Karch)

Tu przykładem mogą być analogie z cmentarzyska w Wyszemborku, st. 4a, gdzie podobne formy zdobień wystąpiły w fazie „z okresu wędrówek ludów lub z początków wczesnego średniowiecza”²¹. W przypadku omawianego stanowiska w Augamach pomocą w określeniu chronologii zabytków były analizy radiowęglowe prób węgla pobranego z nawarstwień, z których pochodził także materiał ceramiczny, a które po kalibracji wskazały na okres od poł. IV do poł. VI wieku n.e.

Ceramika późnośredniowieczna

Najliczniejszą grupę ceramiki, liczącą 120 fragmentów (97,5% całego zbioru), stanowi ceramika późnośredniowieczna. Wykonana była z dobrze wyrobionej masy ceramicznej z niedużą domieszką startego piasku. Naczynia wypalano w zaawansowanej atmosferze utleniającej. Kolor ścianek obejmował różne odcienie koloru pomarańczowego, a przełom był jednobarwny, w kolorze ścianki. Powierzchnia naczyń była szorstka, od strony wewnętrznej czasami szklwiiona. Kolor polewy to odcienie brązu. Powierzchnia zewnętrzna była zdobiona za pomocą dookólnych rowków, które były płytkie, o wyoblonej krawędzi (tabl. 1:4–6, 8). Naczynia wykonane w takiej technologii upowszechniają się w odległym o około 80 km Elblągu na przełomie XIV i XV wieku²².

Rekonstrukcja form naczyń pozwoliła na częściowe odtworzenie wyglądu dwóch wylewów i jednego dna wraz z częściami przydennymi. Pierwszy z wylewów ma średnicę 9 cm (tabl. 1:3) i jest zapewne częścią naczynia, którego dno także udało się zrekonstruować. Na wewnętrznych częściach wylewu i dna zachowała się brązowa polewa. Podobny profil wylewu naczynia odkryto na stanowisku w Mozgowie, gm. Zalewo, w warstwach datowanych na XV wiek²³. Podobną chronologię ma zapewne także fragment drugiego naczynia, którego wylew miał średnicę 9,5 cm, a jego wewnętrzna powierzchnia również była polewana brązowym szkliwem (tabl. 1:2). W zbiorze odnotowano też jeden fragment brzuśca z przyczepem ucha o przekroju w kształcie cyfry „8” i szerokości 4 cm (tabl. 1:7).

²¹ Szymański 2013: 130 (ryc. 73:12), 135 (ryc. 74:6), 136 (ryc. 75:5).

²² Marcinkowski 2013: 245–247.

²³ Kobylińska 2017f: 193, 197 (tabl. 4:9).

Naczynie szklane

W W3 znaleziono fragmentarycznie zachowane naczynie szklane, którego stan zachowania nie pozwala na przypisanie go do żadnej typologii. Naczynie wykonano z cienkiego, przejrzystego, bezbarwnego szkła z malowaną, niebieską linią w górnej części wylewu (tabl. 1:9). Położenie stratygraficzne zabytku pomiędzy nawarstwieniami Fazy I i III utrudnia jednoznaczne określenie chronologii. Bardziej prawdopodobne jest, że naczynie pochodzi z okresu późnego średniowiecza.

Zabytki wydzielone

Dość liczny zbiór, na który składa się 28 zabytków, tworzą przedmioty metalowe. Przyступując do opisu podzielono je w pierwszej kolejności pod kątem ich chronologii. Ze względu na fakt, że stanowisko podlegało wielu przekształceniom, zdecydowana większość zabytków została odnaleziona na wtórnym złożu, w kontekstach młodszych, niż wynikałoby to z ich własnej chronologii opartej na analizie typologicznej.

Zespół zabytków, który można wiązać z najstarszą fazą zasiedlenia stanowiska, obejmującą Okres Wędrówek Ludów, składa się z 3 elementów. Pierwszy to żelazna siekierka z okrągłą tuleją (tabl. 2:1). Siekierki tego typu występują w różnych okresach i na znacznym obszarze Europy Wschodniej. Odkryty egzemplarz ma długość 16,5 cm, średnicę tulei 5,5 cm i symetryczne, nierozszerzające się ostrze. Analogiczny kształt, ale mniejszy rozmiar, ma siekierka odkryta na osiedlu nawodnym w Pleśnie gm. Bisztynek, które datowane jest na okres od halsztackiego D po wczesny okres lateński i wiązane z kulturą kurhanów zachodniobałtyjskich²⁴. Zbliżona formą, ale także mniejsza jest siekierka z Bargłowa Dwornego, gm. Bargłów Kościelny, łączona z kulturą bogaczewską. Natomiast zbliżony kształt i rozmiar, choć o nieco smuklejszej sylwetce, ma egzemplarz siekierki znaleziony w Szwajcarii, gm. Suwałki, który łączony jest z kulturą sudowską²⁵. W omawianym przypadku forma zabytku nie pozwala na precyzyjne określenie chronologii, lecz niewątpliwie należy siekierkę łączyć z Fazą I użytkowania stanowiska, lub osadnictwem wcześniejszym, które nie ma wyrazu w zadoku-

²⁴ Waluś 2014: 82–83, 131, 178 (tabl. XX:1); Gackowski 2017.

²⁵ Kontny 2016: 42–43, 45–46, 53, 55.

mentowanych jednostkach stratygraficznych. Kolejny wczesny zabytek to fragment żelaznej szpili długości 4,5 cm z główką rozklepaną w okrągłą, płaską tarczkę o średnicy 1,3 cm (tabl. 3:2). Można ją przypisać do typu G szpil kultury bogaczewskiej, a swoją analogię ma ona w egzemplarzu znalezionym w Koczku, gm. Świątajno²⁶. Trzeci zabytek to fragment żelaznego pręcika (tabl. 3:1) długości 6 cm i średnicy 0,3–0,4 cm, którego 2/3 długości jest rozklepane i tworzy stylizowany listek o szerokości do 0,9 cm. Ze względu na zachowaną jedynie niedużą część zabytku, trudno o jego jednoznaczne określenie, ale nie można wykluczyć, że jest to kabłąk fibuli. Zbliżoną formę posiadają egzemplarze zaliczane do typu kuszowatych z podwiniętą nóżką, wśród których często pojawiają się zabytki wykonane z żelaza²⁷. Nie można jednak wykluczyć, że jest to także fragment dłuta to strugania łyżek, za czym przemawiałyby ostre krawędzie w miejscu, gdzie pręcik rozszerza się.

Z okresem średniowiecza można wiązać 17 zabytków, w tym 14 gwoździ. Do grupy oporządzenia jeździeckiego zaliczono podkowę, z której zachował się fragment ramienia (tabl. 5:3) z dwoma otworami na podkowiaki. Ramię szerokości do 2 cm, zakończone jest charakterystycznym zaczepem – typ E wg typologii Józefa Kaźmierczyka. Na podstawie formy i wyróżnionych cech, podkowę można przypisać do typu VI odmiany 2 wg Kaźmierczyka i datować od około 2. połowy XIII wieku²⁸. Analogiczne zabytki znane są między innymi z wyspy Wielka Żuława na jeziorze Jeziorak, z jednostek datowanych na przełom XIII i XIV wieku²⁹ i z Durąga, gm. Ostróda, z jednostek datowanych na XIV wiek³⁰. Do grupy militariów zaliczono grot bełtu kuszy (tabl. 3:4) z dość szerokim trzpieniem. Zabytek ma długość całkowitą 6 cm, a długość ostrza wynosi 3,8 cm. Zabytek tego typu można datować na XIV–XV wiek³¹. Na ten okres można datować także żelazne krzesiwo ogniwkowe (tabl. 3:8). Zabytek ma długość 12,3 cm, szerokość do 2,6 cm i grubość do 0,5 cm. Otwór ma kształt wrzecionowaty, długości 10,6 cm i szerokości do 1,6 cm. Oba zakończenia otwo-

ru są wyraźnie zaokrąglone. Zabytki o takiej formie można datować od 2. połowy XI wieku³² aż po XVII wiek³³, ale najczęściej występują w kontekstach XII–XIV wiecznych³⁴.

Ostatni zespół z grupy zabytków o metryce średniowiecznej to 14 żelaznych gwoździ. Sklasyfikowano je stosując typologię zaproponowaną przez Łukasza Siczka³⁵. Typ A, to gwoździe bez wyraźnie wyodrębnionej główki, służące jako uniwersalne łączniki elementów drewnianych. W Augamach znaleziono dwa takie gwoździe (tabl. 4:8–9), prostokątne w przekroju i długości 9,5–10 cm. Gwoździe typu B uzyskiwano poprzez sklepanie wyrostka uformowanego podczas odcinania półproduktu od pręta. Zazwyczaj służyły do mocowania gontów, rzadziej dranic. Do typu tego można zaliczyć cztery gwoździe (tabl. 4:4, 10–12), prostokątne lub kwadratowe w przekroju i o długości w przedziale 4,5–5,5 cm. Typ C ma główkę niesymetryczną, wyodrębnioną ze wszystkich stron. Taką formę ma tylko jeden gwoździe (tabl. 4:2), w przekroju prostokątny, długości 4,5 cm. Gwoździe typu D mają wyraźnie uformowaną główkę w postaci dwóch wyrostków znajdujących się symetrycznie względem ostrza. Są one opisywane, jako służące do wykonywania i okuwania mebli, ale też jako podkowiaki. Do typu tego zaliczono pięć gwoździ (tabl. 4:5–7, 13–14), z których tylko jeden ma długość większą niż 4,5 cm, wynoszącą 15 cm. Gwoździe typu E posiadają wyraźnie, ze wszystkich stron wyodrębnione i symetryczne względem ostrza główki. Mają funkcję uniwersalnych łączników. Do typu tego zaliczono dwa gwoździe – mały, prostokątny w przekroju i długości 3,5 cm (tabl. 4:3) oraz duży, kwadratowy w przekroju, o długości około 18 cm (tabl. 4:1). Gwoździe wymienionych typów są dość popularne i występują powszechnie od około XIII, aż po XVIII wiek³⁶.

Z okresem nowożytnym i współczesnym można powiązać pięć zabytków. Pierwszym jest fragment broszki (tabl. 3:3), który ma formę trzech listków wykonanych z cienkiej blaszki mosiężnej nalutowanych na żelazny szkielet. Dwa kolejne zabytki to nabierak łyżki stołowej, przypuszczalnie platerowanej (tabl. 3:5), bez zachowanego trzonka sztuk-

²⁶ Nowakowski : 18-19, tabl. 1:29.

²⁷ Nowakowski 2003.

²⁸ Kaźmierczyk 1978.

²⁹ Kobylińska 2017g: 338, 342, 347.

³⁰ Kobylińska 2017h: 290, 294.

³¹ Nadolski 1990: 148–153.

³² Wrzesiński 1989: 107.

³³ Liwoch 2013: 142.

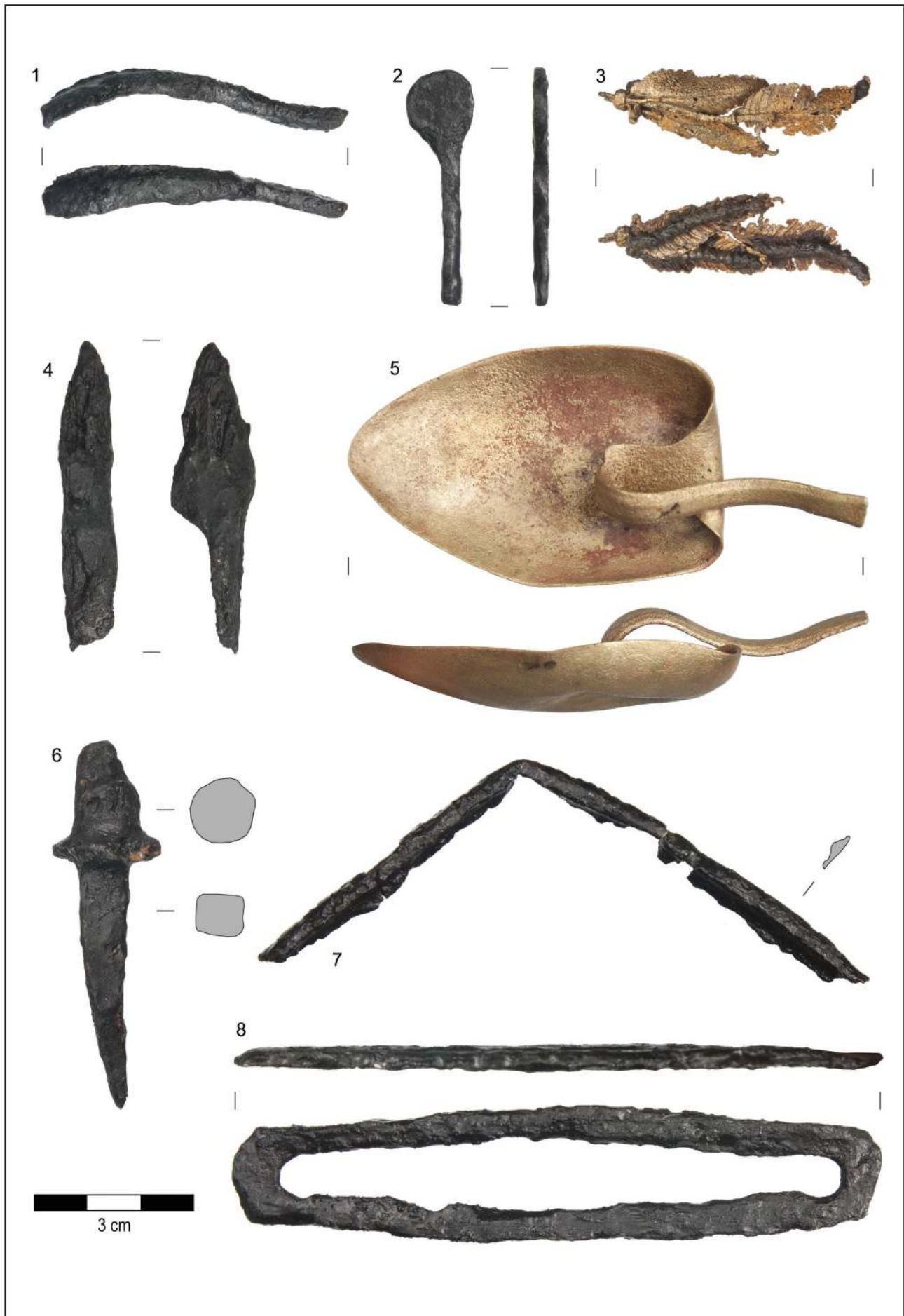
³⁴ Mroczek 2007: 60.

³⁵ Siczek 2016.

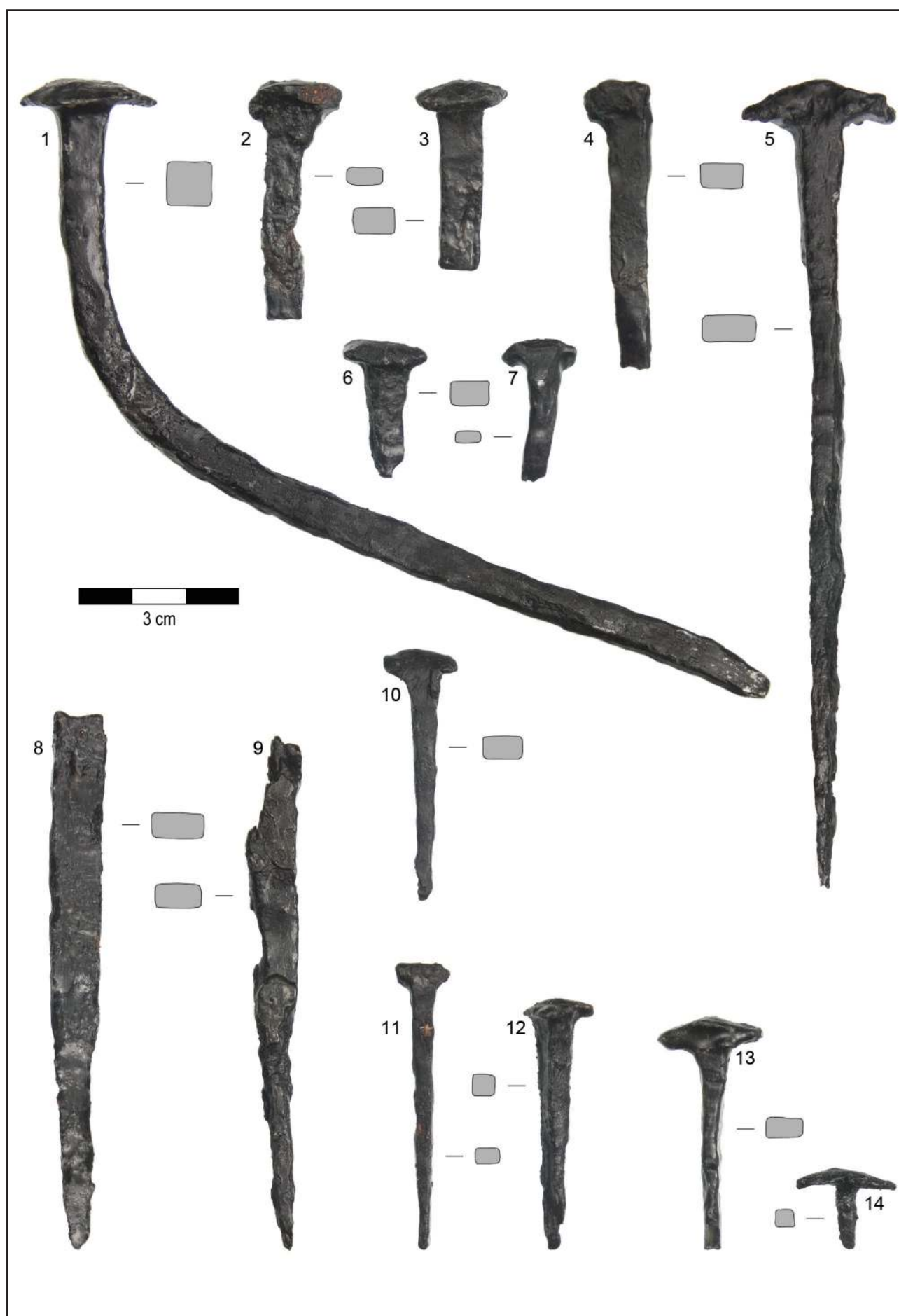
³⁶ Siczek 2016: 171–175; Gierlach 1966: 141–150.



Tablica 2. Augamy, st. 1. Zabytki wydzielone (fot. R. Solecki)



Tablica 3. Augamy, st. 1. Zabytki wydzielone (fot. R. Solecki)



Tablica 4. Augamy, st. 1. Zabytki wydzielone (fot. R. Solecki)



Tablica 5. Augamy, st. 1. Zabytki wydzielone (fot. R. Solecki)

ca, który znaleziono na stoku Wału Majdanu i fragment rozerwanej ramki żelaznej, niklowanej (tabl. 3:7), który znaleziono na brzegu rzeki poniżej Majdanu Górnego. Dwa ostatnie to monety: 1 PFENNIG DEUTSCHES REICH z 1875 roku (tabl. 5:1) i 5 PFENNIG DEUTSCHES REICH z 187? roku (tabl. 5:2).

Na obecnym etapie badań nie jest możliwe jednoznaczne określenie chronologii czterech zabytków. Do grupy zaliczono dwa żelazne okucia. Większe (tabl. 5:6) wykonane jest z blachy wygiętej w ten sposób, że tworzy spłaszczoną rurkę, przez którą mógł być poprowadzony rzemień. Długość zabytku wynosi 17 cm a szerokość 3 cm. W odległości około 3 cm od jednego z końców okucia znajduje się otwór średnicy 1 cm. Zbliżoną formę mają pochwy bagnetów, z tym że zabytek z Augam byłby w takim przypadku zmiążdżony i miał ułamany koniec. Mniejsze okucie (tabl. 5:5) wykonane jest z cienkiej blaszki długości 4 cm. W części środkowej blaszka jest węższa – szerokości 0,5 cm. Przy końcach rozszerza się do 1 cm a w miejscach tych znajdują się otwory średnicy 0,2–0,3 cm. Zabytki o zbliżonej formie interpretowane są jako okucia pasa i znane ze stanowisk archeologicznych od Okresu Wpływów Rzymskich³⁷, ale omawiany egzemplarz zachowany jest fragmentarycznie, a przez to nie jest charakterystyczny i podobne formy znane są także ze stanowisk młodszych, nawet późnośredniowiecznych. Nie można także wykluczyć, że jest to współczesne podkucie noska buta.

Kolejny zabytek (tabl. 3:6), który następcza problemów przy interpretacji, wykonano z żelaza i zaopatrzone w masywny, kwadratowy w przekroju trzpień długości 4,5 cm. Przejście od trzpienia do części pracującej jest zaakcentowane pierścieniowatym rozszerzeniem o średnicy do 2 cm. Część pracująca jest ułamana, ma długość niecałych 2 cm i kształt walca średnicy 1,2 cm. Może być to fragment krzesiwa typu iglicowego, które jest charakterystyczne dla okresu rzymskiego. Zbliżone zabytki znane są z Kamieńczyka, gm. Wyszaków³⁸. Zabytek ten można także interpretować jako tok, czyli dolne okucie drzewca włóczni, charakterystyczne dla okresu środkowo- i późnolateńskiego³⁹. Tu najbliższą analogią jest zabytek z miejscowości Holubi-

ce (Czechy)⁴⁰. Niestety z racji, że zabytek został odnaleziony na złożu wtórnym i jest zachowany tylko fragmentarycznie, nie można wykluczyć, że jest to nieokreślone narzędzie o młodszej chronologii.

Ostatni zabytek o problematycznej chronologii to żelazna pobocznica wędzidła (tabl. 5:4), która ma formę kwadratowej w przekroju sztabki szerokości do 1 cm i długości 14,5 cm. Oba końce sztabki są spłaszczone, zawinięte i tworzą pętle średnicy około 0,3 cm. W połowie długości sztabki znajduje się miejsce, gdzie została ona spłaszczona, a w obrębie tego spłaszczenia wykonano otwór średnicy 1 cm. Przez otwór przewleczone jest żelazne ogniwo długości co najmniej 7,5 cm wykonane z drutu o średnicy do 0,5 cm, które należy interpretować, jako fragment wędzidła. Najbliższą analogią jest pobocznica znaleziona w Zamiechowie, gm. Chłopice, w województwie podkarpackim, gdzie pozyskano ją z warstwy spływowej z materiałem zabytkowym, który można datować od okresu kultury przeworskiej, po X–XII wiek. Sam zabytek jednak można datować od końca IV do połowy V wieku i łączyć z Okresem Wędrówek Ludów⁴¹. Pobocznica o zbliżonej formie została sklasyfikowana w typologii Johna Warda-Perkinsa, jako typ C. Autor zabytki o takiej formie, łączył z obszarem Prus i datował na okres od IX do XIV wieku⁴². Tam jednak centralnie umiejscowiony otwór był zdecydowanie większy i wychodził poza oś samej poboczniczy. Zatem łączenie egzemplarza z Augam z typem C klasyfikacji Warda-Perkinsa nie jest pewne.

CHRONOLOGIA I DZIEJE GRODZISKA W AUGAMACH, ST. 1

DANIEL SKOCZYŁAS

Dotychczas grodzisko w Augamach było określane jako wczesnośredniowieczne⁴³. Dzięki badaniom archeologicznym przeprowadzonym w 2020 roku, stwierdzono istnienie kolejnych, wcześniej nie wydzielonych faz użytkowych stanowiska. Wykazały one, że stanowisko było wykorzystywane już na przełomie ostatnich faz Okresu Wędrówek Ludów

⁴⁰ Filip 1956: 155 (ryc. 48:6).

⁴¹ Půlpánová-Reszczyńska 2016: 150–162.

⁴² Ward-Perkins 1993: 80; Clark, Egan i Griffiths 1995: 46–48.

⁴³ Crome 1937: 110.

³⁷ Madyda-Legutko 1983: 94–114.

³⁸ Dąbrowska 1996: 45–48.

³⁹ Kontny 1999: 128–129.

i na samym początku tworzenia się organizacji plemiennej Prusów⁴⁴. Na okres ten wskazują badania radiowęglowe próby pozyskanej z najniższej części nasypu Wału Majdanu Górnego i związanej z nią warstwy użytkowej. Wyniki po kalibracji dały przedział lat 367–541 n.e. z prawdopodobieństwem 95,4%⁴⁵ oraz 363–539 n.e. z prawdopodobieństwem 95,4%⁴⁶. Można się zastanawiać, czy wyniki tych datowań nie są obarczone błędem, wynikających z efektu tzw. starego drewna, który powoduje, że otrzymany wynik datowania może być „postarzony”, w skrajnych przypadkach nawet o kilkaset lat⁴⁷. Tu jednak dwa datowania wskazują niemal ten sam przedział czasu, a dodatkowo podczas badań znaleziono pojedyncze zabytki, które można wiązać z tym okresem. Są to żelazna siekiera z tuleją i fragment żelaznej szpili z główką rozklepaną w okrągłą, płaską tarczkę. Należy zatem przyjąć, że pierwsza faza osadnicza, której reliktyami są dwa nasypy ziemne odcinające cypel od wysoczyzny, ma metrykę sięgającą IV–VI wieku n.e. W warstwach wiązanych z tą fazą, zwłaszcza na Wale Majdanu Górnego i znajdującym się przy nim zagłębieniu przywałowym, zaobserwowano dużą ilość węgla drzewnych, co może oznaczać, że doszło do pożaru, który strawił drewniane elementy umocnienia wału.

Wał Majdanu Górnego został odnowiony i wyraźnie nadsypany, ale działania te wykonano już najpewniej w kolejnej fazie zasiedlenia stanowiska, które można wiązać z osadnictwem pruskim w XII–XIII wieku. W centralnej części Majdanu Górnego, dzięki wykorzystaniu metod geofizycznych, natrafiono na pozostałość obiektu mieszkalnego. W trakcie badań archeologicznych natrafiono w tym miejscu na owalny w planie obiekt (średnicy 170–190 cm), w którego wypełnisku znajdowały się węgle drzewne. Z warstwy tej pobrano próbę węgla do analizy radiowęglowej, a jej wynik wskazał po kalibracji przedział lat 1054–1267 z prawdopodobieństwem 95,4%. Przy prawdopodobieństwie 94,6% przedział zawężił się do lat 1157–1267⁴⁸. Może to ozna-

czać, że gród pruski został zdobyty w trakcie podboju krzyżackiego około połowy XIII wieku⁴⁹.

Starszy gród był dalej wykorzystywany po podboju krzyżackim. Na ten okres należy datować nadsypanie Wału Majdanu Górnego, pogłębienie fosy i nadanie umocnieniu takiej formy, jaka jest obecnie czytelna w terenie. Na obszarze Majdanu Górnego powstał kolejny budynek, o konstrukcji kamienno-ceglanej, którego relikty zaobserwowano w trakcie badań archeologicznych. W południowej części majdanu odsłonięto kamienną platformę o kształcie zbliżonym do kwadratu o boku 280 cm i wysokość do 80 cm. W jej środku znajdowało się koliste zagłębienie średnicy 150 cm i głębokości do 60 cm. Obiekt ten widział i opisał w swej pracy Johannes Heydeck, interpretując go, jako kamienną cysternę na wodę⁵⁰. W pobliżu tej platformy zadokumentowano dwa doły postłupowe i relikty drewnianej, spalonej konstrukcji. Pobraną z niej próbę węgla poddano analizie radiowęglowej, której wynik po kalibracji dał przedział lat 1262–1387 z prawdopodobieństwem 95,4%⁵¹. Na podstawie materiału zabytkowego można szacować, że osadnictwo wiązane z tą fazą utrzymywało się w okresie XIII–XV wiek. Koniec mógł nastąpić na początku XV wieku – z roku 1414 pochodzi pierwsza wzmianka o pobliskiej wsi Augamy, wymienianej w stratach po wojnie głodowej. Możliwe, że wtedy to został zniszczony a następnie rozebrany budynek kamienno-ceglany, którego relikty odkryto. Źródła podają także, że w wyniku wojny trzynastoletniej wieś Augamy i cała okolica zostały wyludnione, a nowa fala osadnicza napłynęła dopiero w połowie XVI wieku⁵².

Przeprowadzone badania wykazały, że stanowisko może dostarczyć ciekawych źródeł do badań nie tylko nad okresem średniowiecza, ale także do słabo jeszcze rozpoznanego schyłku Okresu Wędrówek Ludów. Rozszerzenie frontu badań pozwoliłoby na pełniejsze rozpoznanie reliktyw budynku, którego pozostałości są dość dobrze zachowane.

⁴⁴ J. Okulicz 1973: 421, 491–495.

⁴⁵ Analiza przeprowadzona w Poznańskim Laboratorium Radiowęglowym, próba nr Poz-130375.

⁴⁶ Analiza przeprowadzona w Poznańskim Laboratorium Radiowęglowym, próba nr Poz-130525.

⁴⁷ Schiffer 1986; Pospieszny i Jakubczak 2019: 137.

⁴⁸ Analiza przeprowadzona w Poznańskim Labora-

torium Radiowęglowym, próba nr Poz-134146.

⁴⁹ Biskup i Labuda 1986: 146–149; Achremczyk 2010: 109–110.

⁵⁰ Heydeck 1896: 72–74.

⁵¹ Analiza przeprowadzona w Poznańskim Laboratorium Radiowęglowym, próba nr Poz-134145.

⁵² Petraszko i Wakar 1987b: 272

WYKAZ CYTOWANEJ LITERATURY

Achremczyk, S.

2010. *Historia Warmii i Mazur. Tom I: Pradzieje – 1772*. Olsztyn: Ośrodek Badań Naukowych im. Wojciecha Kętrzyńskiego w Olsztynie.

Adamiec, J., P. Czernic i K. Zdeb

2019. Dokumentacja wyników badań geofizycznych – georadarowych (GPR) przeprowadzonych na obszarze trzech stanowisk archeologicznych w ramach projektu NPRH „Katalog grodzisk Warmii i Mazur. Część II. Warmia wschodnia i Natangia” – cz. 2 Gładysze. Raport w archiwum Instytutu Archeologii UKSW w Warszawie.

Antoniewicz, J.

1954. Zagadnienie wczesnożelaznych osiedli obronnych na wschód od dolnej Wisły i w dorzeczu rzeki Pregoty. *Wiadomości Archeologiczne* XX/4: 327–368.

1964. Osiedla obronne okresu wczesnożelaznego w Prusach. *Światowit* 25: 5–211.

Białyński G.

2019. Zarys dziejów osadnictwa na Mazurach. *Echa Przeszłości* 20/1: 335–348.

Biermann, F., Ch. Herrmann i A. Koperkiewicz

2019. Alt-Wartenburg. Gründung und Untergang einer Lokationsstadt in der „Großen Wildnis”, [w:] G. Köster i Ch. Link (red.), *Faszination Stadt: die Urbanisierung Europas im Mittelalter und das Magdeburger Recht*: 274–284. Magdeburger Museumschriften 17. Dresden: Sandstein Verlag.

Biskup, M.

1983. Uwagi o problemie osadnictwa i sieci parafialnej w Prusach Krzyżackich w wiekach XIV–XV. *Komunikaty Mazursko-Warmińskie* 2–3: 199–217.

Biskup, M. i G. Labuda

1986. *Dzieje Zakonu Krzyżackiego w Prusach*. Gdańsk: Wydawnictwo Morskie.

Bitner-Wróblewska, A. i A. Piotrowski

1990. Wały podłużne w okolicach Biskupca w woj. olsztyńskim: przyczynek do pochodzenia i chronologii tego typu obiektów na obszarze południowej Warmii. *Komunikaty Mazursko-Warmińskie* 1–4: 133–140.

Bochnak, T., P. Kotowicz i Z. Opielowska

2016. Dwa celtyckie depozyty przedmiotów żelaznych z Pakoszówki, pow. sanocki. *Materiały i Sprawozdania Rzeszowskiego Ośrodka Archeologicznego* 37: 209–246. DOI: 10.15584/misroa.2016.37.11

Buko, A.

1990. Wykorzystanie zjawiska erozji ceramiki w analizach procesów formowania się stanowisk osadniczych. *Sprawozdania Archeologiczne* 42: 349–359.

Cieśliński, A.

2014. Kopce kultury wielbarskiej z Mazowsza i Podlasia a tzw. typ rostołcki – próba nowego spojrzenia na związki cmentarzysk kurhanowych z Północnej i Wschodniej Polski. *Wiadomości Archeologiczne* 65: 45–93.

Chojnacka-Banaszkiewicz, A.

2017a. Stary Folwark, st. 1: znaleziska, [w:] Z. Kobyliński (red.), *Katalog grodzisk Warmii i Mazur. Tom 1*: 129–182. Warszawa: Instytut Archeologii Uniwersytetu Kardynała Stefana Wyszyńskiego w Warszawie i Fundacja Res Publica Multiethnica.

2017b. Stary Folwark, st. 1: chronologia stanowiska, [w:] Z. Kobyliński (red.), *Katalog grodzisk Warmii i Mazur. Tom 1*: 191–193. Warszawa: Instytut Archeologii Uniwersytetu Kardynała Stefana Wyszyńskiego w Warszawie i Fundacja Res Publica Multiethnica.

Chojnacka-Banaszkiewicz, A., i D. Wach

2017. Stary Folwark, st. 1: położenie grodziska i jego forma, badania archeologiczne, [w:] Z. Kobyliński (red.), *Katalog grodzisk Warmii i Mazur 1*: 108–128, Warszawa: Instytut Archeologii Uniwersytetu Kardynała Stefana Wyszyńskiego w Warszawie i Fundacja Res Publica Multiethnica.

Chudziak, W. i J. Bojarski

2019. (red.) *Wczesnośredniowieczne grodziska w Polsce. Tom 1. Powiat bydgoski*. Wrocław: Instytut Archeologii i Etnologii Polskiej Akademii Nauk, Instytut Archeologii Uniwersytetu Mikołaja Kopernika w Toruniu.

Chudziak, W. i M. Weinkauff

2019. (red.) *Wczesnośredniowieczne grodziska w Polsce. Tom 7. Powiat toruński*. Toruń: Wydawnictwo Naukowe Uniwersytetu Mikołaja Kopernika

Chudziakowa, J.

1974. *Kultura łużycka na obszarze międzyrzecza Wisły, Drwęcy i Osy*. Warszawa-Poznań: Państwowe Wydawnictwo Naukowe, Towarzystwo Naukowe w Toruniu.

Clark, J., G. Egan i N. Griffiths

1995. Harness fittings, [w:] J. Clark (red.), *The medieval horse and its equipment c. 1150 – c. 1450*: 43–74. Medieval Finds from Excavations in London 5. Londyn: Museum of London.

Crome, H.

1937. Karte und Verzeichnis der vor- und frühgeschichtlichen Wehranlagen in Ostpreussen. *Altpreußen* 2: 97–125.

1940. Verzeichnis der Wehranlagen Ostpreußens. *Prussia: Zeitschrift für Heimatkunde* 34: 83–154.

- Cymbalak, T.
2006. Wybrane znaleziska podkówki do butów z terenu Czech na tle analogii środkowoeuropejskich. *Archaeologica Pragensia* 18: 263–282.
- Dąbrowska, T.
1996. Krzesiwa typu skandynawskiego z Kamieńczyka, woj. Ostrołęka, [w:] W. Nowakowski (red.) *Concordia. Studia poświęcone Jerzemu Okuliczowi-Kozarynowi w sześćdziesiątą piątą rocznicę urodzin*: 45–49. Warszawa: Instytut Archeologii Uniwersytetu Warszawskiego.
- Dąbrowski, J.
1997. *Epoka brązu w północno-wschodniej Polsce*. Białystok: Białostockie Towarzystwo Naukowe, Instytut Archeologii i Etnologii Polskiej Akademii Nauk.
- Demińska, M. i Z. Podwińska
1978. Historia Kultury Materialnej Polski. Tom I od VII do XII wieku, [w:] W. Hensel i J. Pazdur (red.), *Historia Kultury Materialnej Polski w zarysie*. Wrocław-Warszawa-Kraków-Gdańsk: Zakład Narodowy imienia Ossolińskich, Wydawnictwo Polskiej Akademii Nauk.
- Dziegielewska, K., R. Szczerba i B. Chudzińska
2006. Osadnictwo z wczesnej epoki brązu, okresu halsztackiego i starszego okresu przedrzymskiego oraz ślady działalności człowieka w czasach średniowiecznych i nowożytnych na stanowisku 17 w Podłężu, pow. wielicki. *Raport 2005–2006*: 315–348.
- Eckhart, B.
1930. Die Geschichte des Kirchdorfes Schnellwalde [w:] W. Friedrich (red.), *Aus Vergangenheit und Gegenwart des Kreises Mohrungen: Selbstverlag des Kreis Ausschusses in Mohrungen*: 46–81. Morąg.
- Engel, M. i C. Sobczak
2019. Atlas Grodzisk Jaćwieży. Nowe spojrzenie na Góry Zamkowe, Szwedzkie szańce i Piłokalnie, [w:] K. Chrzan, S. Moździoch i S. Rodek (red.), *Współczesne metody badań wczesnośredniowiecznych grodów Europy Środkowo-Wschodniej*: 63–80. Wrocław: Wydawnictwo Instytutu Archeologii i Etnologii Polskiej Akademii Nauk.
- Filip, J.
1956. *Keltové ve střední Evropě*. Praga: Československá Akademie Věd.
- Gackowski, J.
2017. Osiedla nawodne kultury kurhanów zachodniobałtyjskich w krajobrazie naturalnym i kontekście kulturowym północno-wschodniej Polski. *Komunikaty Mazursko-Warmińskie* 1(295): 3–22.
- Gackowski, J. i Sz. Rosołowski
2020a. Katalog zabytków, [w:] J. Gackowski i H.P. Dąbrowski (red.), *Znalezisko gro-
madne przedmiotów metalowych kultury łużyckiej w Brudzynie, pow. żninski*: 57–82. Biskupin-Toruń: Muzeum Archeologiczne w Biskupinie i Polskie Towarzystwo Historyczne.
- 2020b. Wyroby z brązu i żelaza: analiza kulturowo-chronologiczna, [w:] J. Gackowski i H.P. Dąbrowski (red.), *Znalezisko gro-
madne przedmiotów metalowych kultury łużyckiej w Brudzynie, pow. żninski*: 83–114. Biskupin-Toruń: Muzeum Archeologiczne w Biskupinie i Polskie Towarzystwo Historyczne.
- Gałązka, D.
2009. *Objaśnienia do Szczegółowej Mapy Geologicznej Polski: 1:50 000. Arkusz Lubawa (211)*. Warszawa: Państwowy Instytut Geologiczny.
- Gałązka, D. W. Skrobot i A. Szarzyńska
2015. *Wzgórza Dylewskie. Geologia, krajobraz, antropologia przestrzeni*. Olsztyn: Wydawnictwo Mantis.
- Gawroński, R.
2018. *Roman horsemen against Germanic tribes. The Rhineland frontier cavalry fighting styles 31 BC–AD 256*. *Archaeologica Here-ditas* 12. Warszawa: Instytut Archeologii Uniwersytetu Kardynała Stefana Wyszyńskiego w Warszawie.
- Gedl, M.
1983. *Die Nadeln in Polen I (Frühe und ältere Bronzezeit)*. *Prähistorische Bronzefunde* XIII/7. München: C.H. Beck-Verlag.
- Giemza, A.
2015a. *Objaśnienia do Szczegółowej Mapy Geologicznej Polski: 1:50.000. Arkusz Toprzniny (35)*. Warszawa: Państwowy Instytut Geologiczny.
- 2015b. *Objaśnienia do Szczegółowej Mapy Geologicznej Polski: 1:50.000. Arkusz Wojciechy (63)*. Warszawa: Państwowy Instytut Geologiczny.
- Gierlach, B.
1966. Zabytki metalowe, [w:] J. Gąssowski, B. Gierlach i E. Kowalczevska (red.), *Materiały wykopaliskowe z Zamku Królewskiego w Warszawie. Tom I*: 141–150. Warszawskie Materiały Archeologiczne 1. Warszawa: Prezydium Stołecznej Rady Narodowej – Wydział Kultury, Urząd Konserwatorski M. St. Warszawy – Konserwator Zabytków Archeologicznych.
- Głosek, M.
1984. *Miecze środkowoeuropejskie z X–XV wieku*. Warszawa: Wydawnictwa Geologiczne.
- Grabarczyk, T. i O. Ławrynowicz
2013. Falchion and its technology in Poland (14th–16th centuries). *Fasciculi Archaeologiae Historicae* 26: 51–61.

- Gajewska, M. i J. Kruppé
1960. Badania archeologiczne w 1958 roku na Wzgórzu Katedralnym we Fromborku. *Rocznik Olsztyński* III: 81–103.
- Grażawski, K.
1988. Średniowieczny gródek rycerski w Bachtoku na ziemi chełmińskiej w świetle badań archeologicznych. *Sprawozdania Archeologiczne* 40: 317–341.
2013. Sprawozdanie z archeologicznych badań weryfikacyjnych przeprowadzonych w Radomnie w 2011 roku, [w:] E. Fudzińska (red.), *XVIII Sesja Pomorzoznawcza. Vol. 1. Od epoki kamienia do wczesnego średniowiecza. Materiały z konferencji 16–18 listopada 2011*: 125–131, Malbork: Muzeum Zamkowe.
2019. Research in castles located in the Mazovian-Prussian border zone. *Komunikaty Mazursko-Warmińskie* 4(306): 808–824.
- Gula, J.
1975. Badania wykopaliskowe w latach 1968–1969 na terenie zamku w Ostródzie. *Wiadomości Archeologiczne* 39/3: 373–383.
- Hein, M.
1944. *Preußisches Urkundenbuch (1335–1341). Bd. 3, Lfg. 1.* Königsberg: Gräfe und Unzer.
- Herrmann, J.
2002. Tradition und Neubeginn ur- und frühgeschichtlicher Forschungen an der Berliner Akademie der Wissenschaft 1946–1952. Zum 110. Geburtstag von Wilhelm Unverzagt. *Sitzungsberichte der Leibniz-Sozietät* 54/3: 85–100.
- Heydeck, J.W.
1896. Steinkistengräber im Kreise Pr. Eylau, aufgedeckt im Herbst 1892. *Sitzungsberichte der Altertumsgesellschaft Prussia* 20: 67–74.
- Hoffmann, M.J.
1992. Kurhany z wczesnej epoki żelaza w Zielonicy, gmina Górowo Iławeckie, wojew. Olsztyn. *Zeszyty Muzeum Warmii i Mazur* 1: 91–110.
1999. *Źródła do kultury i osadnictwa południowo-wschodniej strefy nadbałtyckiej w I tysiącleciu p.n.e.* Rozprawy i Materiały Ośrodka Badań Naukowych im. Wojciecha Kętrzyńskiego w Olsztynie 177, Olsztyn: Towarzystwo Naukowe i Ośrodek Badań Naukowych im. Wojciecha Kętrzyńskiego.
2000. *Kultura i osadnictwo południowo-wschodniej strefy nadbałtyckiej w I tysiącleciu p.n.e.* Rozprawy i Materiały Ośrodka Badań Naukowych im. Wojciecha Kętrzyńskiego w Olsztynie 191, Olsztyn: Towarzystwo Naukowe i Ośrodek Badań Naukowych im. Wojciecha Kętrzyńskiego.
2005. Emil Hollack – nauczyciel, historyk i badacz pradziejów ziemi mrągowskiej. W 80. rocznicę śmierci. *Mrągowskie Studia Humanistyczne* 6–7: 17–27.
- Hoffmann, M.J. i A. Mackiewicz
2004. *Średniowieczne założenia obronne powiatu ostródzkiego*. Ostróda: Muzeum w Ostródzie.
- Hollack, E.
1908. *Erläuterungen zur vorgeschichtlichen Übersichtskarte von Ostpreußen. Im Auftrage des ostpreußischen Provinzialverbandes bearbeitet und herausgegeben*. Glogau-Berlin: Kommissions Verlag von Carl Flemming.
- Holtmann, G.F.W.
1993. *Untersuchung zu mittelalterlichen und frühneuzeitlichen Messern*. Göttingen.
- Honczaruk, M. i L. Kacprzak
2014. *Objaśnienia do Szczegółowej Mapy Geologicznej Polski: 1:50.000. Arkusz Głębock (34)*. Warszawa: Państwowy Instytut Geologiczny.
- Jagodziński, M.
1997. *Archeologiczne ślady osadnictwa między Wisłą a Pasłęką we wczesnym średniowieczu. Katalog stanowisk*. Warszawa: Instytut Archeologii i Etnologii Polskiej Akademii Nauk.
- Jaskanis, J.
2012. *Wodzowskie kurhany kultury wielbarskiej na Podlasiu*. Białystok: Muzeum Podlaskie w Białymstoku, Instytucja Kultury samorządu Województwa Podlaskiego.
- Jaskanis, J. i J. Okulicz
1981. Kultura wielbarska (faza cecelska), [w:] J. Wielowiejski (red.), *Prahistoria ziem polskich. Tom 5. Późny okres lateński i okres rzymski, 178–190*. Warszawa: Ossolineum.
- Józwiak, S.
2000. Powstanie i rozwój struktury administracyjno-terytorialnej Zakonu Krzyżackiego na południowych obszarach Prus Górnych do 1410 r. *Komunikaty Mazursko-Warmińskie* 1: 3–27.
- Józwiak, S. i J. Trupinda
2019. Czas powstania krzyżackiego komturstwa w Pokarminie (Brandenburg) a kwestia chronologii wznoszenia tamtejszego zamku. *Studia z Dziejów Średniowiecza* 23: 100–113.
DOI: 10.26881/sds.2019.23.04
- Kaczyński, B., A. Mackiewicz i I. Zduńska
2018. Badania archeologiczne zamku biskupów chełmińskich w Lubawie w latach 2015–2016, [w:] S. Wadył, M. Karczewski i M. Hoffmann (red.), *Materiały do archeologii Warmii i Mazur. Tom 2*: 343–358. Warszawa-Białystok-Olsztyn: Instytut Archeologii Uniwersytetu Warszawskiego,

- Wydział Historyczno-Socjologiczny Uniwersytetu w Białymstoku, Instytut Historii i Stosunków Międzynarodowych Uniwersytetu Warmińsko-Mazurskiego w Olsztynie.
- Kaniecki, A. i D. Brychcy
2010. Średniowieczne młyny wodne i ich wpływ na przemiany stosunków wodnych na przykładzie zlewni Obry Skwierzyńskiej. *Badania Fizjograficzne Seria A – Geografia Fizyczna* 61: 145–156.
- Karczewski, M.
2000. „Dwustożkowate naczynia zdobione zaszczyptywaniem”. Głos w dyskusji nad ceramiką bałtyjską. *Światowit* 2(43)/Fasc. B: 91–96.
- Kaźmierczyk, J.
1965. Wczesnośredniowieczne wyroby bednarskie z Ostrówka w Opolu. *Kwartalnik Historii Kultury Materialnej* XIII/3: 469–498.
1978. *Podkowy na Śląsku w X–XIV wieku (studia z dziejów kultury materialnej)*. Wrocław-Warszawa-Kraków-Gdańsk: Zakład Narodowy im. Ossolińskich, Wydawnictwo Polskiej Akademii Nauk.
- Kłęczar, B. i M. Rutyna
2013. Stan badań grodzisk województwa warmińsko-mazurskiego, [w:] Z. Kobyliński (red.), *Grodziska Warmii i Mazur 1. Stan wiedzy i perspektywy badawcze*: 7–29, *Archaeologica Hereditas*. Prace Instytutu Archeologii Uniwersytetu Kardynała Stefana Wyszyńskiego w Warszawie 2. Warszawa-Zielona Góra: Wydawnictwo Fundacji Archeologicznej.
- Knyżewski, M.
2016. Kształtowanie się siedzib niższych urzędników krzyżackich w Prusach właściwych. *Acta Universitatis Lodziensis. Folia Archaeologica* 31: 113–133.
DOI: 10.18778/0208-6034.31.06
- Kobylińska, U.
2017a. Kamionka, st. 9: znaleziska, [w:] Z. Kobyliński (red.), *Katalog grodzisk Warmii i Mazur. Tom 1*: 375–407. Warszawa: Instytut Archeologii Uniwersytetu Kardynała Stefana Wyszyńskiego w Warszawie i Fundacja Res Publica Multiethnica.
2017b. Tątlawki, st. 2: znaleziska, [w:] Z. Kobyliński (red.), *Katalog grodzisk Warmii i Mazur. Tom 1*: 118–132. Warszawa: Instytut Archeologii Uniwersytetu Kardynała Stefana Wyszyńskiego w Warszawie i Fundacja Res Publica Multiethnica.
2017c. Zajączki, st. 1: znaleziska, [w:] Z. Kobyliński (red.), *Katalog grodzisk Warmii i Mazur. Tom 1*: 426–459. Warszawa: Instytut Archeologii Uniwersytetu Kardynała Stefana Wyszyńskiego w Warszawie i Fundacja Res Publica Multiethnica.
2017d. Stary Folwark, st. 2: chronologia stanowiska, [w:] Z. Kobyliński (red.), *Katalog grodzisk Warmii i Mazur. Tom 1*: 207. Warszawa: Instytut Archeologii Uniwersytetu Kardynała Stefana Wyszyńskiego w Warszawie i Fundacja Res Publica Multiethnica.
2017e. Łodygowo, st. 1: znaleziska, [w:] Z. Kobyliński (red.), *Katalog grodzisk Warmii i Mazur. Tom 1*: 19–46, Warszawa: Instytut Archeologii Uniwersytetu Kardynała Stefana Wyszyńskiego w Warszawie i Fundacja Res Publica Multiethnica.
2017f. Mozgowo, st. 1: znaleziska, [w:] Z. Kobyliński (red.), *Katalog grodzisk Warmii i Mazur 2*: 189–200. Warszawa: Instytut Archeologii Uniwersytetu Kardynała Stefana Wyszyńskiego w Warszawie i Fundacja Res Publica Multiethnica.
2017g. Iława, st. 33 – Wielka Żuława: znaleziska, [w:] Z. Kobyliński (red.), *Katalog grodzisk Warmii i Mazur. Tom 1*: 324–347, Warszawa: Instytut Archeologii Uniwersytetu Kardynała Stefana Wyszyńskiego w Warszawie i Fundacja Res Publica Multiethnica.
2017h. Durąg, st. 1: znaleziska, [w:] Z. Kobyliński (red.), *Katalog grodzisk Warmii i Mazur 2*: 272–295. Warszawa: Instytut Archeologii Uniwersytetu Kardynała Stefana Wyszyńskiego w Warszawie i Fundacja Res Publica Multiethnica.
- Kobylińska, U., R. Solecki i J. Wysocki
2017a. Wieprz, st. 20: chronologia stanowiska, [w:] Z. Kobyliński (red.), *Katalog grodzisk Warmii i Mazur. Tom 2*: 260. Warszawa: Instytut Archeologii Uniwersytetu Kardynała Stefana Wyszyńskiego w Warszawie i Fundacja Res Publica Multiethnica.
2017b. Tątlawki, st. 2: chronologia stanowiska, [w:] Z. Kobyliński (red.), *Katalog grodzisk Warmii i Mazur 2*: 135–136. Warszawa: Instytut Archeologii Uniwersytetu Kardynała Stefana Wyszyńskiego w Warszawie i Fundacja Res Publica Multiethnica.
- Kobyliński, Z.
2013. (red.) *Grodziska Warmii i Mazur 1. Stan wiedzy i perspektywy badawcze*. *Archaeologica Hereditas*. Prace Instytutu Archeologii Uniwersytetu Kardynała Stefana Wyszyńskiego w Warszawie 2. Warszawa-Zielona Góra: Wydawnictwo Fundacji Archeologicznej.
2016a. (red.), *Grodziska Warmii i Mazur 2. Nowe badania i interpretacje*. *Archaeologica Hereditas*. Prace Instytutu Archeologii Uniwersytetu Kardynała Stefana Wyszyńskiego w Warszawie 7. Warszawa: Instytut Archeologii UKSW, Fundacja Res Publica Multiethnica.

- 2016b. Projekt Narodowego Programu Rozwoju Humanistyki Katalog grodzisk Warmii i Mazur. Część I: Pomezania, Pomezania i Warmia: realizacja w latach 2012–2016, [w:] Z. Kobyliński (red.), *Grodziska Warmii i Mazur 2. Nowe badania i interpretacje*: 93–112. Archaeologica Hereditas. Prace Instytutu Archeologii Uniwersytetu Kardynała Stefana Wyszyńskiego w Warszawie 7. Warszawa: Instytut Archeologii UKSW, Fundacja Res Publica Multiethnica.
- 2017a. (red.) *Katalog grodzisk Warmii i Mazur. Tom 1*. Warszawa: Fundacja Res Publica Multiethnica.
- 2017b. (red.) *Katalog grodzisk Warmii i Mazur. Tom 2* (red.). Warszawa: Fundacja Res Publica Multiethnica.
- 2017c. Wprowadzenie, [w:] *Katalog grodzisk Warmii i Mazur. Tom 1*: 5–6. Warszawa: Instytut Archeologii Uniwersytetu Kardynała Stefana Wyszyńskiego w Warszawie i Fundacja Res Publica Multiethnica.
- Kobyliński Z., J. Nitychoruk, K. Rabiega, M. Rutyna, D. Wach, F. Welc, J. Wysocki, K. Zeman-Wiśniewska i M. Żurek
2016. Falsyfikacja domniemyanych pradziejowych i średniowiecznych grodzisk w powiecie iławskim i ostródzkim, [w:] Z. Kobyliński (red.) *Grodziska Warmii i Mazur 2. Nowe badania i interpretacje*: 247–293, Archaeologica Hereditas. Prace Instytutu Archeologii Uniwersytetu Kardynała Stefana Wyszyńskiego w Warszawie 7. Warszawa: Instytut Archeologii UKSW i Fundacja Res Publica Multiethnica.
- Kochanowski, M.
1985. Elementy odzieży i sprzęt gospodarstwa domowego z grodziska w Plemiętach, [w:] A. Nadolski (red.), *Plemięta. Średniowieczny gródek w ziemi chełmińskiej*: 165–183. Warszawa-Poznań-Toruń: Państwowe Wydawnictwo Naukowe.
- Kola, A.
- 1985a. Żelazny osprzęt średniowiecznej wieży mieszkalnej w Plemiętach i jej wyposażenia, [w:] A. Nadolski (red.), *Plemięta. Średniowieczny gródek w ziemi chełmińskiej*: 63–83. Warszawa-Poznań-Toruń: Państwowe Wydawnictwo Naukowe.
- 1985b. Narzędzia do obróbki drewna z grodziska w Plemiętach, [w:] A. Nadolski (red.), *Plemięta. Średniowieczny gródek w ziemi chełmińskiej*: 149–157. Warszawa-Poznań-Toruń: Państwowe Wydawnictwo Naukowe.
1989. Późnośredniowieczna chłodnia z Torunia. *Acta Universitatis Nicolai Copernici* 200 *Archeologia* 16: 103–116.
- Komorowski, J.
2007. Pruska Hława. *Spotkania z Zabytkami* 7: 19–20.
- Kondracki, J.
2002. *Geografia regionalna Polski*. Wydawnictwo Naukowe PWN, Warszawa
2014. *Geografia regionalna Polski*. Warszawa: Wydawnictwo Naukowe PWN.
- Kontny, B.
1999. Znaleźiska toków z obszaru kultury przeworskiej. *Światowit* 1(42)/Fasc. B: 128–137.
2016. Siekierki tulejkowe z kultur bogaczewskiej i sudowskiej. *Wiadomości Archeologiczne* 67: 37–64.
- Koperkiewicz, A.
2019. Civitas Wartberg. Warmińska kapsuła czasu i problemy konserwatorskie. *Warmińsko-Mazurski Biuletyn Konserwatorski* 11: 57–74.
- Kowalczyk, E.
1987. *Systemy obronne wałów podłużnych we wczesnym średniowieczu na ziemiach polskich*. Wrocław: Zakład Narodowy imienia Ossolińskich. Wydawnictwo Polskiej Akademii Nauk.
2002. Wały podłużne na mapie granicy mazowiecko-pruskiej Samuela Suchodolskiego. *Światowit* 4 (45)/Fasc. B: 159–164.
2003. *Dzieje granicy mazowiecko-krzyżackiej (Między Drwęcą a Pisą)*. Warszawa: DIG.
- Kruppé, J.
1981. *Garncarstwo późnośredniowieczne w Polsce*. Wrocław-Warszawa-Kraków-Gdańsk-Łódź: Zakład Narodowy im. Ossolińskich. Wydawnictwo Polskiej Akademii Nauk.
- Kubicki, R.
2012. *Młynarstwo w państwie Zakonu Krzyżackiego w Prusach w XIII–XV wieku (do 1454 r.)*, Gdańsk: Wydawnictwo Uniwersytetu Gdańskiego.
2015. Wykaz czynszowy komturstwa tucholskiego z połowy XV w. *Studia Historica Gedanensia* 6: 281–297.
- Kulakov, W. I.
1999. Ирзеканинис. *Stratum Plus* 1999/5: 211–273.
2018. Prussische Tierdarstellungen im Frühmittelalter, [w:] S. Wadyl, M. Karczewski i M. Hoffmann (red.), *Materiały do archeologii Warmii i Mazur 2*: 99–108. Warszawa-Białystok-Olsztyn: Instytut Archeologii Uniwersytetu Warszawskiego, Wydział Historyczno-Socjologiczny Uniwersytetu w Białymstoku i Instytut Historii i Stosunków Międzynarodowych Uniwersytetu Warmińsko-Mazurskiego w Olsztynie.
- Kulesz, A., S. Nowak i K. Jarzęcki
2018. Relikty obuwia, [w:] M. Grupa, K. Jarzęcki i W. Nowosad (red.), *Historia kościoła św. Oswalda w Płonkowie – Tom II*, 145–153. Płonkowo: Parafia Rzymskokatolicka p.w. Św. Maksymiliana Marii Kolbego i Św. Benedykta, Jana, Mateusza, Izaaka i Krystyna, Pierwszych Męczenników Polskich.

- Kurpik, W.
1982. Uwagi o niektórych elementach oprawy i ich roli w ochronie książki. *Ochrona Zabytków* 5/3–4 (138–139): 208–214.
- Kurpiewski, A.
2015. A Wielbark culture barrow in Wojsze near Ostrołęka in comparison with other features of that type in right-bank Mazovia and the Podlasie region. *Sprawozdania Archeologiczne* 67: 259–276.
- Liwoch, R.
2013. Szkieletowy grób kamienny z Naczy na Białorusi. *Materiały Archeologiczne* 39: 141–147
- Leyding, G.
1973a. Nazwy fizjograficzne, [w:] H. Jaworska i M. Lossman (red.), *Morąg. Z dziejów miasta i powiatu*, 26–38. Olsztyn: Pojezierze.
1973b. Z dziejów powiatu, [w:] H. Jaworska i M. Lossman (red.), *Morąg. Z dziejów miasta i powiatu*, 41–95. Olsztyn: Pojezierze.
1987. Nazwy fizjograficzne, [w:] A. Wakar (red.), *Bartoszyce. Z dziejów miasta i okolic*, 22–29. Olsztyn: Wydawnictwo Pojezierze.
- Łapo, J. M.
1998. Budownictwo obronne na ziemiach pruskich w pradziejach i we wczesnym średniowieczu. *Komunikaty Mazursko-Warmińskie* 2: 199–205.
2009. Wokół szwedzkiego szańca. Echa Wojen Szwedzkich w ludowych podaniach historycznych i mikrotoponimii na obszarze dawnych ziem pruskich. *Pruthenia* 4: 241–286.
- Łukomiak, K.
2016. Zamykanie pomieszczeń w późnośredniowiecznych siedzibach mieszkalno-obronnych na podstawie źródeł archeologicznych, [w:] K. Marinow, K. Szadkowski, K. Węgrzyńska (red.), *Varia Mediaevalia. Studia nad średniowieczem w 1050. Rocznice Chrztu Polski*: 141–154. Łódź: Wydawnictwo Uniwersytetu Łódzkiego. DOI: 10.18778/8088-325-3.14
- Madyda-Legutko, R.
1983. Próba rekonstrukcji pasów z metalowymi częściami na obszarze środkowoeuropejskiego Barbaricum w okresie wpływów rzymskich i we wczesnej fazie okresu wędrówek ludów. *Przegląd Archeologiczny* 31: 91–133.
- Malinowski, T.
2000. O roli krzemienia u niektórych społeczności epok metali. *Przegląd Archeologiczny* 48: 127–139.
- Marciniak-Kajzer, A.
2018. Gródki stożkowe czy zamki typu motte. *Archaeologia Historica Polona* 26: 59–70.
- Marcinkowski, M.
2013. Cechy obce i lokalne w średniowiecznej i nowożytniej ceramice elbląskiej. Zarys problematyki na podstawie wybranych przykładów. *Archaeologia Historica Polona* 21: 239–255. DOI: 10.12775/AHP.2013.011
- Michalik, P.
2007. *Późnośredniowieczne i wczesnonowożytne noże z zamku w Pucku*. Światowit Supplement Series P: Prehistory and Middle Ages 15, Warszawa: Instytut Archeologii Uniwersytetu Warszawskiego.
- Michałowski, A.
2004. Łyżki gliniane z okresu przedrzymskiego z terenów Europy Środkowej, [w:] H. Machajewski (red.), *Kultura jastorfska na Nizinie Wielkopolsko-Kujawskiej*: 123–160. Poznań: Stowarzyszenie Naukowe Archeologów Polskich Oddział w Poznaniu, Instytut Prahistorii Uniwersytetu im. Adama Mickiewicza w Poznaniu.
- Misiewicz, K. i W. Małkowski
2013. Badania nieinwazyjne na stanowisku 4 w Borecznie, woj. warmińsko-mazurskie w 2012 roku, [w:] Z. Kobyliński (red.) *Grodziska Warmii i Mazur 1. Stan wiedzy i perspektywy badawcze*: 413–421. Archaeologica Hereditas. Prace Instytutu Archeologii Uniwersytetu Kardynała Stefana Wyszyńskiego w Warszawie 2. Warszawa-Zielona Góra: Wydawnictwo Fundacji Archeologicznej.
- Mogielnicka-Urban, M.
1984. *Warsztat ceramiczny w kulturze łuzycyckiej*. Wrocław: Ossolineum.
- Mroczek, R.
2007. Późnośredniowieczne zabytki ruchome z badań na dziedzińcu głównym Pałacu pod Blachą. *Kronika Zamkowa* 1–2(53–54): 39–90.
- Nadolski, A. i M. Lewandowski
1990. Rozdział 3: broń strzelcza, [w:] A. Nadolski (red.), *Uzbrojenie w Polsce średniowiecznej 1350–1450*: 143–153. Łódź: Polska Akademia Nauk.
- Nowakowski, P.
2003. W sprawie datowania munsztuków z ziem polskich. *Kwartalnik Historii Kultury Materialnej* 51/: 41–48.
- Nowakowski, W.
1983. *Kultura bogaczewska na Pojezierzu Mazurskim od schyłku późnego okresu przedrzymskiego do starszej fazy późnego okresu wpływów rzymskich. Próba analizy chronologiczno-kulturowej*. Maszynopis.
2001. Żelazne zapinki kuszowate z podwiniętą nóżką w europejskim Barbaricum. *Wiadomości Archeologiczne* LIV: 129–146.
- Oakeshott, E.
1998. *The sword in the age of chivalry*. Woodbridge: The Boydell Press.

- Okulicz, J.
1973. *Pradzieje ziem pruskich od późnego paleolitu do VII w. n.e.* Wrocław-Warszawa-Kraków-Gdańsk: Zakład Narodowy imienia Ossolińskich, Ośrodek Badań Naukowych imienia Wojciecha Kętrzyńskiego w Olsztynie.
- Okulicz, Ł.
1970. *Kultura kurhanów zachodniobałtyjskich we wczesnej epoce żelaza.* Wrocław: Zakład Narodowy im. Ossolińskich, Wydawnictwo Polskiej Akademii Nauk.
- Oniszczyk, A.
2013. *Życie odbite w naczyniu. Konsumpcja luksusowa i codzienna w Gdańsku w XVII–XIX wieku na podstawie naczyń ceramicznych z terenu Centrum Dominikańskiego i kwartału Długi Targ–Powroźnicza. Tom I.* Warszawa.
- Ossowski, W.
2010. *Przemiany w skutnictwie rzeczonym w Polsce. Studium archeologiczne.* Gdańsk: Centralne Muzeum Morskie w Gdańsku.
- Pazda, S.
1995. Osada wczesnośredniowieczna na stanowisku nr 8 w Radłowicach gm. Domaniów, woj. wrocławskie. *Acta Universitatis Wratislaviensis, Studia Archeologiczne* 26: 209–245.
- Petelski, K. i A. Gondek
2003. *Objaśnienia do Szczegółowej Mapy Geologicznej Polski. 1:50.000. Arkusz Dobry (96).* Warszawa: Państwowy Instytut Geologiczny.
- Petraszko, M. i A. Wakar
1987a. Prusowie, [w:] A. Wakar (red.), *Bartoszyce. Z dziejów miasta i okolic*, 30–44. Olsztyn: Wydawnictwo Pojezierze.
1987b. Z dziejów wsi, [w:] A. Wakar (red.), *Bartoszyce. Z dziejów miasta i okolic*, 243–353. Olsztyn: Wydawnictwo Pojezierze.
- Pikies, R.
2014. *Objaśnienia do Szczegółowej Mapy Geologicznej Polski. 1:50.000. Arkusz Ostróda (176).* Warszawa: Państwowy Instytut Geologiczny.
- Pospieszny, Ł. i M. Jakubczak
2019. Datowanie bezwzględne cmentarzyska w Kosyniu, [w:] J. Sobieraj (red.), *Początki epoki brązu na Warmii i Mazurach w świetle analiz specjalistycznych*: 133–142. Olsztyn: Muzeum Warmii i Mazur.
- Purowski, T.
2008. Wyniki badań wykopaliskowych osady obronnej w Tarławkach, pow. węgorzewski. *Wiadomości Archeologiczne* LX: 335–360.
- Puziuk, J. i A. Tyniec
2013. Żelazny topór z ul. Miodowej w Krakowie-Kazimierzu. *Materiały Archeologiczne* 39: 155–158.
- Půlpánová-Reszczyńska, A.
2016. New materials from the Migration Period discovered in Zamiechów, site no. 1 in South-Eastern Poland. *Acta Archaeologica Carpathica* 51: 145–167.
- Rabiega, K., F. Welc, R. Solecki i B. Nowacki
2021. Wyniki badań na stanowisku Wysoka Wieś, stan. 8, pow. ostródzki, [w:] R. Solecki (red.), *Interdyscyplinarne badania wielofazowych osiedli obronnych z Pojezierza Iławskiego i Garbu Lubawskiego*: 71–90. *Archaeologica Hereditas. Prace Instytutu Archeologii Uniwersytetu Kardynała Stefana Wyszyńskiego w Warszawie* 18. Warszawa: Wydawnictwo Naukowe Uniwersytetu Kardynała Stefana Wyszyńskiego w Warszawie.
- Rabiega, K., F. Welc, R. Solecki, B. Nowacki i J. Wysocki
2021. Wyniki badań na stanowisku Radomno, stan. 1, pow. nowomiejski, [w:] R. Solecki (red.), *Interdyscyplinarne badania wielofazowych osiedli obronnych z Pojezierza Iławskiego i Garbu Lubawskiego*: 43–70. *Archaeologica Hereditas. Prace Instytutu Archeologii Uniwersytetu Kardynała Stefana Wyszyńskiego w Warszawie* 18. Warszawa: Wydawnictwo Naukowe Uniwersytetu Kardynała Stefana Wyszyńskiego w Warszawie.
- Radkowski, J. i J. Wysocki
2016. Wstęp do problematyki gródków stożkowatych z terenu średniowiecznego państwa zakonu krzyżackiego, znajdujących się na obszarze województwa warmińsko-mazurskiego, [w:] Z. Kobyliński (red.), *Grodziska Warmii i Mazur 2. Nowe badania i interpretacje*: 295–385. *Archaeologica Hereditas. Prace Instytutu Archeologii Uniwersytetu Kardynała Stefana Wyszyńskiego w Warszawie* 7. Warszawa: Instytut Archeologii UKSW, Fundacja Res Publica Multiethnica.
- Rulewicz, M.
1984. Tymczasowe wyniki badań archeologicznych na podzamczu w Szczecinie, prowadzonych w latach 1975–1978. *Sprawozdania Archeologiczne* 36: 151–165.
- Rutyna, M.
2017. Strużyna, st. 21: znaleziska, [w:] Z. Kobyliński (red.), *Katalog grodzisk Warmii i Mazur 2*: 79–88. Warszawa: Instytut Archeologii Uniwersytetu Kardynała Stefana Wyszyńskiego w Warszawie i Fundacja Res Publica Multiethnica.
- Rutyna, M. i J. Wysocki
2017. Iława, st. 33: badania archeologiczne, [w:] Z. Kobyliński (red.), *Katalog grodzisk Warmii i Mazur 1*: 315–324. Warszawa: Instytut Archeologii Uniwersytetu Kardynała Stefana Wyszyńskiego w Warszawie i Fundacja Res Publica Multiethnica.

- Sachenbacher, P.
1993. Völkerwanderungszeitliche Gräber bei Mühlhausen/Thüringen. Zu einigen ausgewählten Problemen des Grabbrauchs und der Grabberaubung anhand neuer Gräber von Ammern, Ldkr. Mühlhausen. *Alt-Thüringen* 27: 153–198.
- Schiffer, M.B.
1986. Radiocarbon Dating and the „Old Wood” Problem: The Case of the Hohokam Chronology. *Journal of Archaeological Science* 13: 13–30.
- Shiroukhov, R.
2015. Contacts between Prussians and Curo-nians in the 11th-early 13th centuries, according to the archaeological data, [w:] S. Wadył, M. Karczewski i M. Hoffmann (red.), *Materiały do archeologii Warmii i Mazur 1*: 255–273. Warszawa-Białystok: Instytut Archeologii Uniwersytetu Warszawskiego i Instytut Historii i Nauk Politycznych Uniwersytetu w Białymstoku.
- Siczek, Ł.
2016. Gwoździe jako zabytek archeologiczny. Materiały z badań zamku Chojnik. *Śląskie Sprawozdania Archeologiczne* 58: 165–179.
DOI: 10.17427/SSA16009
- Skrobot, W.
2015. Antropologia przestrzeni, [w:], D. Gałązka, D. Skrobot i A. Szarzyńska (red.), *Wzgórza Dylewskie. Geologia, krajobraz, antropologia przestrzeni.* : 109–192. Olsztyn: Wydawnictwo Mantis.
- Solecki, R.
2017. „Sprawozdanie z archeologicznych badań wykopaliskowych przeprowadzonych w 2017 roku na obszarze leśnym w granicach Leśnictwa Śródziejrze (nr wydzielenia leśnego 189 a-00) w granicach administracyjnych wsi Winiec gm. Miłomłyn (działka ewidencyjna nr 3189)”. Raport w archiwum WUOZ w Olsztynie, Delegatura w Elblągu.
2021. (red.) *Interdyscyplinarne badania wielofazowych osiedli obronnych z Pojezierza Hławskiego i Garbu Lubawskiego*. Archaeologica Hereditas. Prace Instytutu Archeologii Uniwersytetu Kardynała Stefana Wyszyńskiego w Warszawie 18. Warszawa: Wydawnictwo Naukowe Uniwersytetu Kardynała Stefana Wyszyńskiego w Warszawie.
- Solecki, R., F. Welc i B. Nowacki
2019. Wyniki badań archeologicznych osiedla obronnego z wczesnej epoki żelaza w Wysokiej Wsi, powiat ostródzki, stanowisko 7. *Wiadomości Archeologiczne* LXX: 196–202.
DOI: 10.36154/wa.70.2019.10
2021. Wyniki badań na stanowisku Wysoka Wieś, stan. 7, pow. ostródzki, [w:] R. Solecki (red.), *Interdyscyplinarne badania wielofazowych osiedli obronnych z Pojezierza Hławskiego i Garbu Lubawskiego*: 91–105. Archaeologica Hereditas. Prace Instytutu Archeologii Uniwersytetu Kardynała Stefana Wyszyńskiego w Warszawie 18. Warszawa: Wydawnictwo Naukowe Uniwersytetu Kardynała Stefana Wyszyńskiego w Warszawie.
- Solecki, R. i J. Wysocki
2017a. Tątlawki, st. 2: położenie grodziska i jego forma, [w:] Z. Kobyliński (red.), *Katalog grodzisk Warmii i Mazur 2*: 111. Warszawa: Instytut Archeologii Uniwersytetu Kardynała Stefana Wyszyńskiego w Warszawie i Fundacja Res Publica Multiethnica.
- 2017b. Wieprz, st. 20: położenie grodziska i jego forma, [w:] Z. Kobyliński (red.), *Katalog grodzisk Warmii i Mazur 2*: 243–244. Warszawa: Instytut Archeologii Uniwersytetu Kardynała Stefana Wyszyńskiego w Warszawie i Fundacja Res Publica Multiethnica.
- Solon, J., J. Borzyszkowski, M. Bidłasik, A. Richling, K. Badora, J. Balon, T. Brzezińska-Wójcik, Ł. Chabudziński, R. Dobrowolski, I. Grzegorzczak, M. Jodłowski, M. Kistowski, R. Kot, P. Krąż, J. Lechnio, A. Macias, A. Majchrowska, E. Malinowska, P. Migoń, U. Myga-Piątek, J. Nita, E. Papińska, J. Rodzik, M. Strzyż, S. Terpiłowski i W. Ziaja
2018. Physico-geographical mesoregions of Poland: Verification and adjustment of boundaries on the basis of contemporary spatial data. *Geographia Polonica* 91/2: 143–170.
DOI: 10.7163/GPol.0115
- Sowiński, T.
2014. *Przewodnik. Śladami Herkusa Monte. Śladami tajemnic poligonu Stablack. Ścieżki dydaktyczno-historyczne w gminie Górowo Hławskie*. Górowo Hławskie: Wydawnictwo Regionalista.
- Strunk, H.
1931. Flurnamen und Vorgeschichte. *Altpreussische Forschungen* 8: 1–45.
- Szałamacha, B. i B. Trzmiel
2006. *Objaśnienia do szczegółowej mapy geologicznej Polski. 1:50.000. Arkusz Morąg (135)*. Warszawa: Państwowy Instytut Geologiczny.
- Szczepański, S.
2009. Płyta grobowa Johannesesa von Schönaich z kościoła Podwyższenia Krzyża Św. w Borecznie (rozważania nad „Skamieniałym Rycerzem” i rodem von Schönaich). *Studia Angerburgica* 15: 78–91.

2013. „Wykopaliska” w archiwach – archeologia archiwalna na przykładzie wybranych stanowisk Pojezierza Iławskiego, [w:] Z. Kobyliński (red.), *Grodziska Warmii i Mazur 1. Stan wiedzy i perspektywy badawcze*: 233–252, *Archaeologica Hereditas*. Prace Instytutu Archeologii Uniwersytetu Kardynała Stefana Wyszyńskiego w Warszawie 2. Warszawa-Zielona Góra: Wydawnictwo Fundacji Archeologicznej.
2016. *Pomezania pruska. Dzieje osadnictwa w XIII–XV wieku*. Olsztyn: Ośrodek Badań Naukowych im. W. Kętrzyńskiego.
- Szymański, P.
2013. *Z badań nad chronologią i zróżnicowaniem kulturowym społeczności Mazur w późnej starożytności i u progu wczesnego średniowiecza*. Światowit Supplement Series B: Barbaricum 9. Warszawa: Instytut Archeologii Uniwersytetu Warszawskiego.
- Świętosławski, W.
2008. Późnośredniowieczne militaria z reliktyw wieży w Jemiołkowie koło Olsztynka. *Acta Militaria Mediaevalia* 4: 189–198.
- Thielen, P. G.
1958. *Das grosse Zinsbuch des Deutschen Ritterordens (1414–1438)*. Marburg: N.G. Elwert Verlag.
- Trzeciecki, M., M. Auch i K. Stańczuk
2020. *Grodzisko Piotrówka w Radomiu w świetle badań archeologicznych 2010–2013. Część I: stratygrafia i chronologia*. Warszawa: Wydawnictwo Instytutu Archeologii i Etnologii Polskiej Akademii Nauk, Fundacja Przyjaciół Instytutu Archeologii i Etnologii Polskiej Akademii Nauk.
- Wadył, S.
2017a. Sprawozdanie z badań wykopaliskowych na grodzisku zwanym „Okrażła Góra” w Pasymiu, pow. Szczytno, stan. 1 w roku 2017. *Komunikaty Mazursko-Warmińskie* 4(298): 717–724.
2017b. Grodzisko w Porębku, pow. Kętrzyn, stan. 3. Wstępne wyniki badań wykopaliskowych. *Komunikaty Mazursko-Warmińskie* 4(298): 725–732.
2019. Sprawozdanie z badań wykopaliskowych na grodzisku zwanym „Okrażła Góra” w Pasymiu, pow. Szczytno, stan. 1 w roku 2018. *Komunikaty Mazursko-Warmińskie* 1(303): 153–161.
2020. Wallewona finally found? Stronghold in Porębek in the latest excavations, [w:] A. Dobrosielska, A. Pluskowski i S. Szczepański (red.), *Homini, qui in honore fuit. Księga pamiątkowa poświęcona śp. Profesorowi Grzegorzowi Białuńskiemu*: 165–192. Olsztyn: Oficyna Wydawnicza Pruthenia.
- Wadył, S. i J. Łapo
2018. Wyniki badań sondażowych na grodzisku w Perłach, gm. Węgorzewo, stan. 1 (AZP 13-72), [w:] S. Wadył, M. Karczewski i M. Hoffmann (red.), *Materiały do archeologii Warmii i Mazur. Tom 2*: 377–385. Warszawa-Białystok-Olsztyn: Instytut Archeologii Uniwersytetu Warszawskiego, Wydział Historyczno-Socjologiczny Uniwersytetu w Białymstoku, Instytut Historii i Stosunków Międzynarodowych Uniwersytetu Warmińsko-Mazurskiego w Olsztynie.
- Wadył, S. i K. Martyka
2019. Nowy element układanki. Wczesnośredniowieczne grodzisko w Bornitach koło Pieniężna. *Slavia Antiqua* 60: 75–93. DOI: 10.14746/sa.2019.60.4
- Wadył, S., K. Martyka i D. Malarczyk
2018. Wczesnoabbasydzkie dirhamy z nowo odkrytego grodziska w Bornitach koło Pieniężna. *Wiadomości Numizmatyczne* 62/1–2(205–206): 129–143. DOI: 10.24425/wn.2018.125040
- Waluś, A.
1992a. Zabytki metalowe kultury lateńskiej z Rembielina, woj. ostrołęckie, [w:] J. Okulicz-Kozaryn i W. Nowakowski (red.), *Studia z archeologii ludów barbarzyńskich z wybrzeży Bałtyku i Dorzecza Wisły*: 89–101. Barbaricum 2. Warszawa: Wydawnictwo i drukarnia Tokawi.
1992b. Cmentarzysko kurhanowe w Piórkowie, woj. elbląskie, w świetle prac wykopaliskowych przeprowadzonych w latach 1984–1987. *Światowit Supplement Series B: Barbaricum* 2: 39–52.
2014. Zabytki metalowe kultury kurhanów zachodniobałtyjskich wczesnej epoki żelaza. *Światowit Supplement Series B: Barbaricum* 10: 9–197.
- Ward-Perkins, J.B.
1993. *London Museum Medieval Catalogue 1940*. Londyn: Museum of London.
- Wasilewska, J.
2016. Szkaplerz – ikonografia przedstawień. *Archiwa, Biblioteki i Muzea Kościelne* 105: 329–343.
- Welc, F.
2020. „Rozpoznanie za pomocą georadaru (GPR) i metody magnetycznej stanowisk: Augamy, Woryny, Leśnictwo Orsy (Góra Zamkowa) oraz Wiewiórki”. Sprawozdanie w archiwum Instytutu Archeologii UKSW w Warszawie.
- Welc, F., J. Nitychoruk, R. Solecki, K. Rabiega i J. Wysocki
2018. Results of integrated geoarchaeological prospection of unique iron age hillfort located on Radomno Lake island in north-eastern Poland. *Studia Quaternaria* 35/1: 55–71.

- DOI: 10.2478/squa-2018-0004
- Wołągiewicz, R.
1993. *Ceramika kultury wielbarskiej między Bałtykiem a Morzem Czarnym*. Szczecin: Muzeum Narodowe.
- Wólkowski, W.
2013. Architektura zamku w Beżławkach, [w:] A. Koperkiewicz (red.), *Beżławki: ocalić od zniszczenia : wyniki prac interdyscyplinarnych prowadzonych w latach 2008–2011*: 109–118. Gdańskie Studia Archeologiczne. Seria Monografie 2. Gdańsk: Instytut Archeologii i Etnologii Uniwersytetu Gdańskiego.
- Wrześniński, J.
1989. Cmentarzysko szkieletowe w Dziekanowicach, gm. Łubowo, st. 2. *Studia Lednicke* 1: 103–146.
- Vlierman, K.
1996. *„...Van Zintelen, van Zintelroeden ende Mosen...’ Een breekmethode als hulpmiddel bij het dateren van scheepswrakken uit de Hanzetijd*. Scheepsarcheologie I, Flavoberecht 386. Lelystad: Nederlands Instituut voor Scheeps- en Onderwater Archeologie.
- Zawadzki, P.
2020. *Prace archeologiczne na obszarze dawnego Stalagu VIII A; Dz. nr 306/3, obręb Koźlice, AM-1, gm. Zgorzelec, woj. dolnośląskie. 2018-2019. Sprawozdanie*. Fundacja Łużyce wczoraj i dziś.
- Zielonka, B.
1955. Materiały z osiedla obronnego kultury łużyckiej w miejscowości Kamieniec, pow. Toruń. *Wiadomości Archeologiczne* XXII/2: 158–174.
- Żórawska, A.
2002. Ponownie „odkryty” grób skrzynkowy z miejscowości Prusy (Jarantowice), powiat wąbrzeski. *Światowit* IV(XLV), Fasc. B: 249–255.
- Żurek, M.
2013. Boreczno, stanowisko 4 (AZP 24-54), gm. Zalewo, woj. warmińsko-mazurskie. Analiza stratygraficzna, [w:] Z. Kobyliński (red.), *Grodziska Warmii i Mazur 1. Stan wiedzy i perspektywy badawcze*: 385–411. Archaeologica Hereditas. Prace Instytutu Archeologii Uniwersytetu Kardynała Stefana Wyszyńskiego w Warszawie 2. Warszawa-Zielona Góra: Wydawnictwo Fundacji Archeologicznej.
2021. *Boreczno i Bałoszyce. Archeologia dworów wczesnonowożytnych w Górnych Prusach*. Archaeologica Hereditas. Prace Instytutu Archeologii Uniwersytetu Kardynała Stefana Wyszyńskiego w Warszawie 19. Warszawa: Wydawnictwo Naukowe Uniwersytetu Kardynała Stefana Wyszyńskiego w Warszawie.